

FIG. 1
(Prior Art)

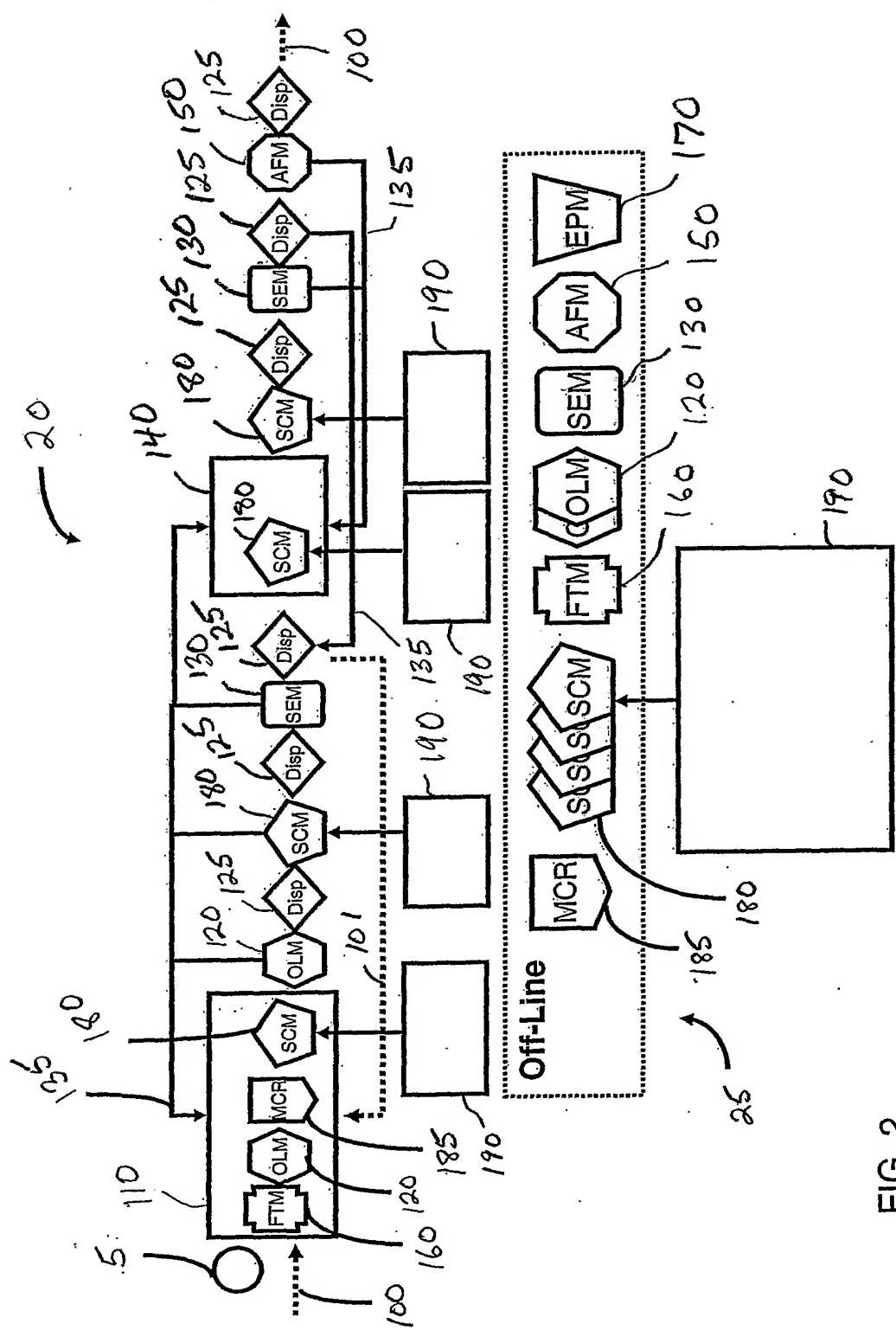


FIG. 2

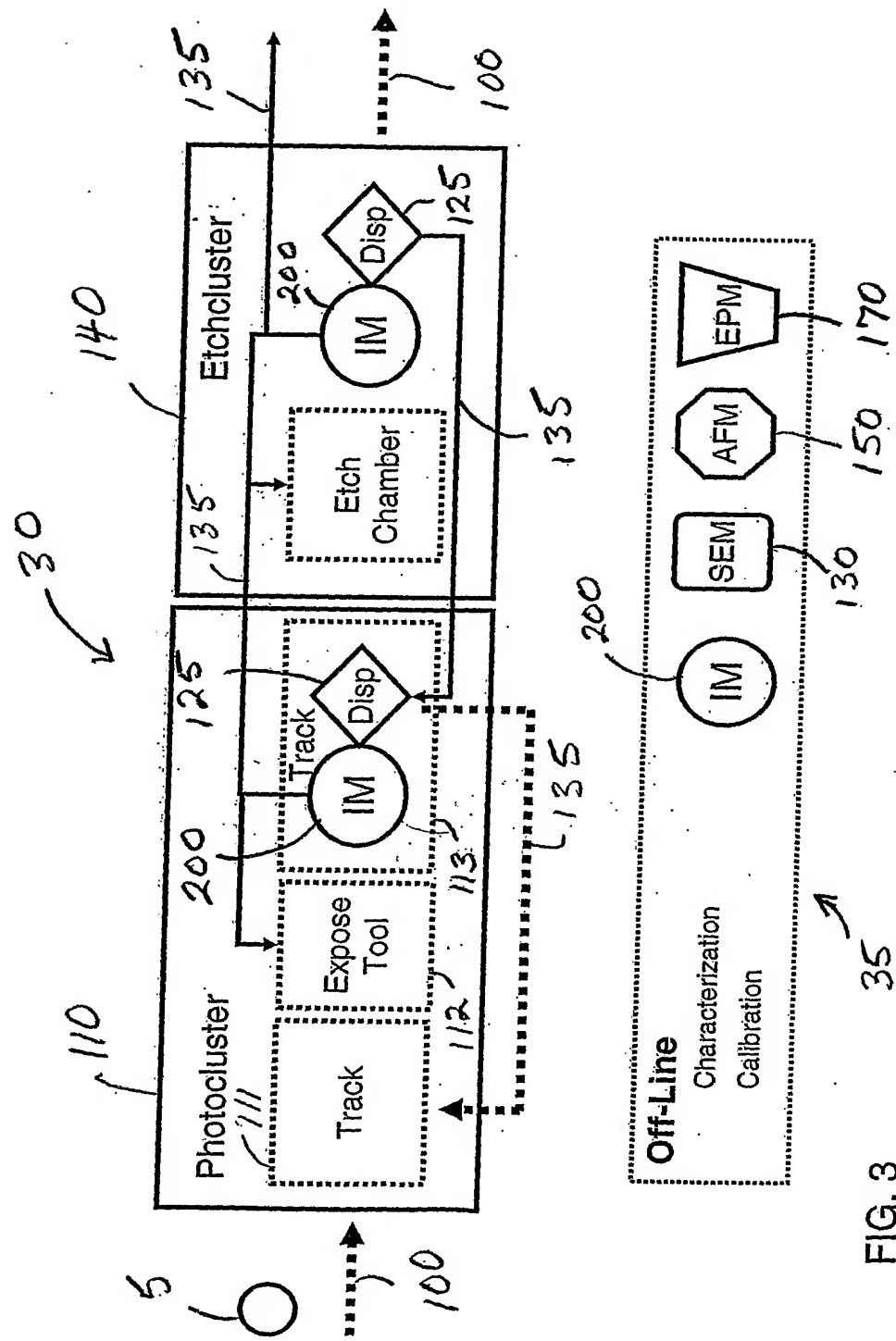


FIG. 3

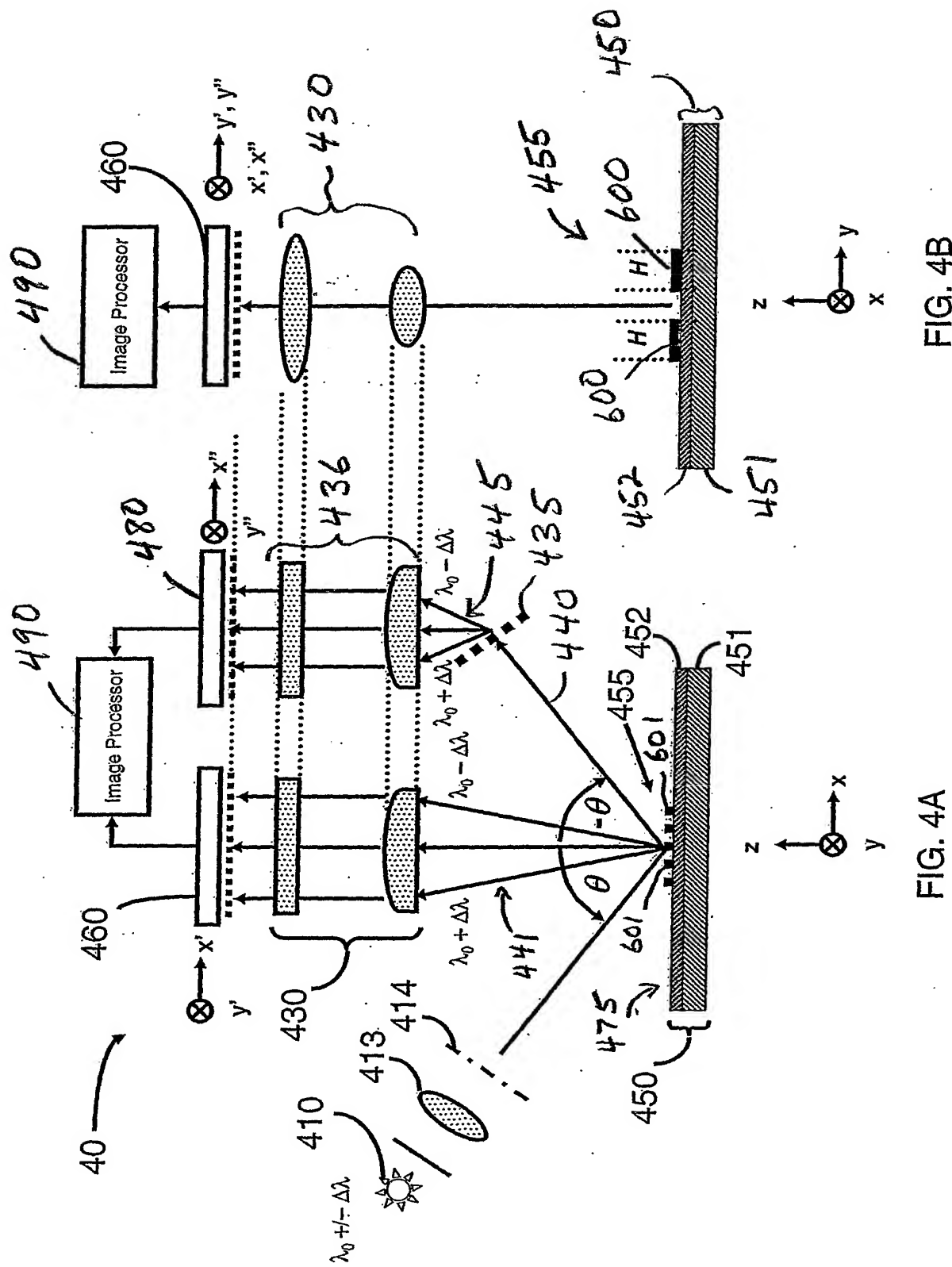


FIG. 4A

FIG. 4B

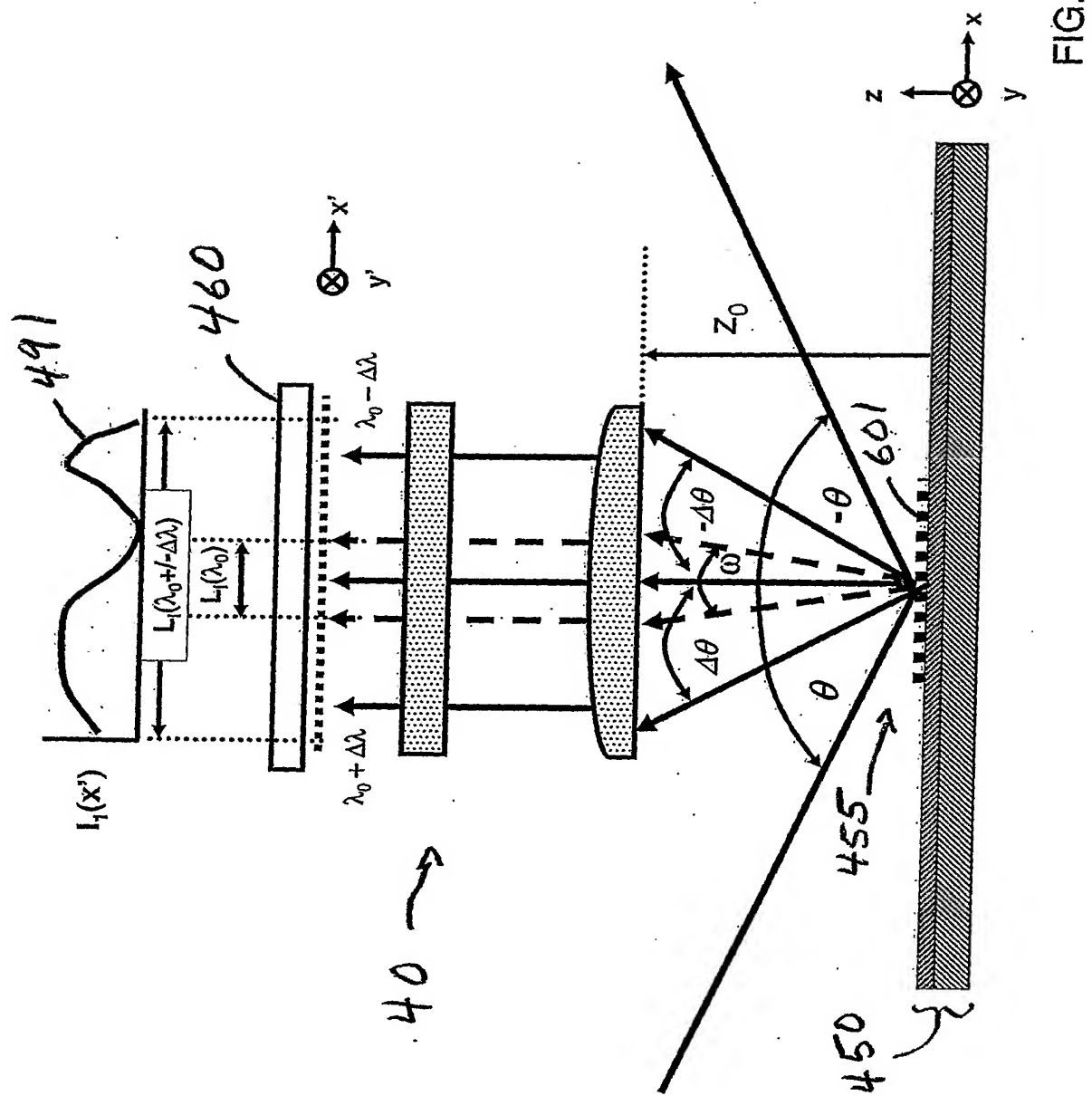
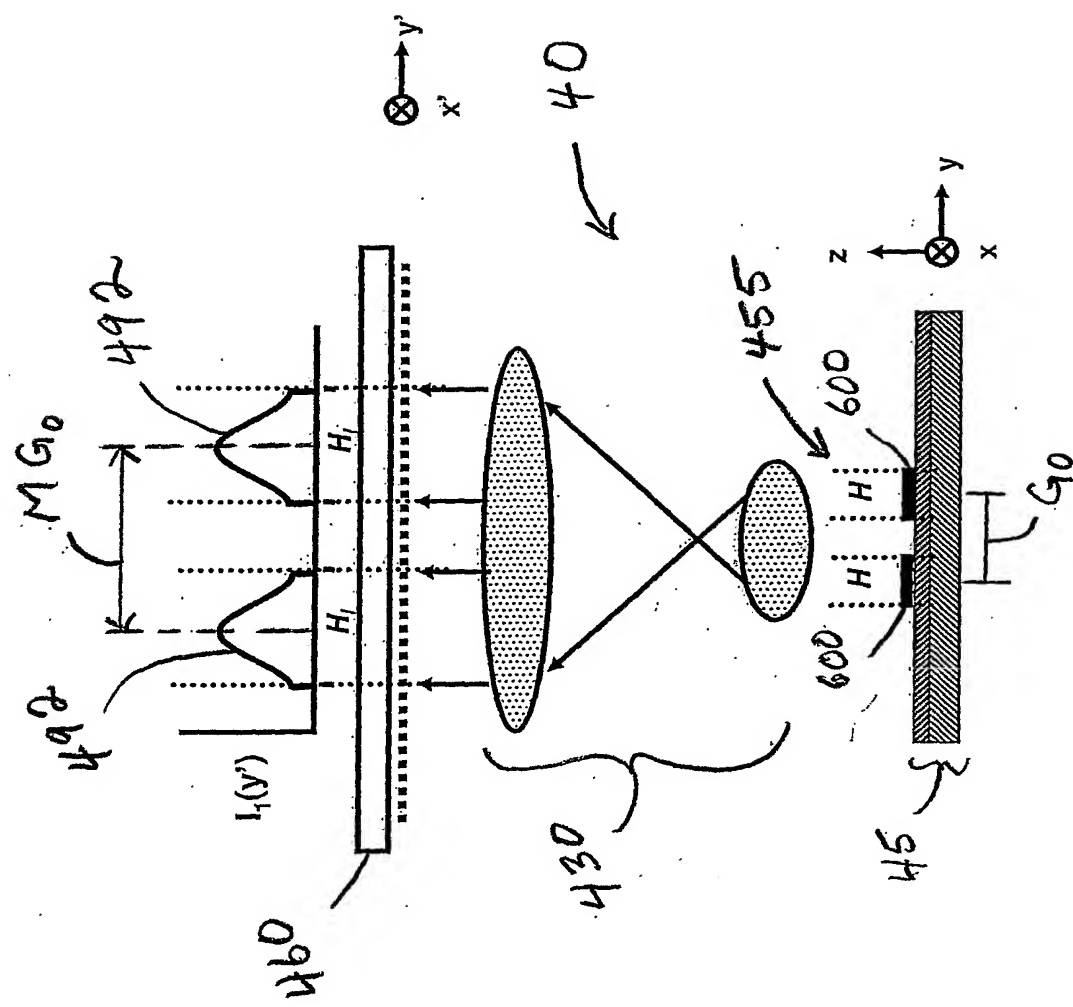


FIG. 4C



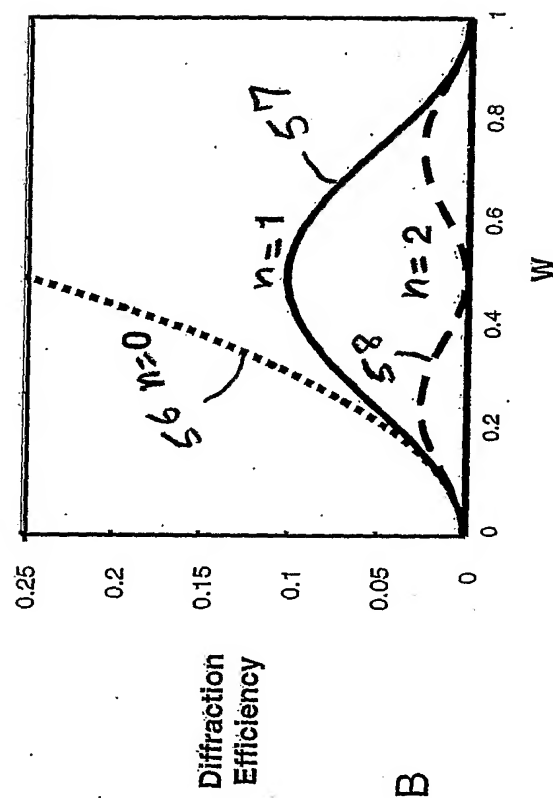
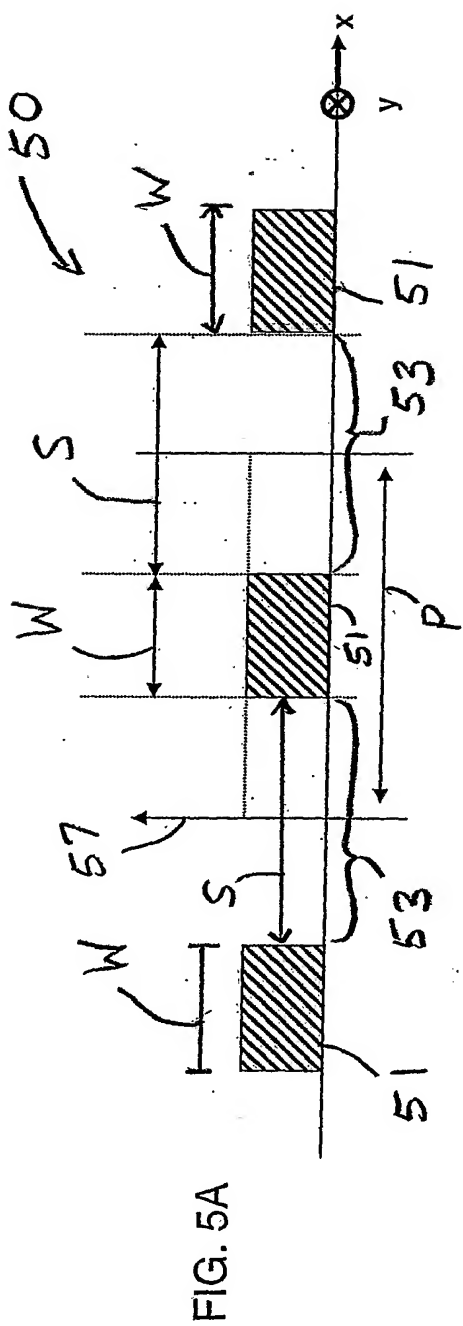


FIG. 5B

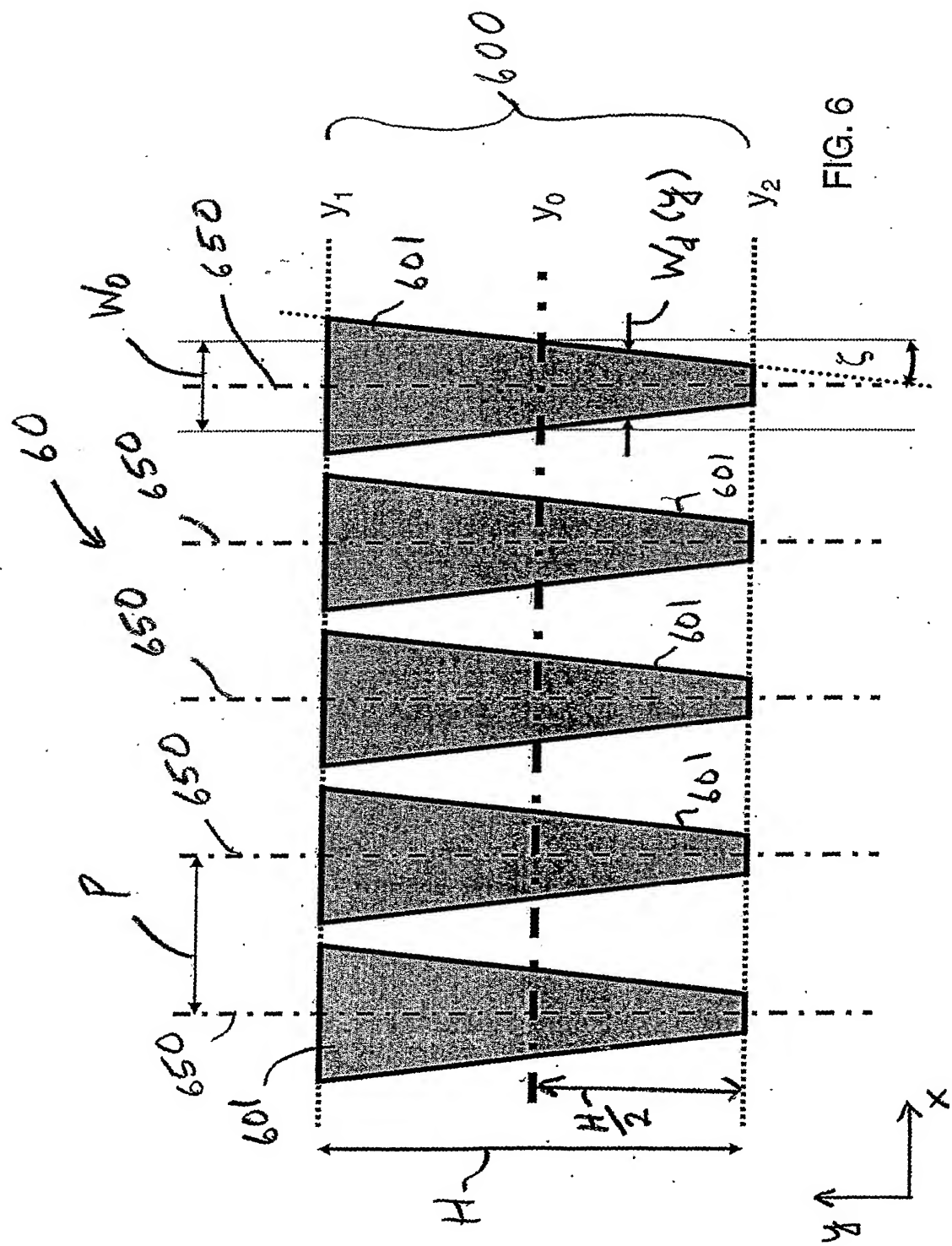
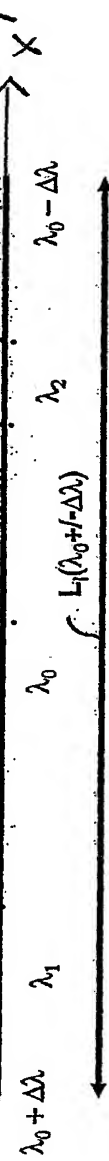
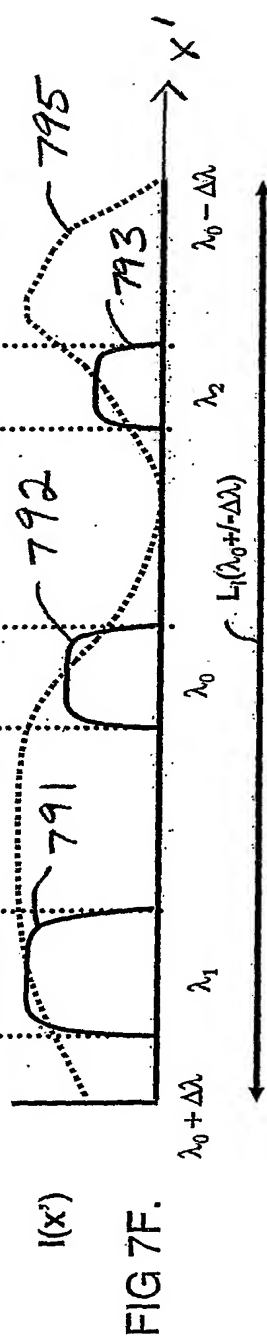
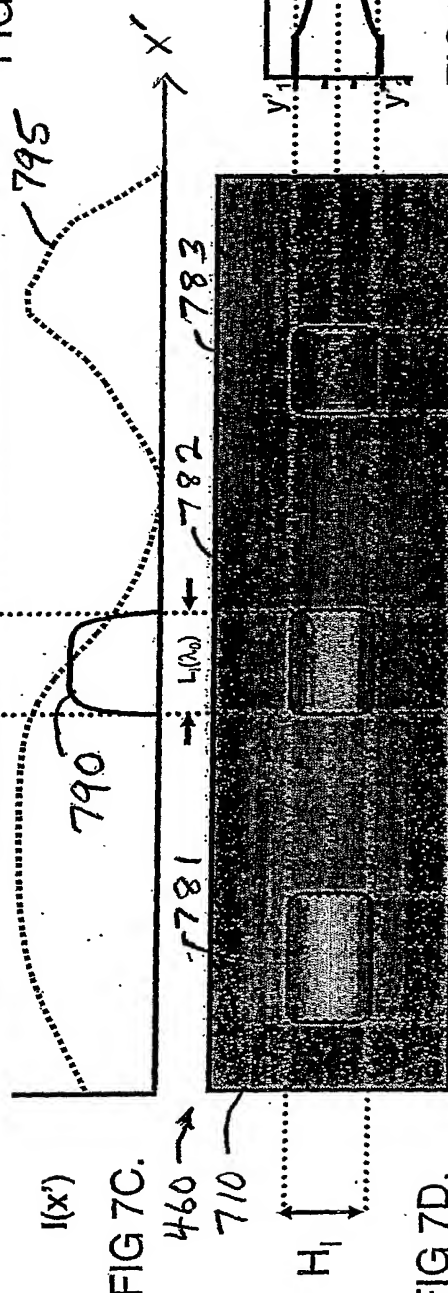
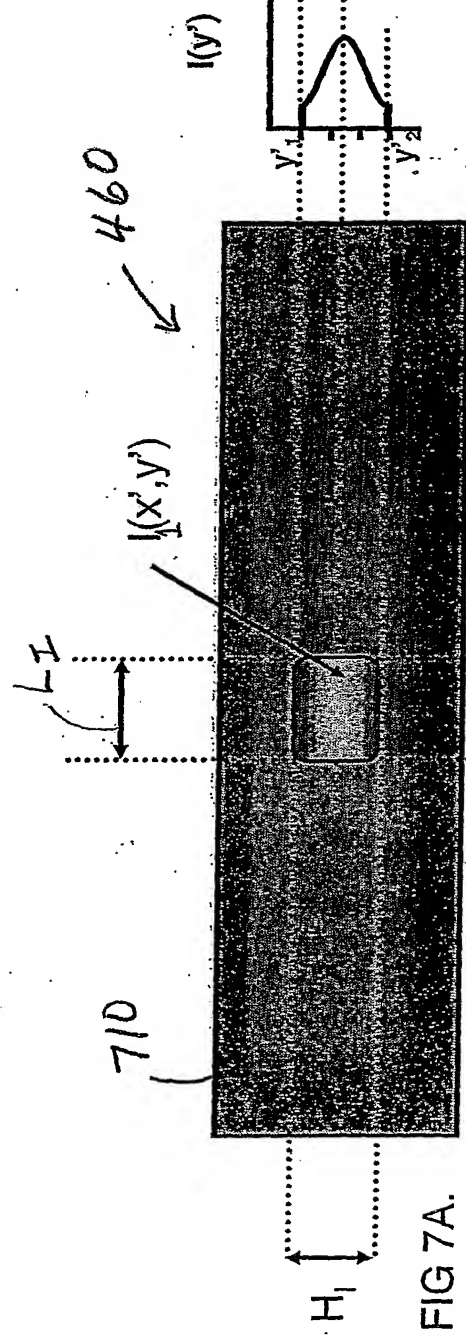


FIG. 6



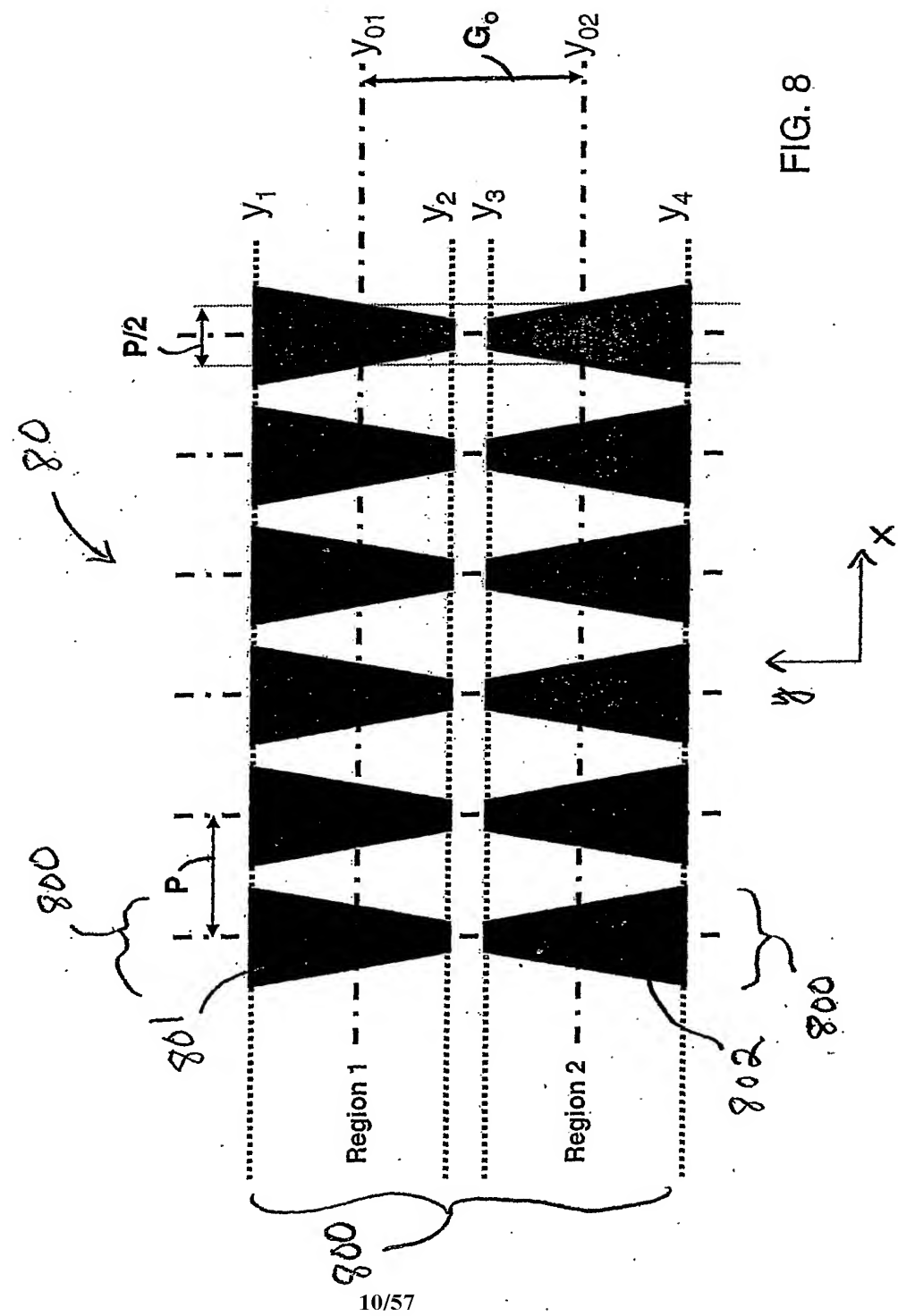
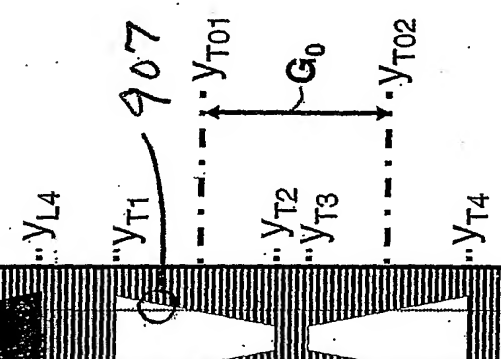
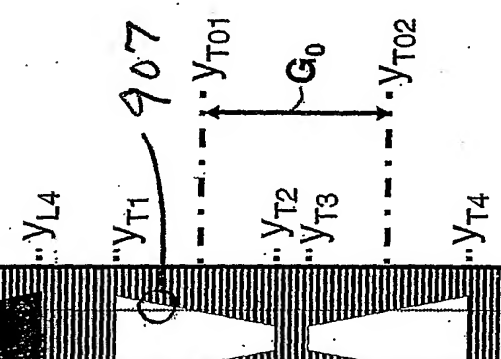
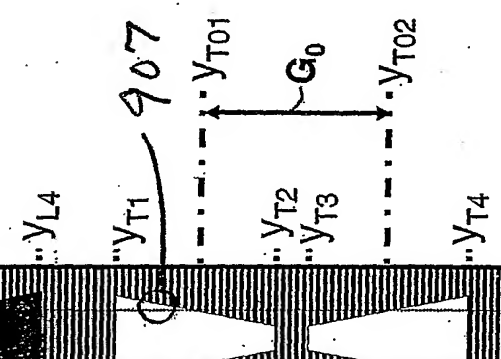
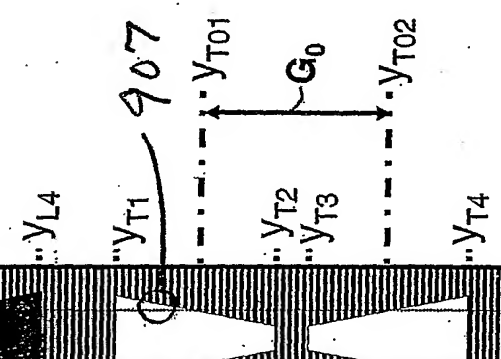
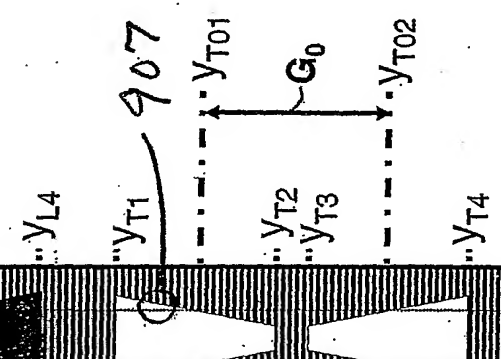
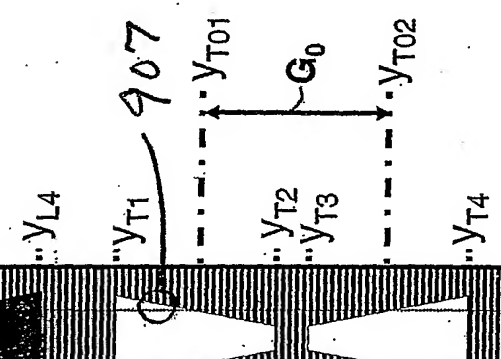
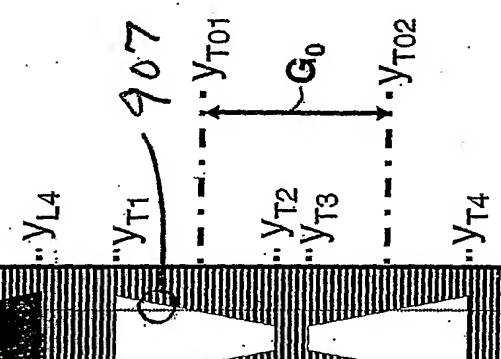
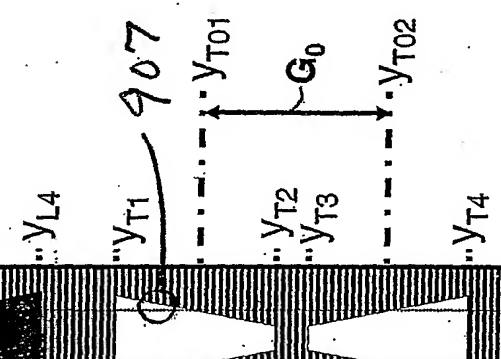
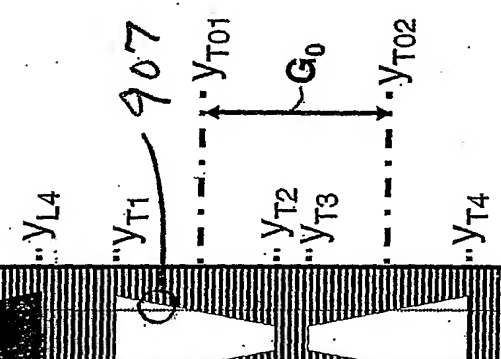
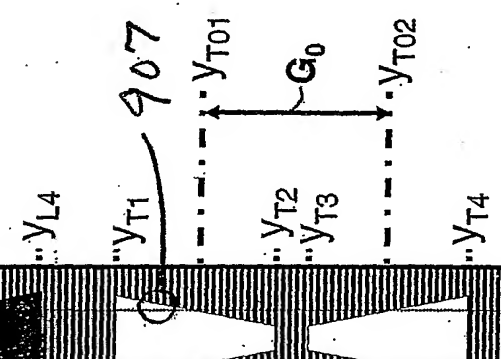
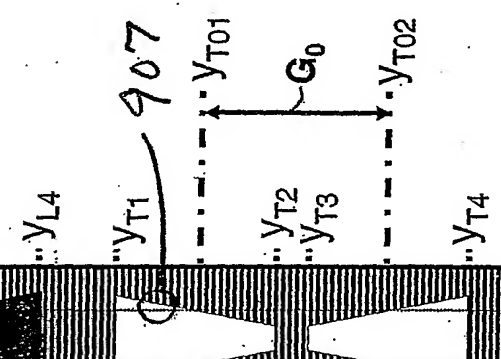
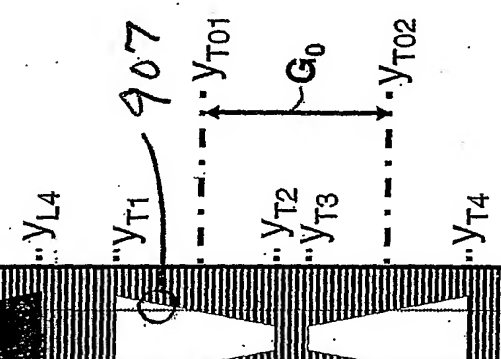
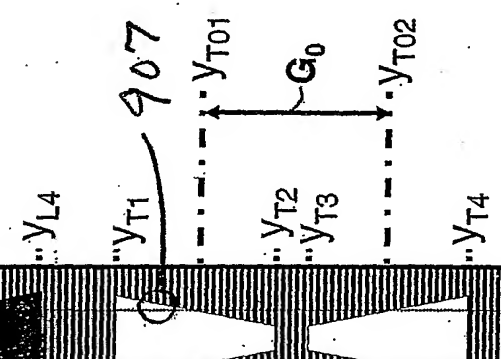
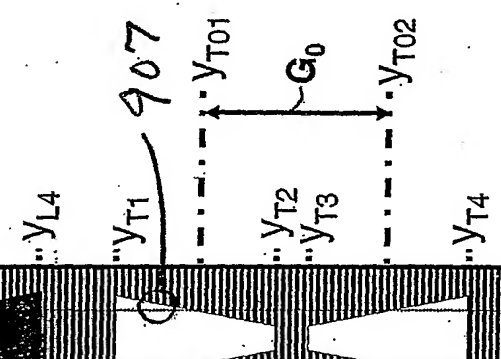
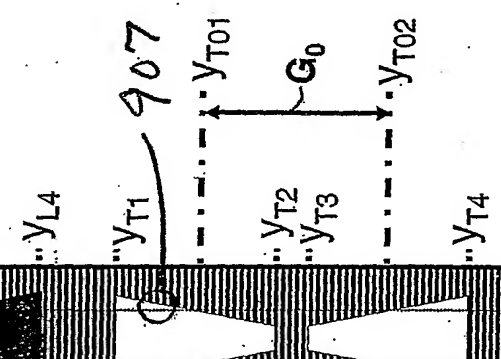
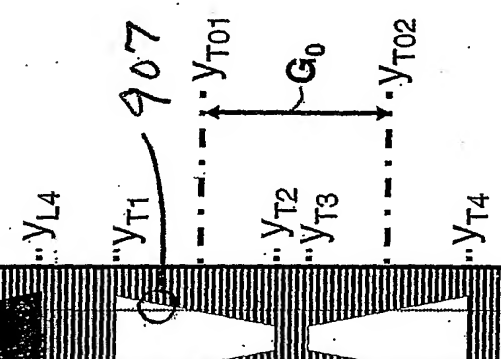
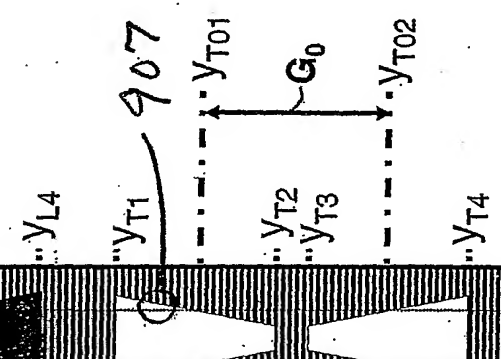
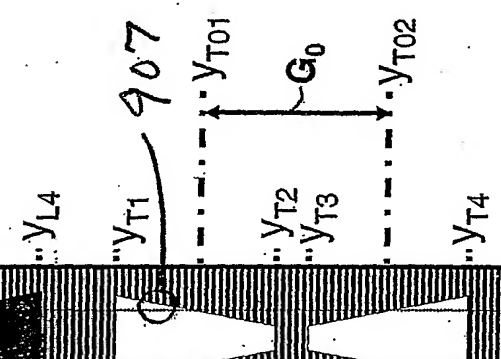
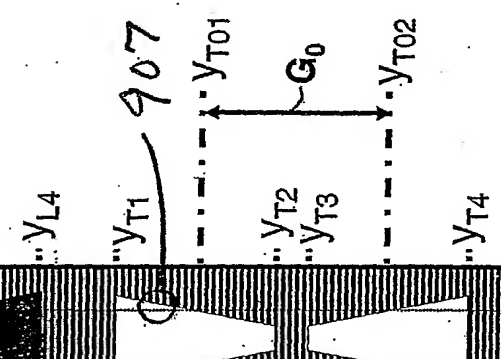
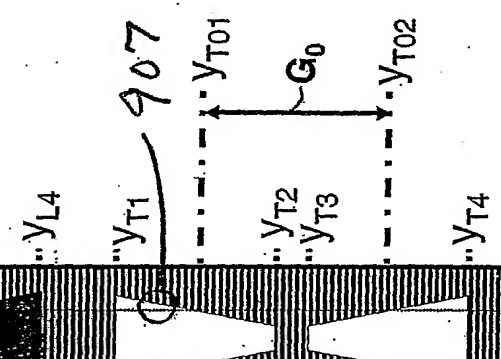
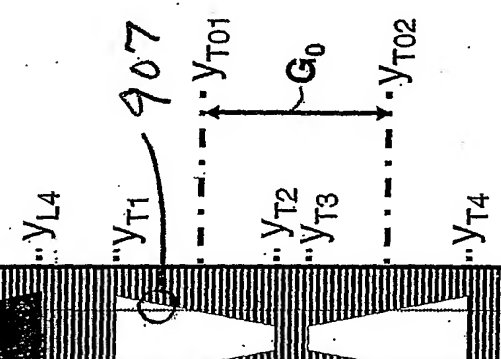
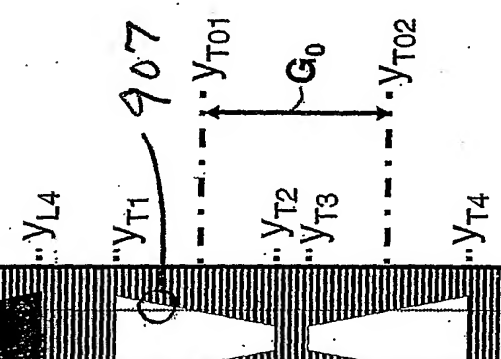
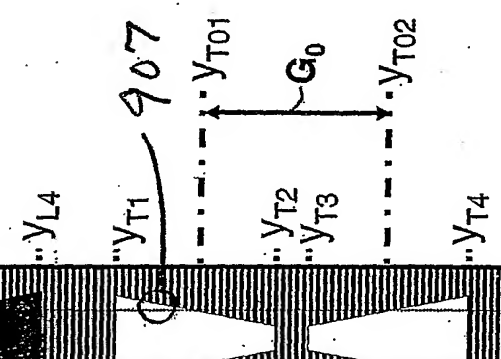
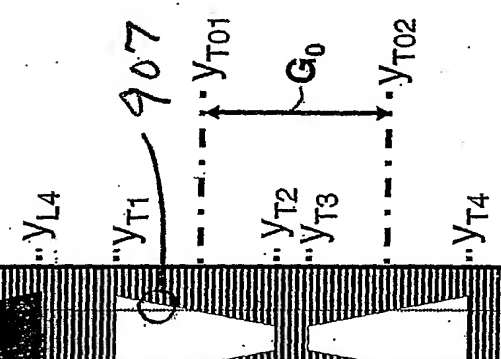
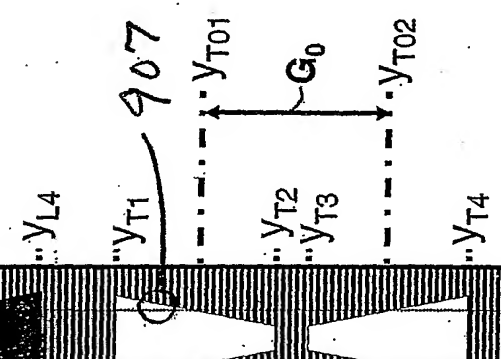
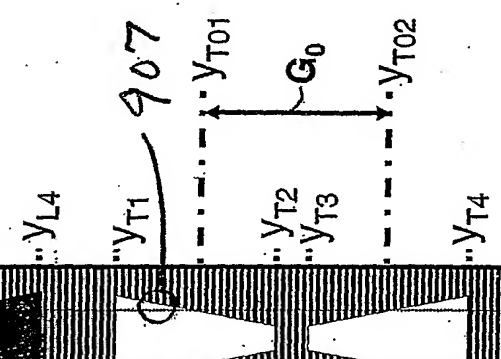
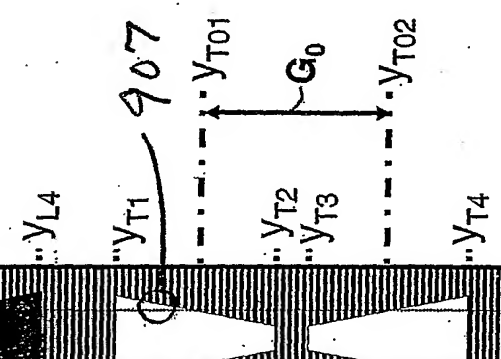
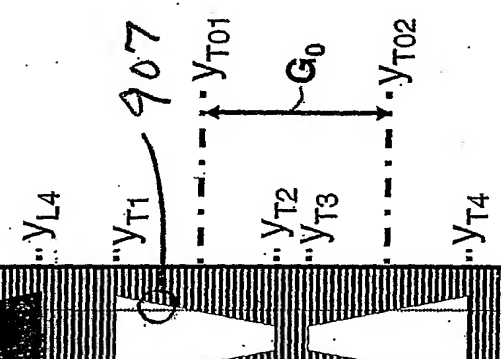
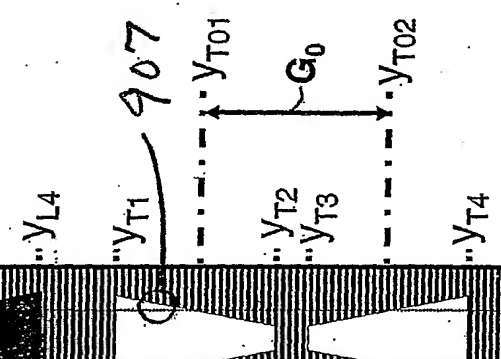
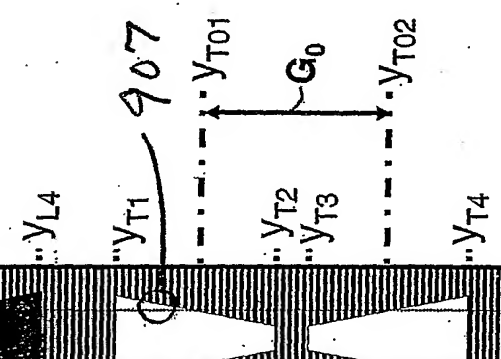
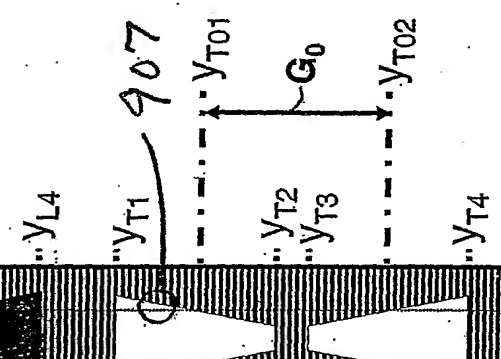
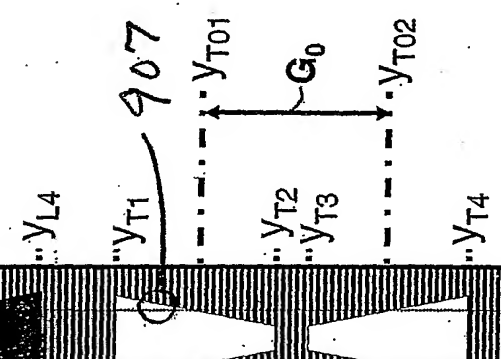
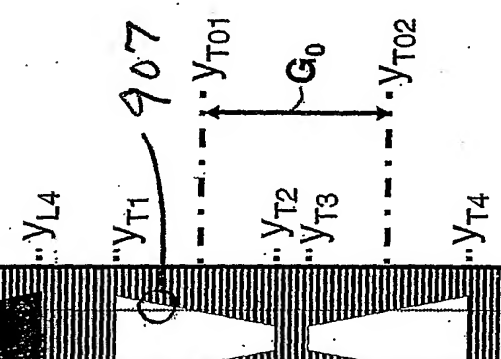
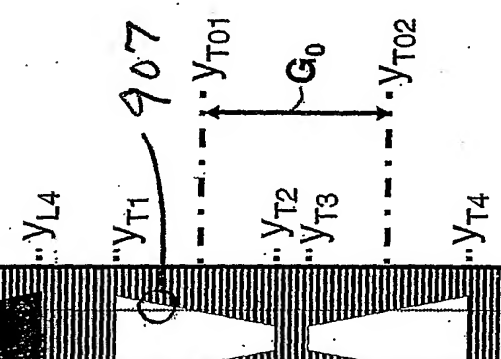
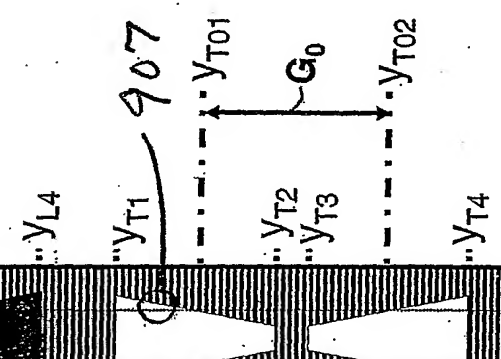
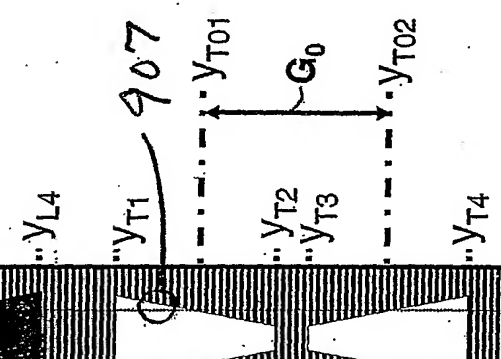
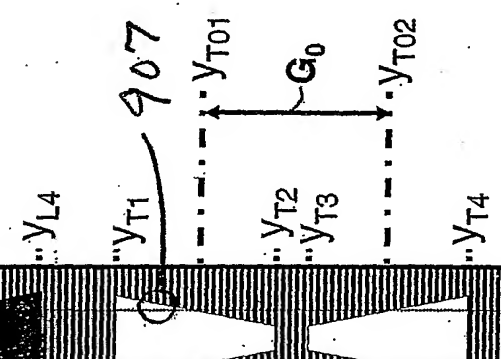
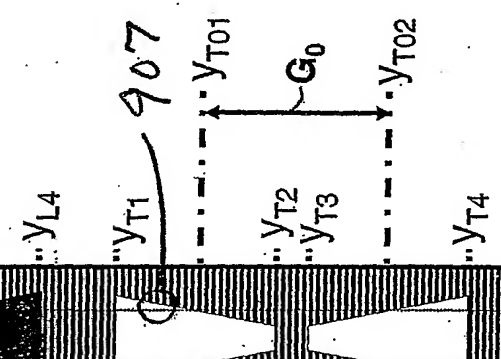
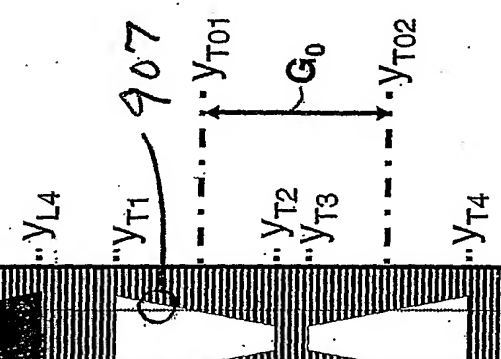
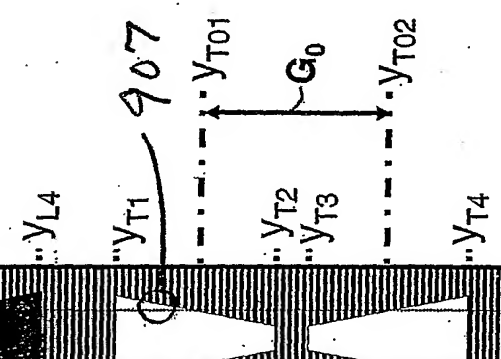
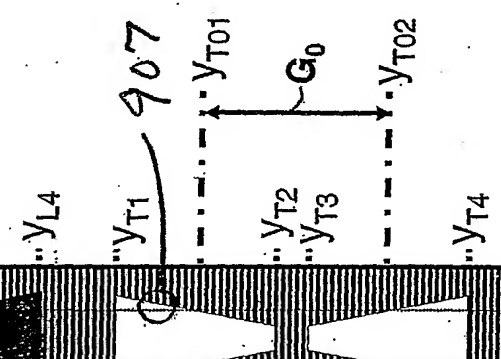
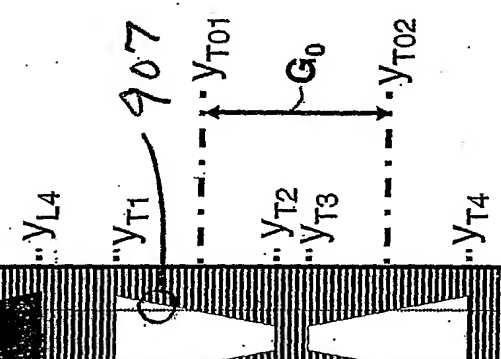
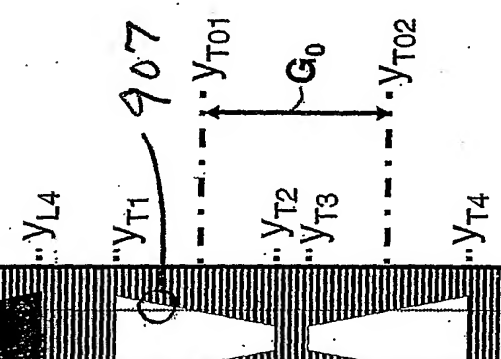
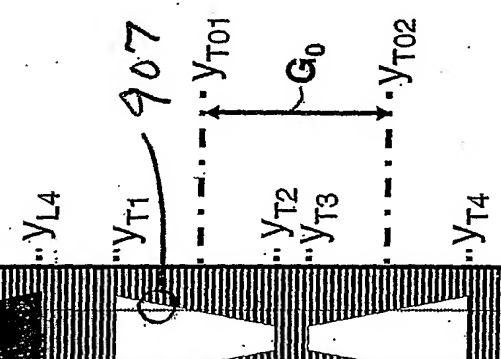
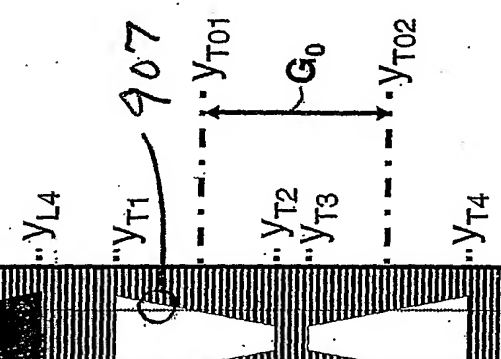
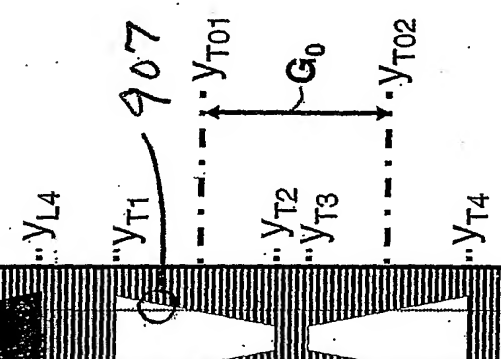
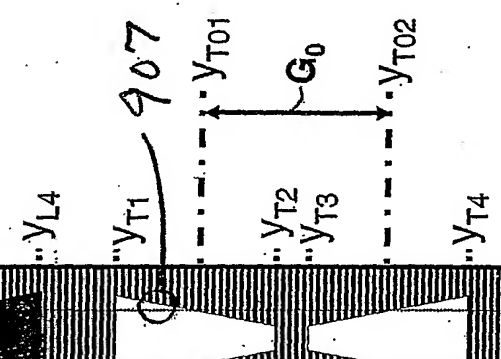
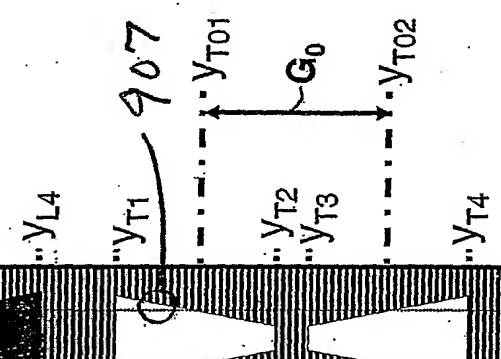
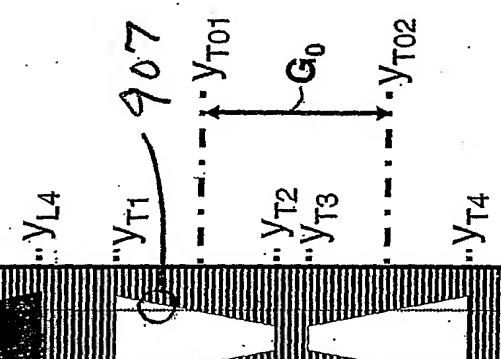
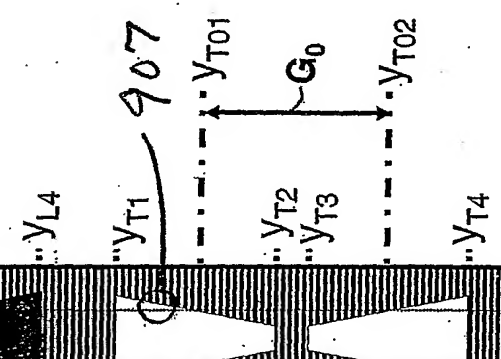
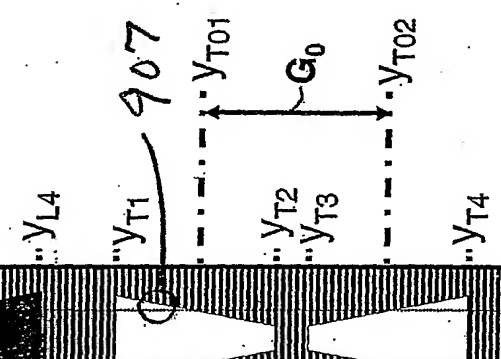
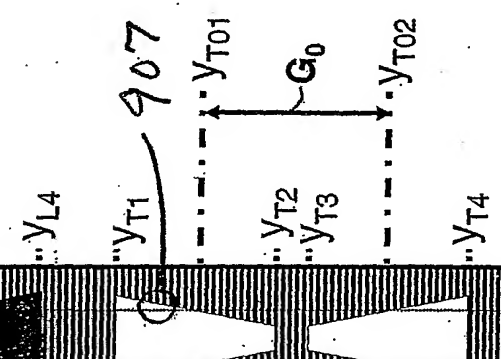
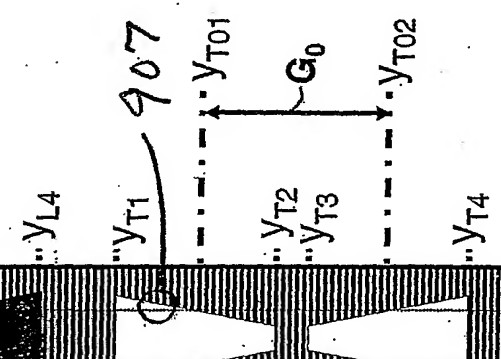
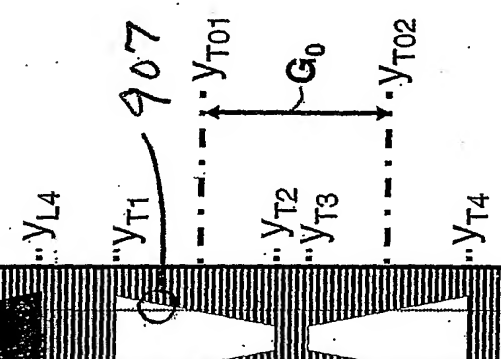
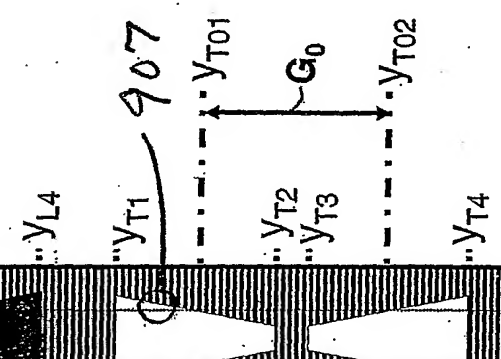
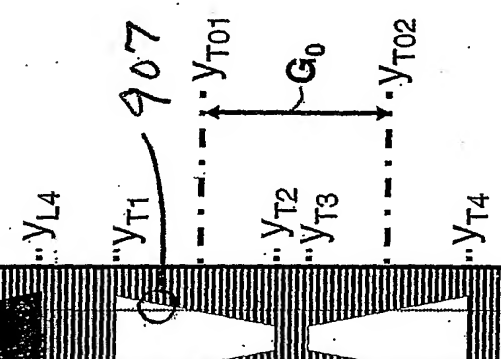
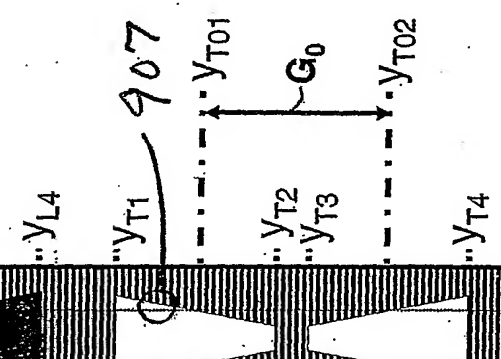
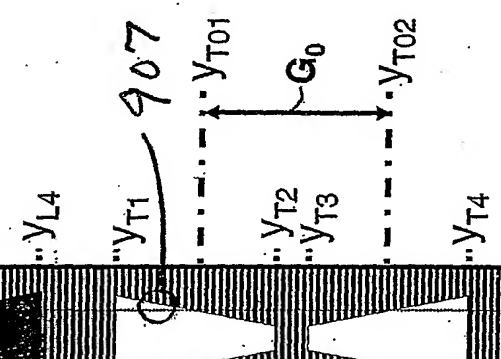
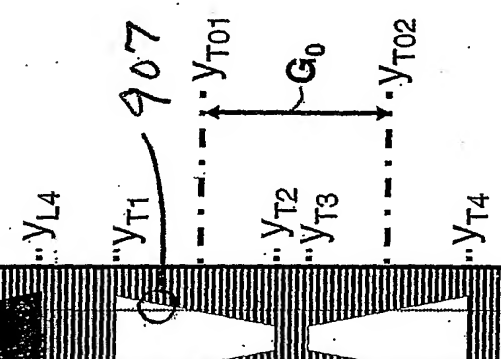
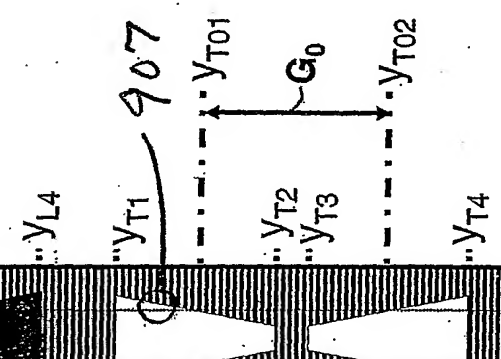
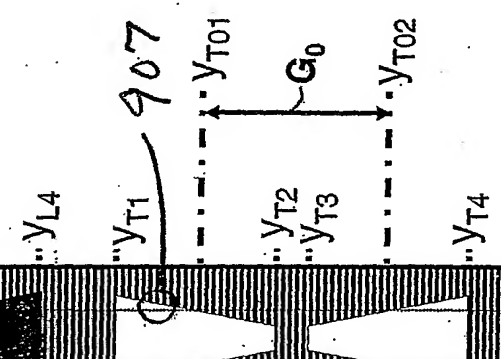
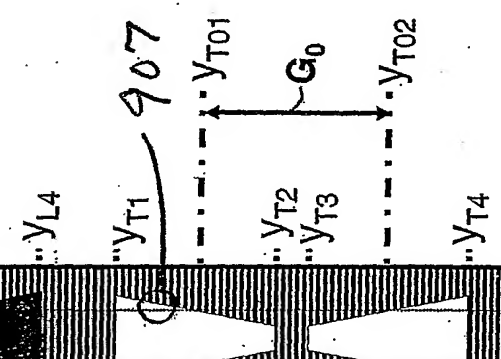
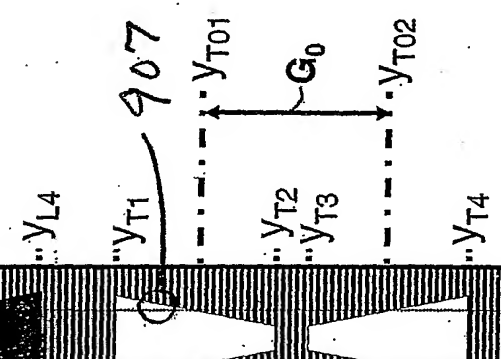
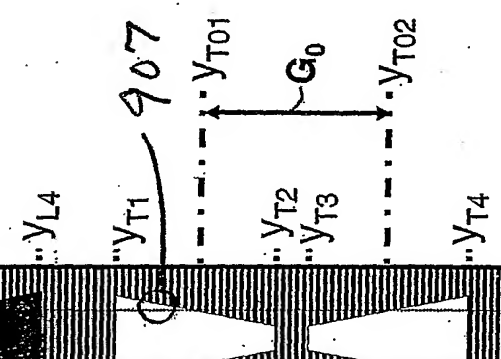
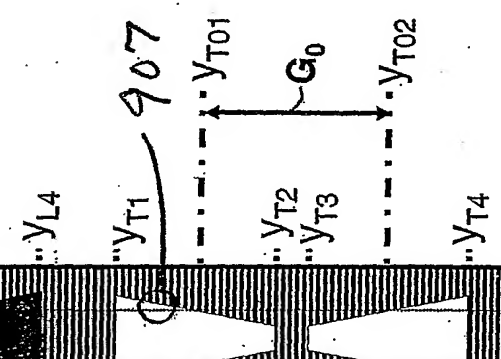
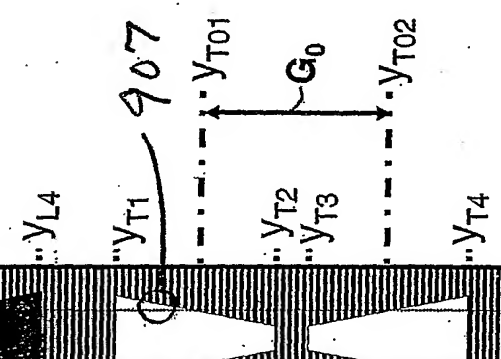
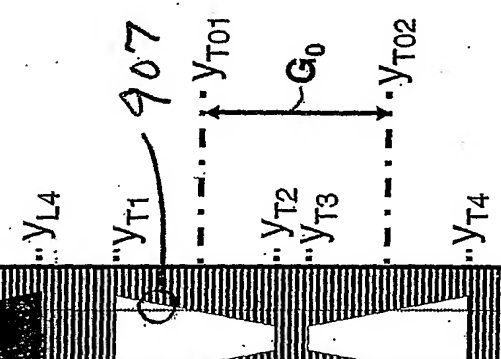
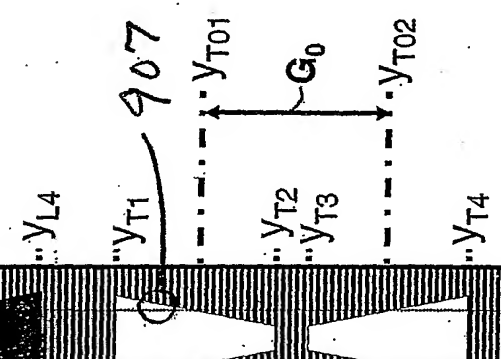
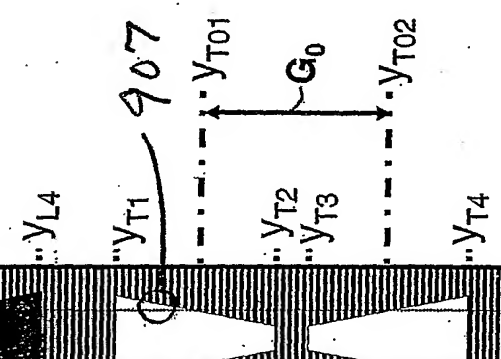
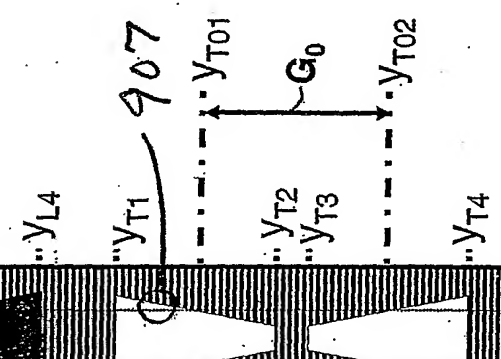
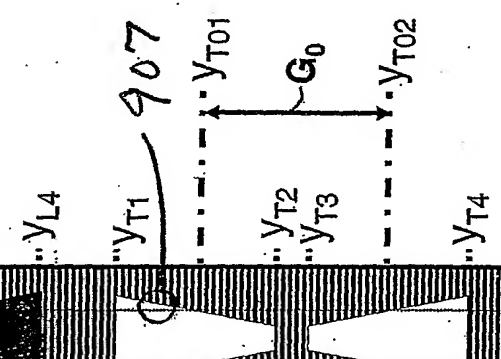
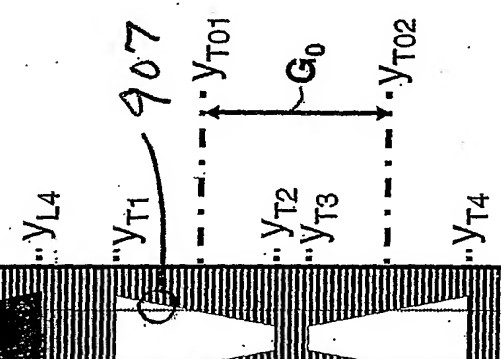
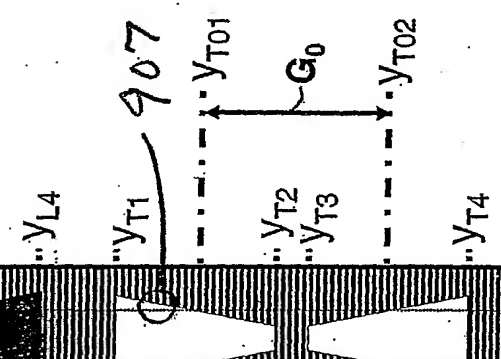
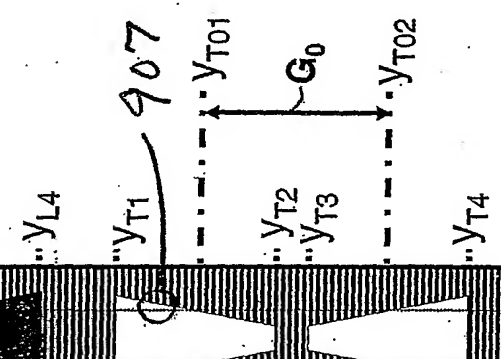
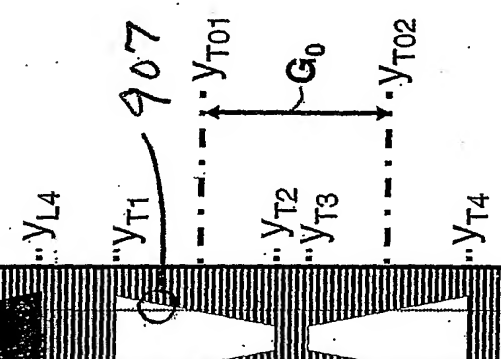
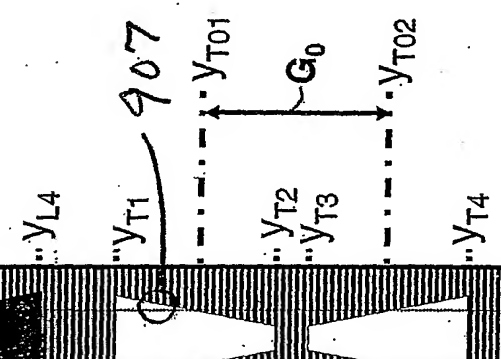
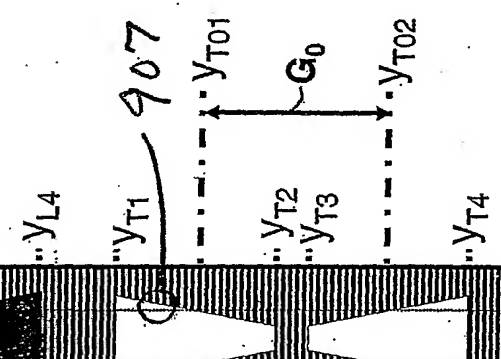
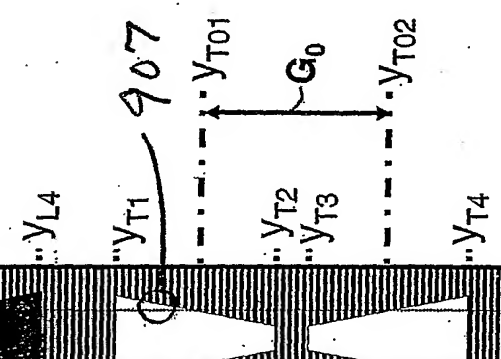
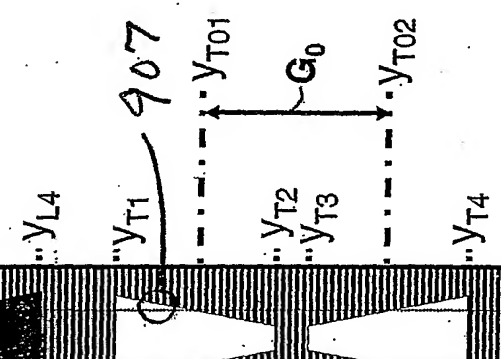
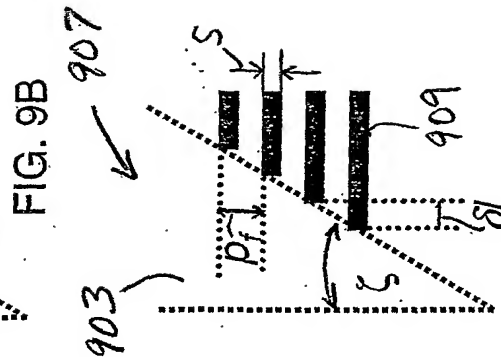
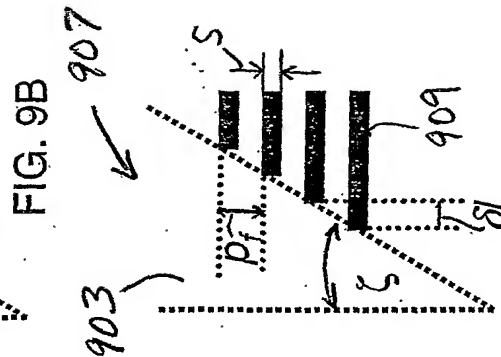
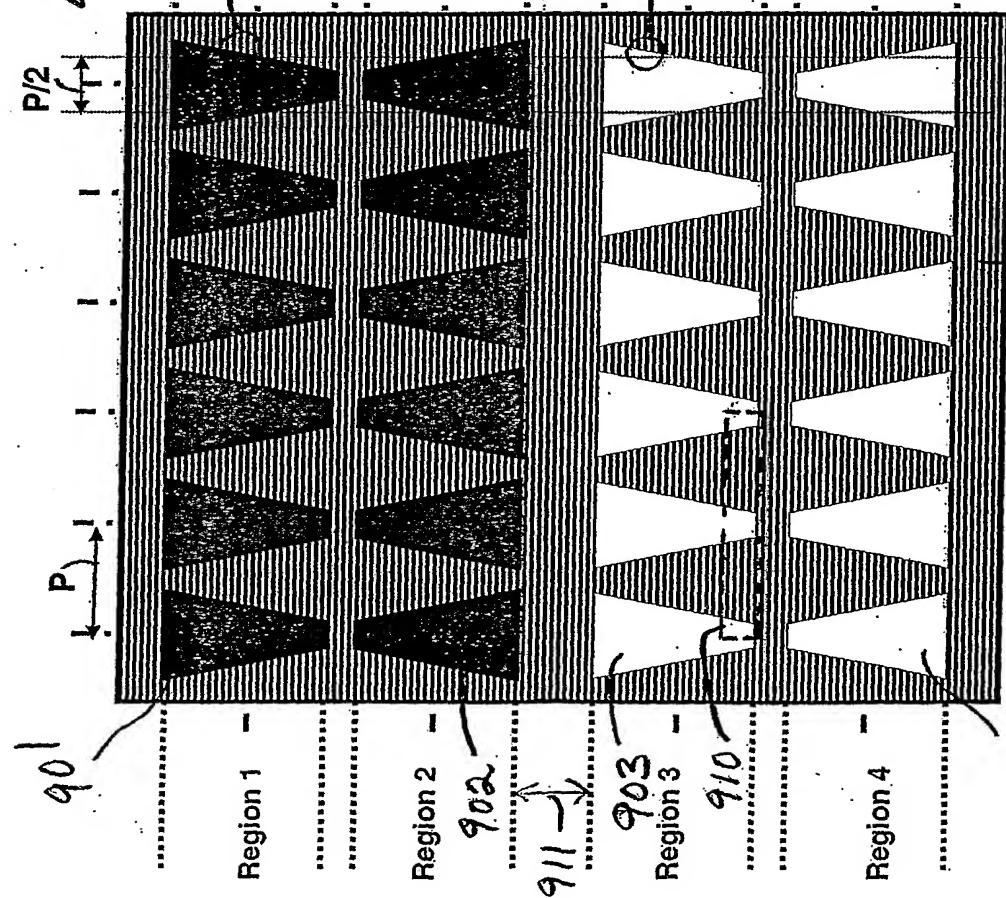
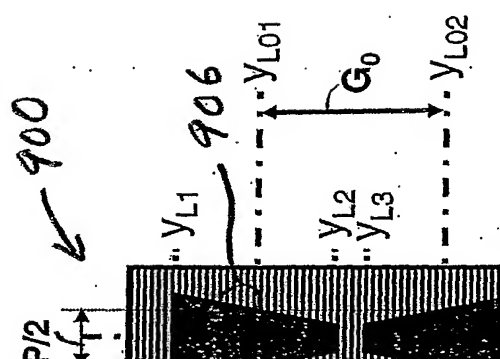
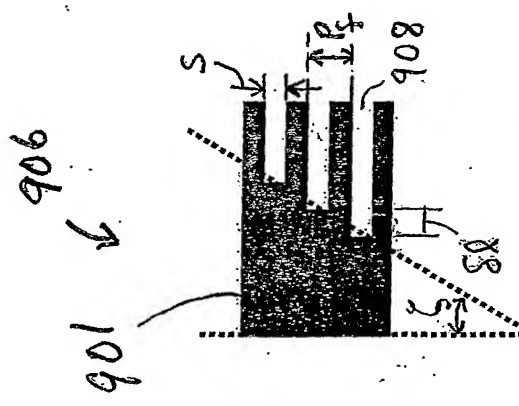


FIG. 8



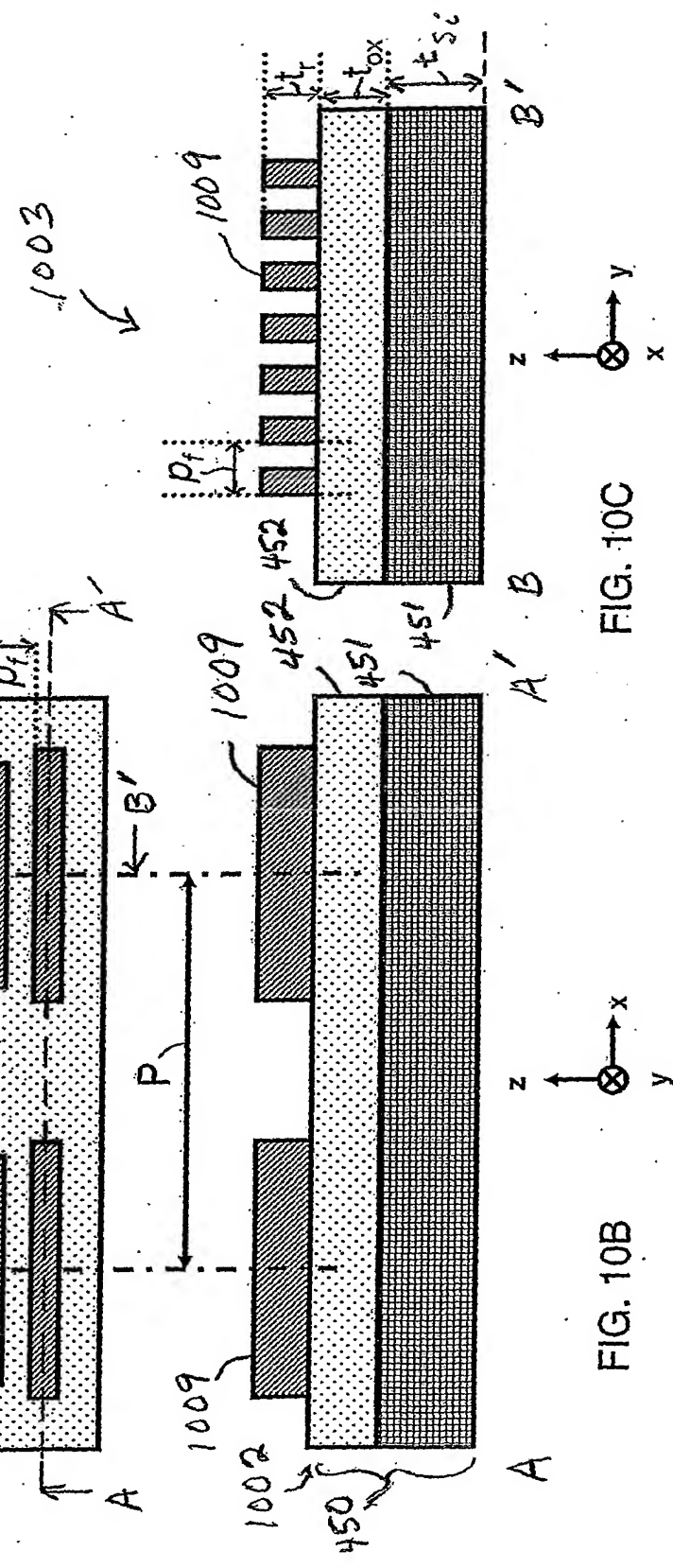
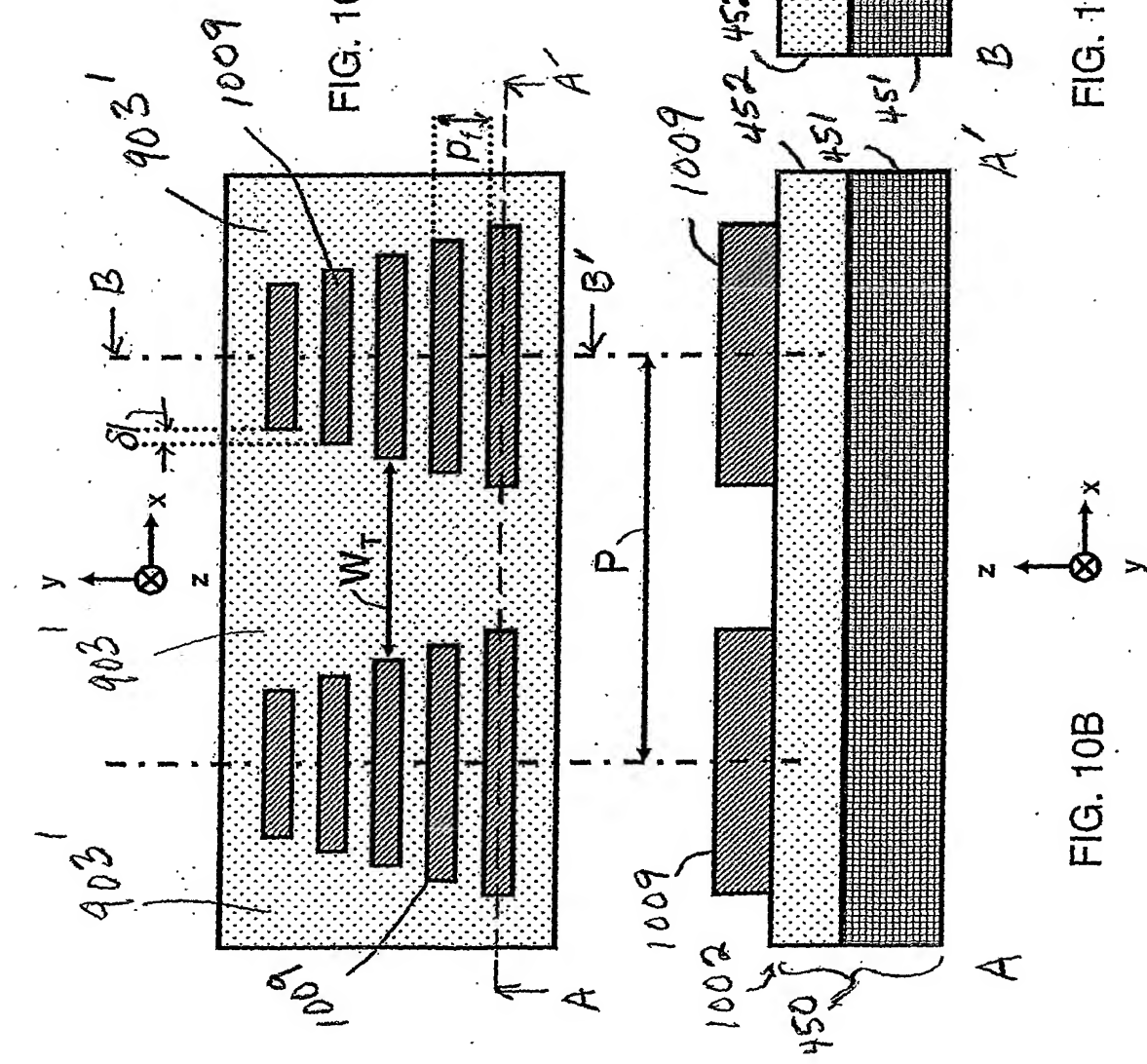


FIG. 10C



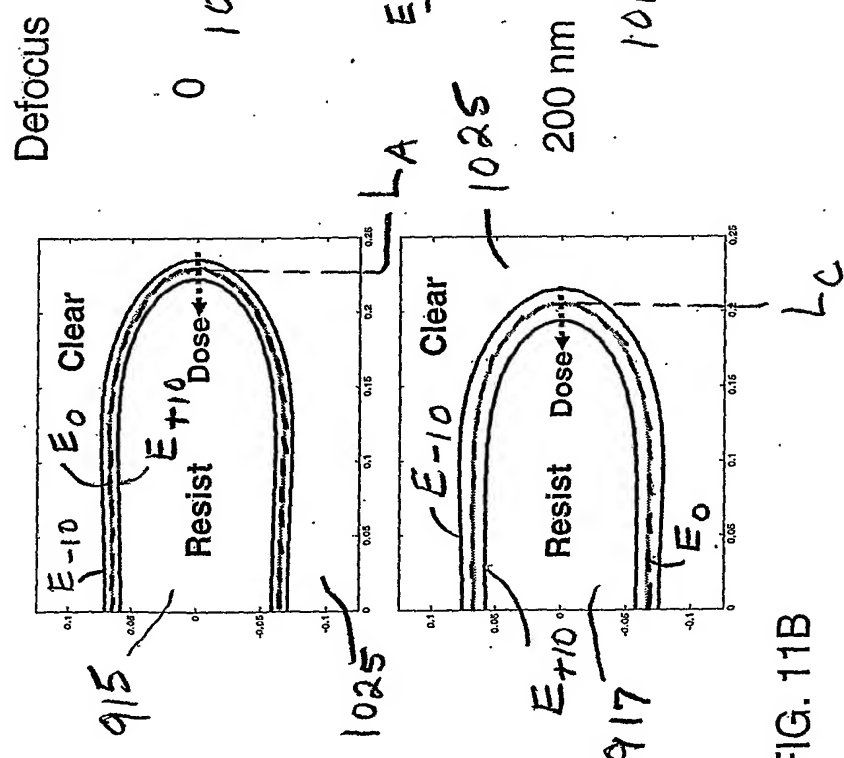
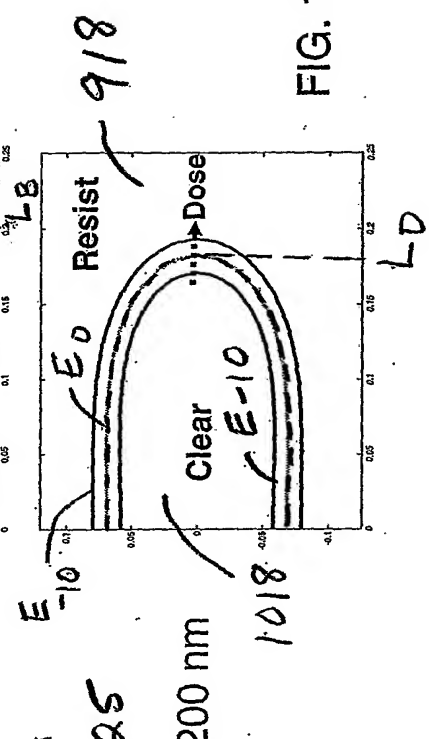
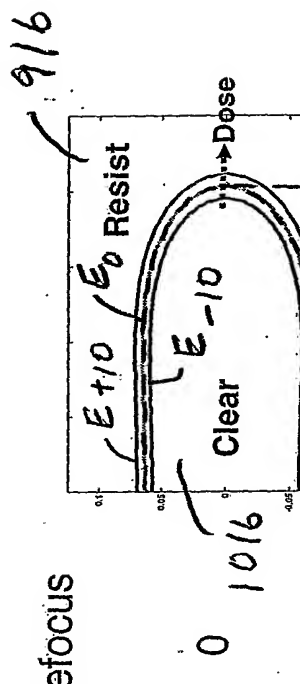
FIG. 11A Space W_7 FIG. 11C Shape W_L 

FIG. 11B

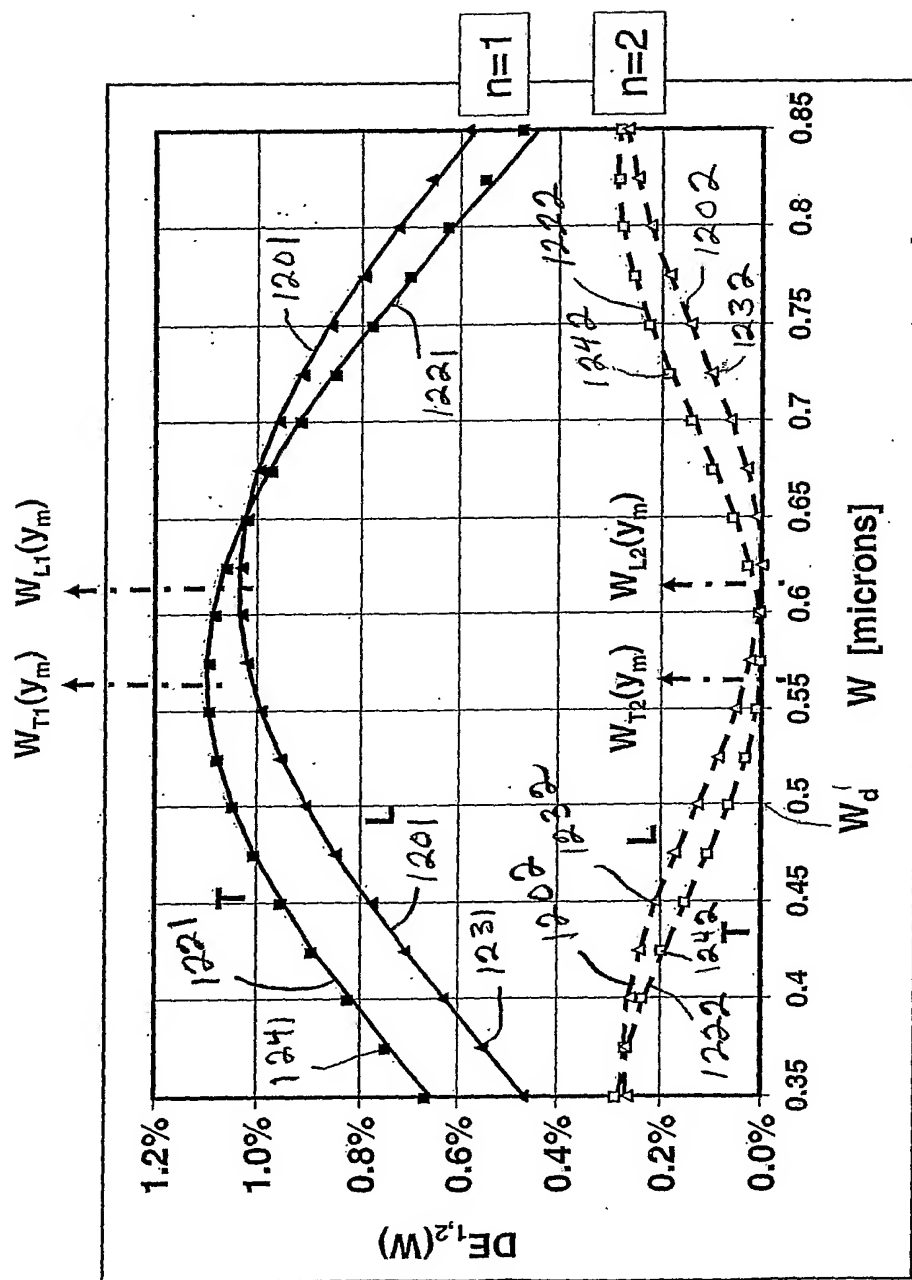


FIG. 12

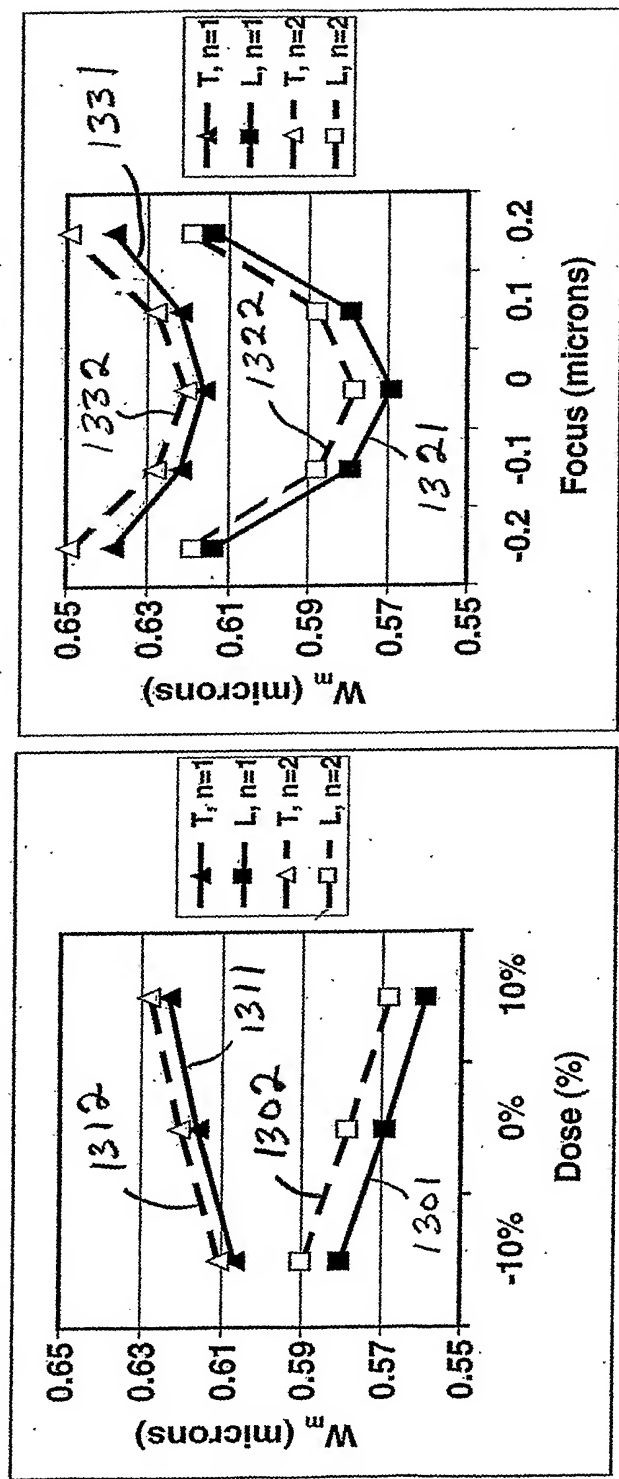


FIG. 13B

FIG. 13A

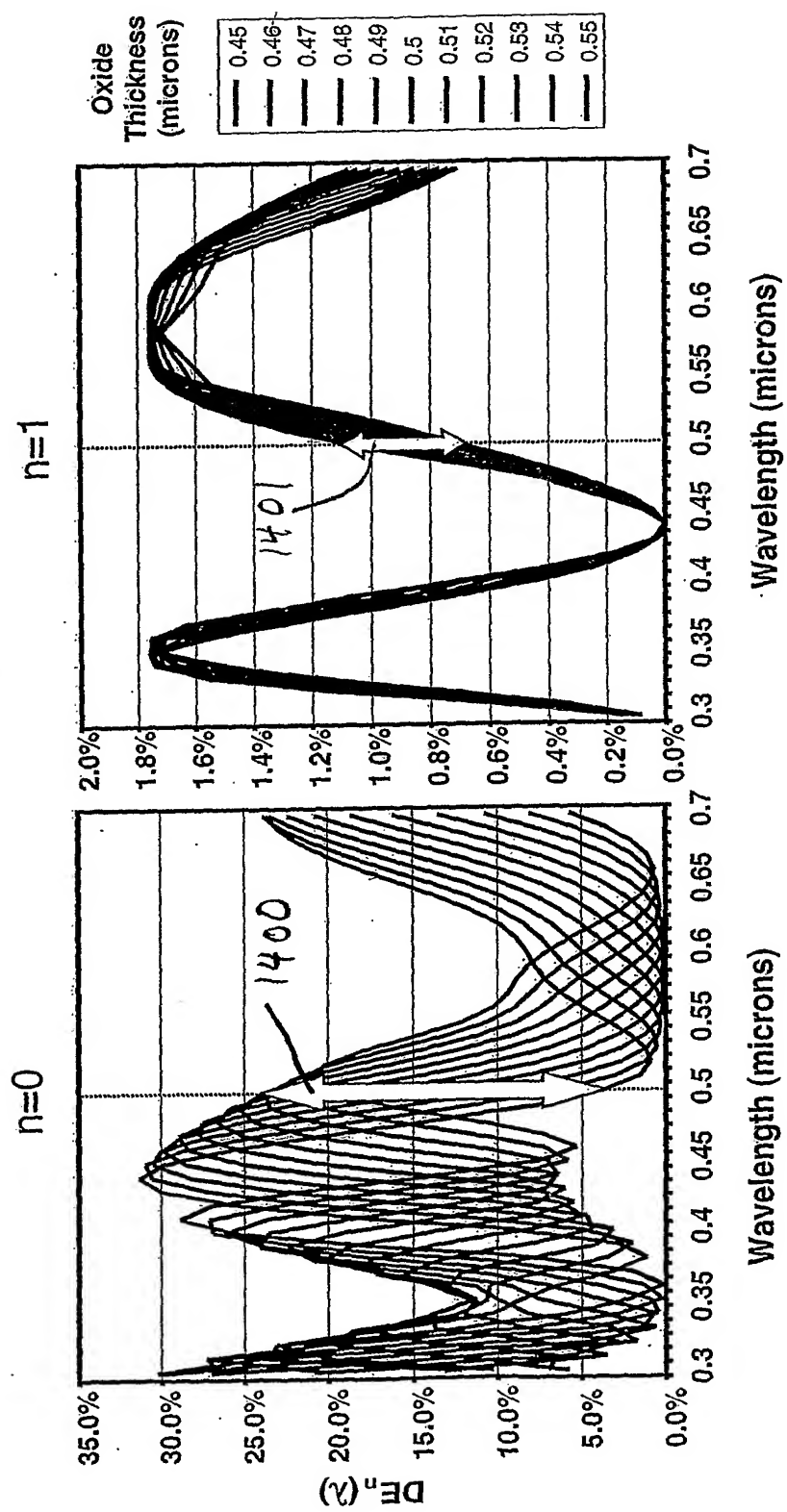


FIG. 14A

FIG. 14B

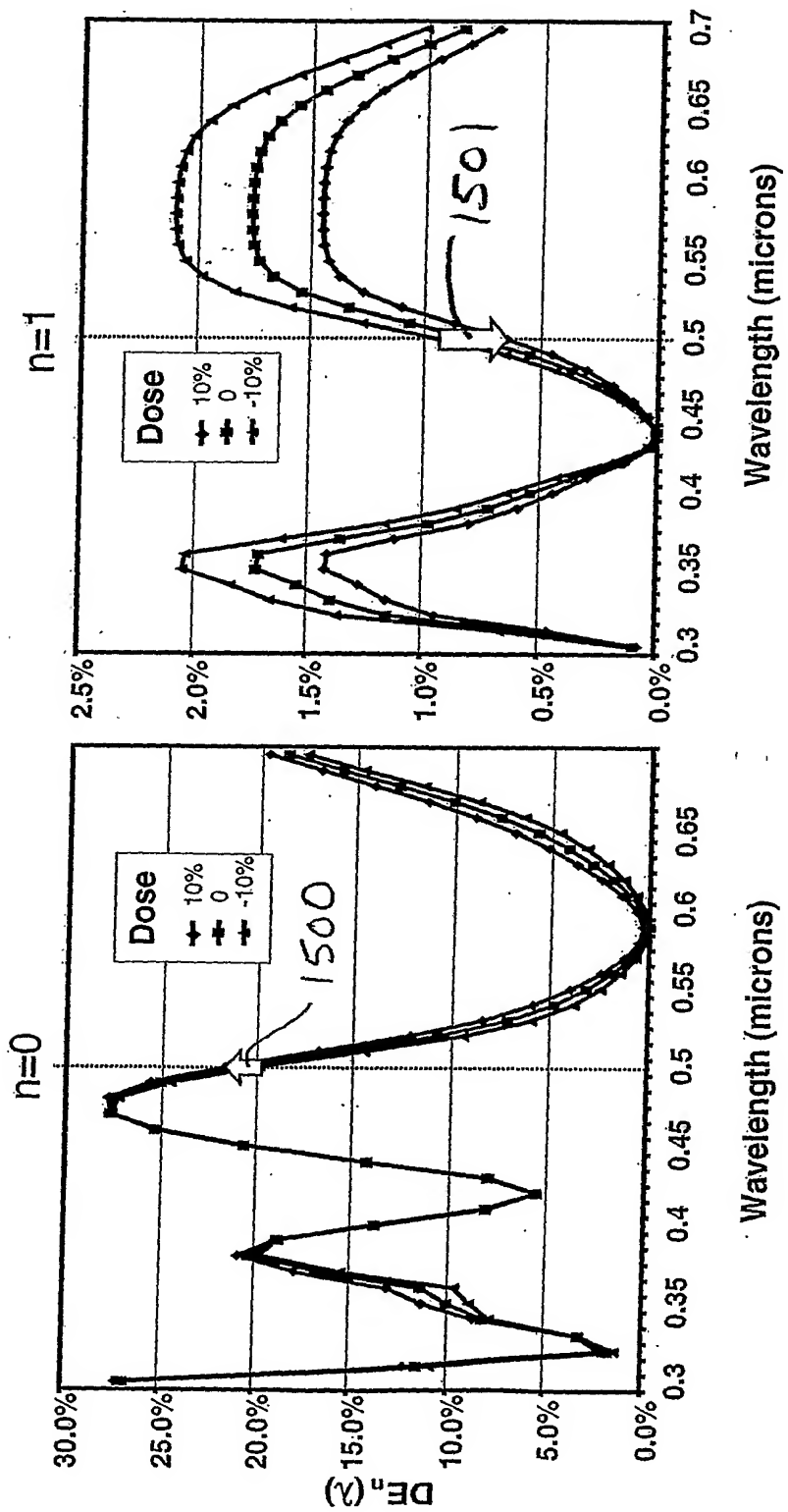


FIG. 15A

FIG. 15B

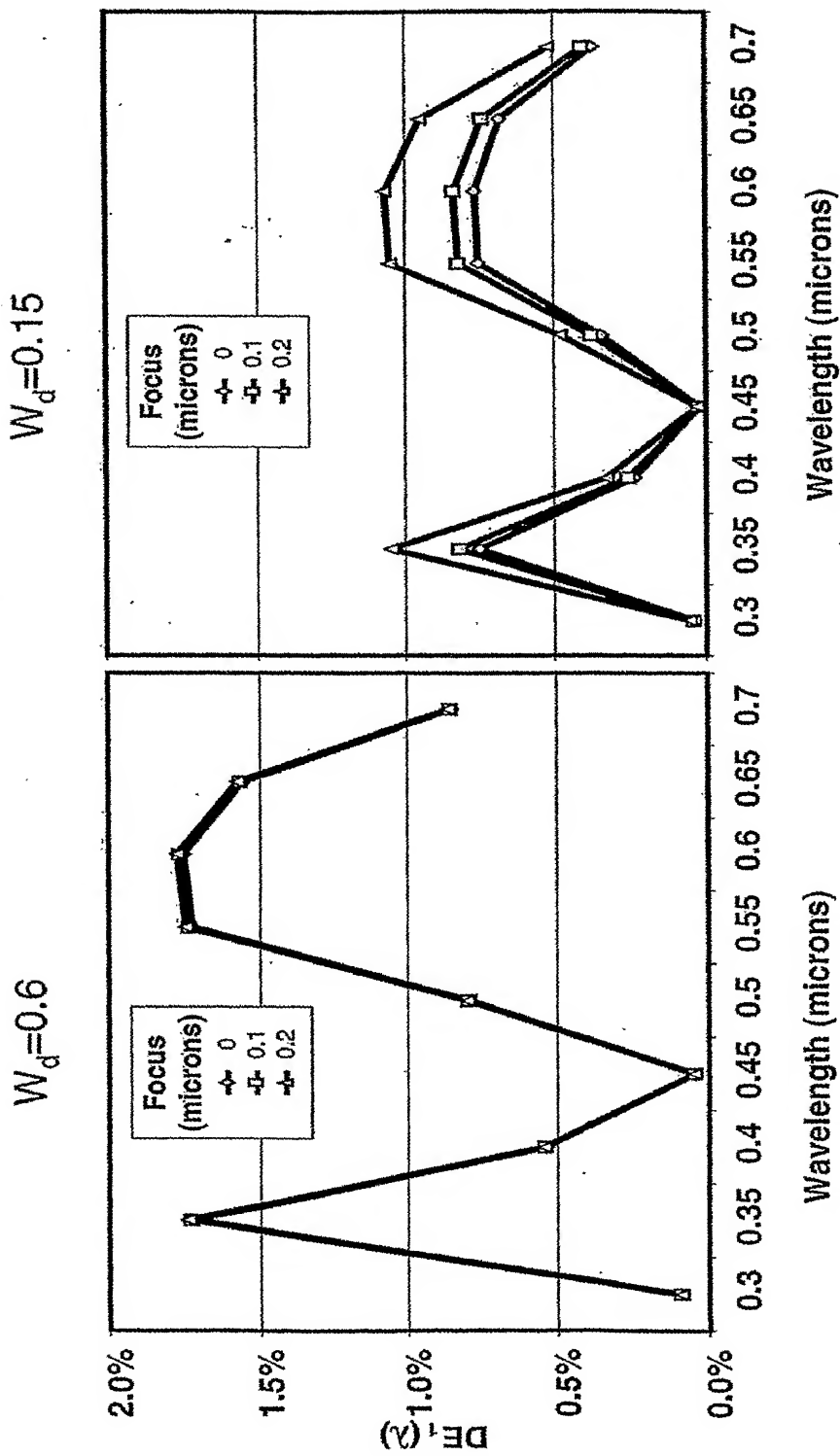


FIG. 16B

FIG. 16A

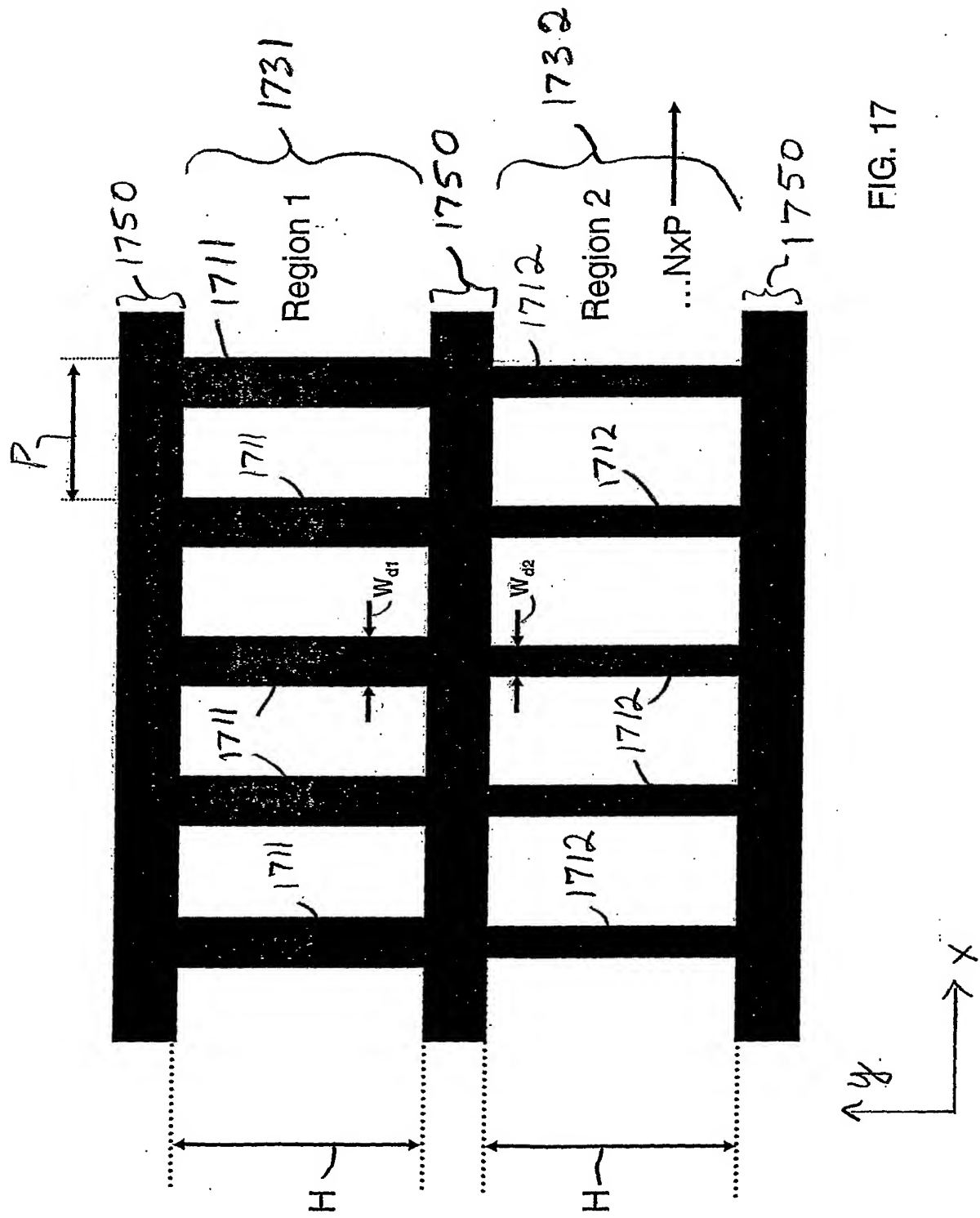


FIG. 17

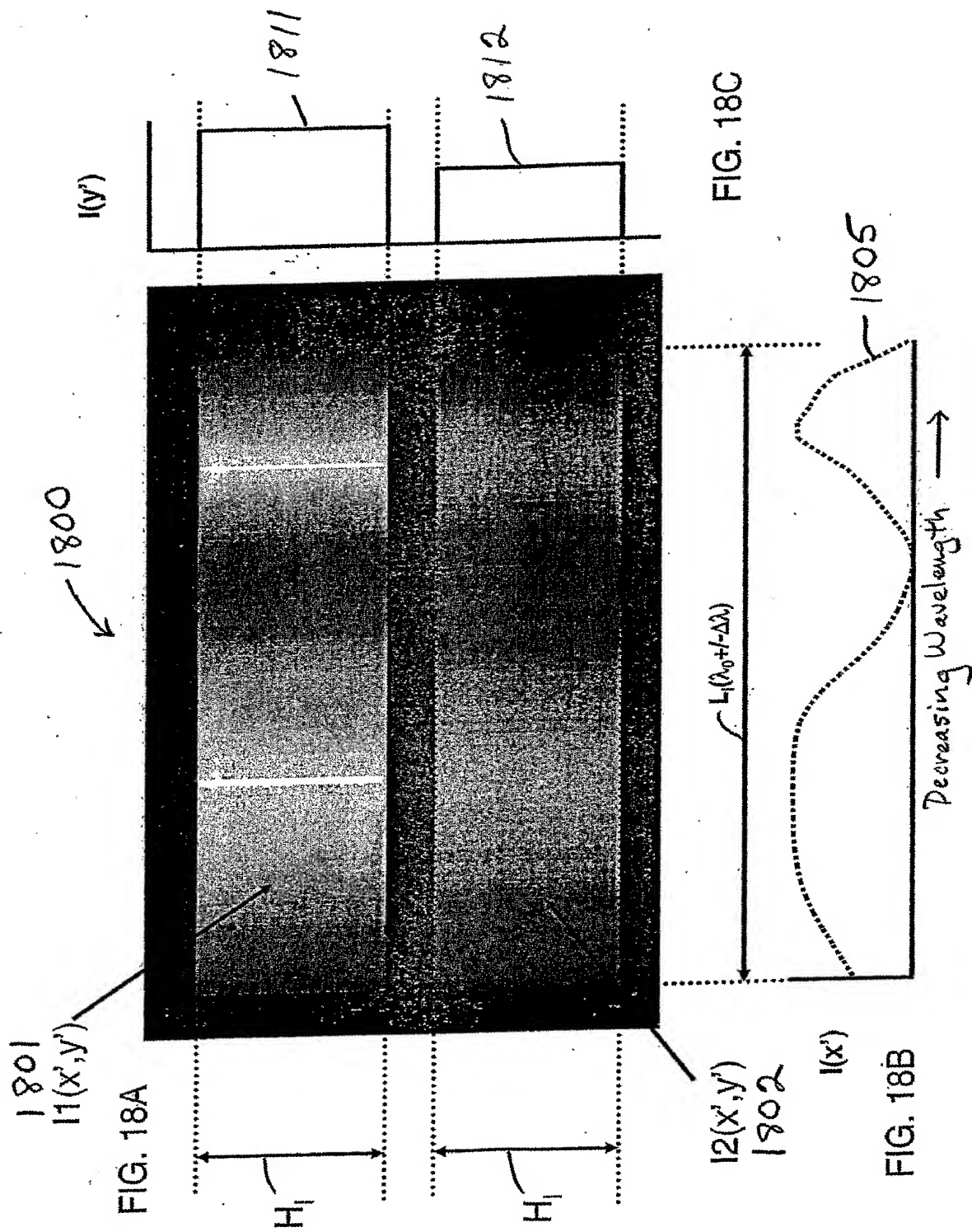


FIG. 19

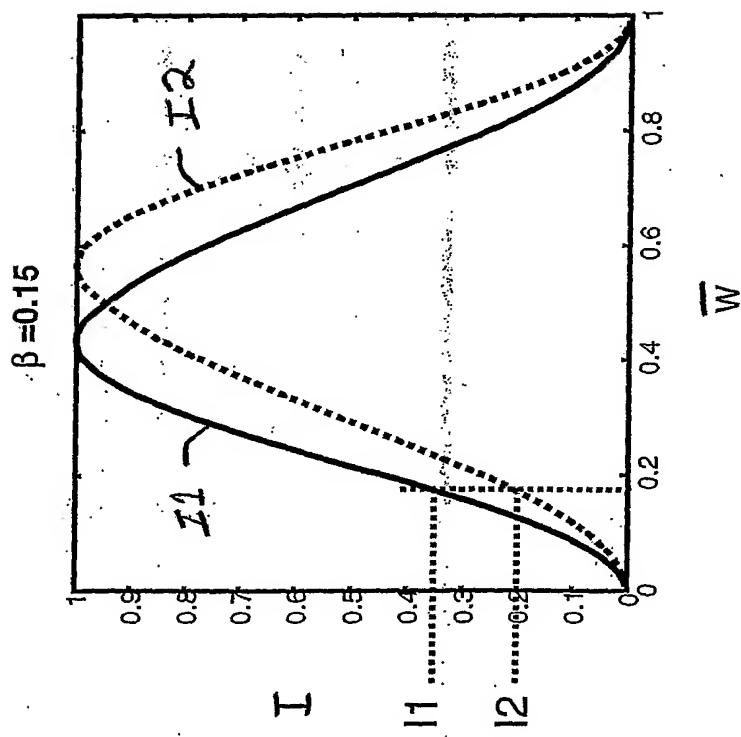
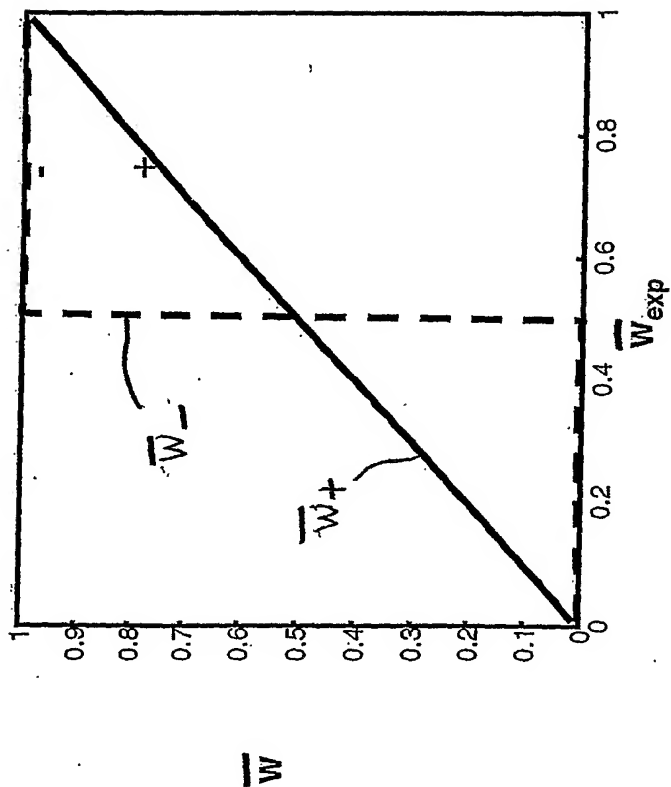
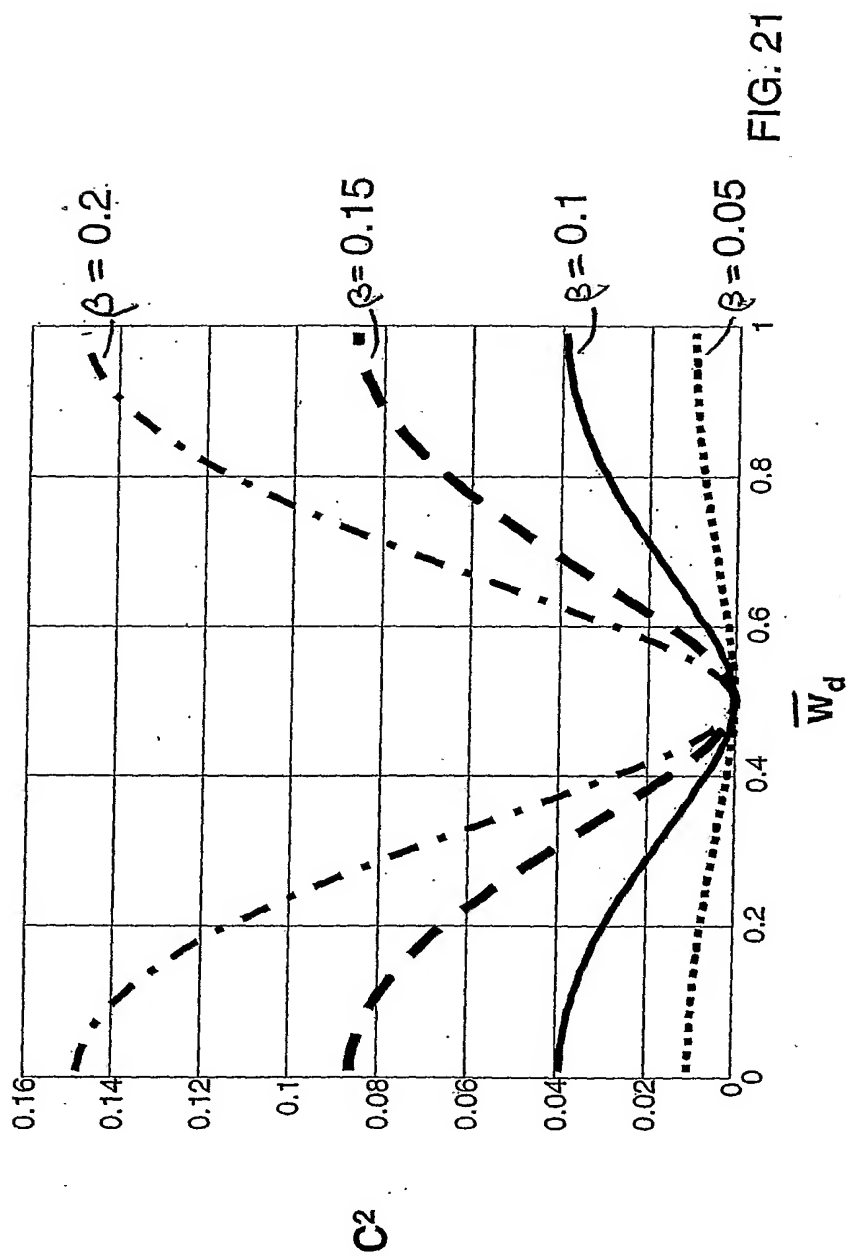


FIG. 20





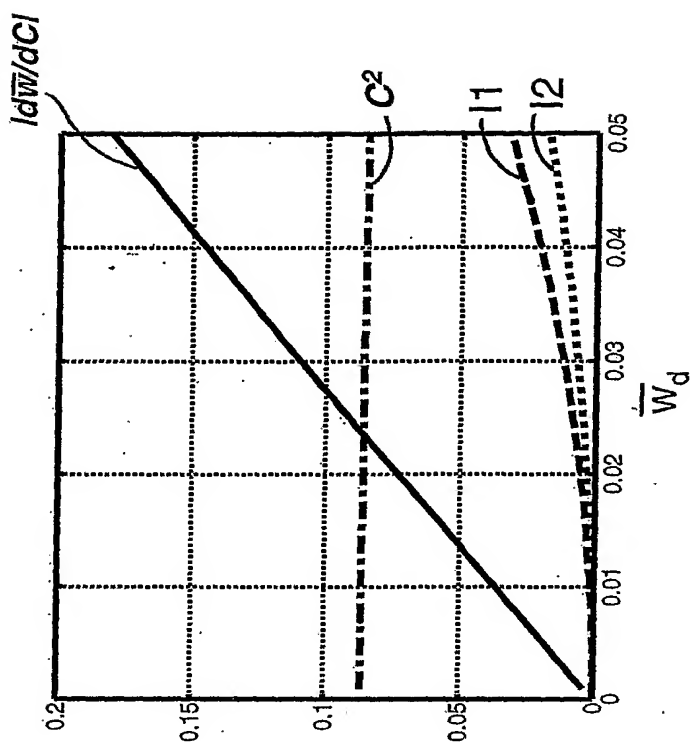


FIG. 22B

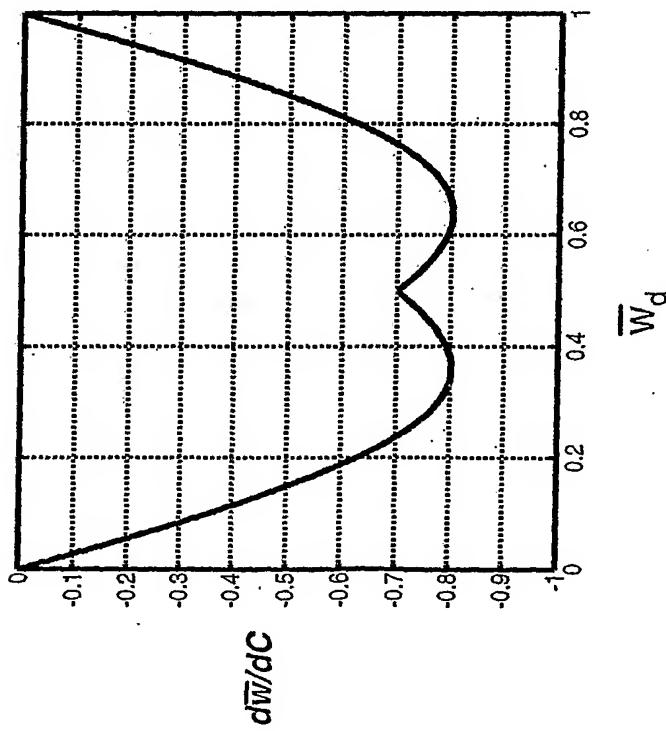
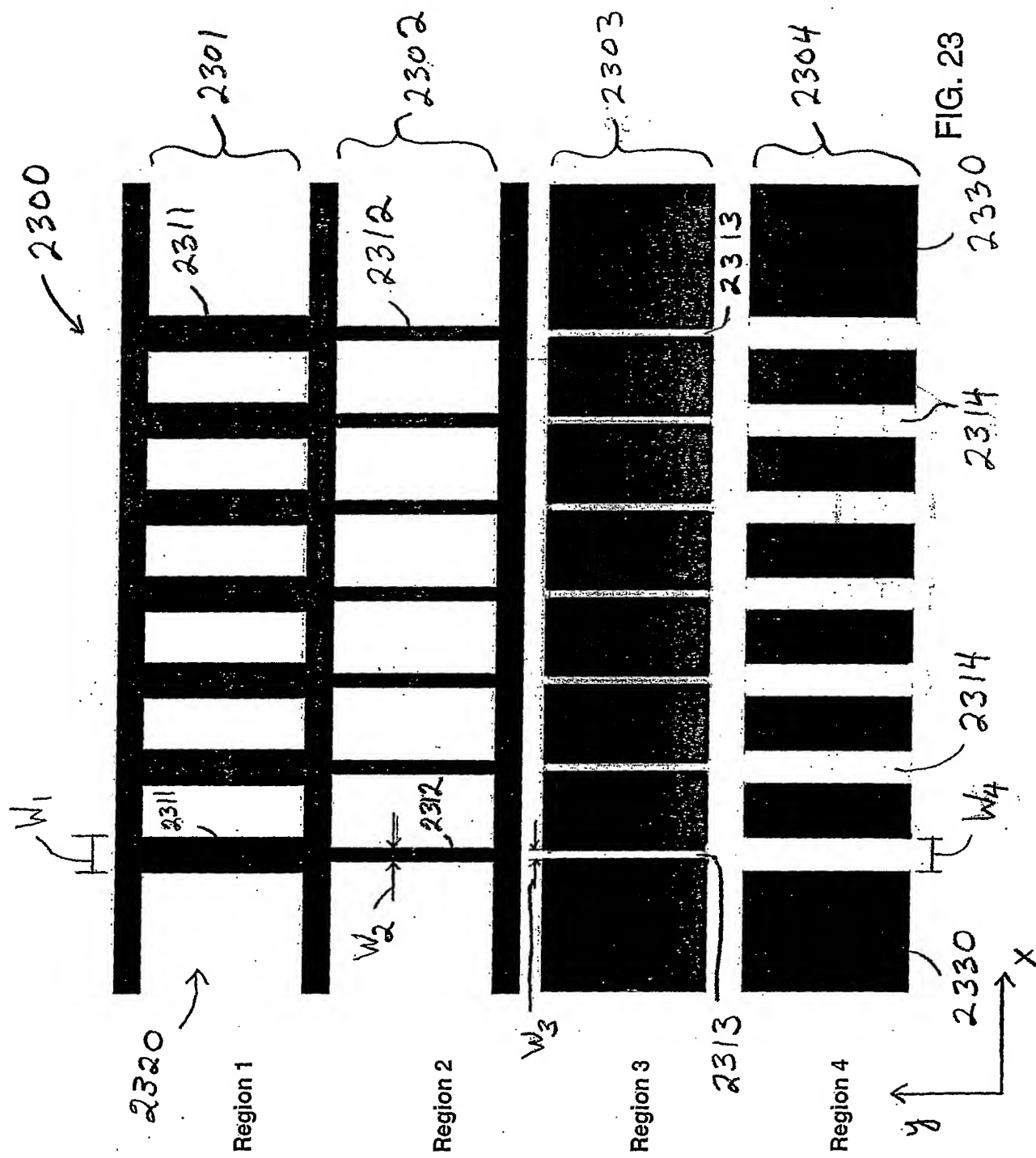


FIG. 22A



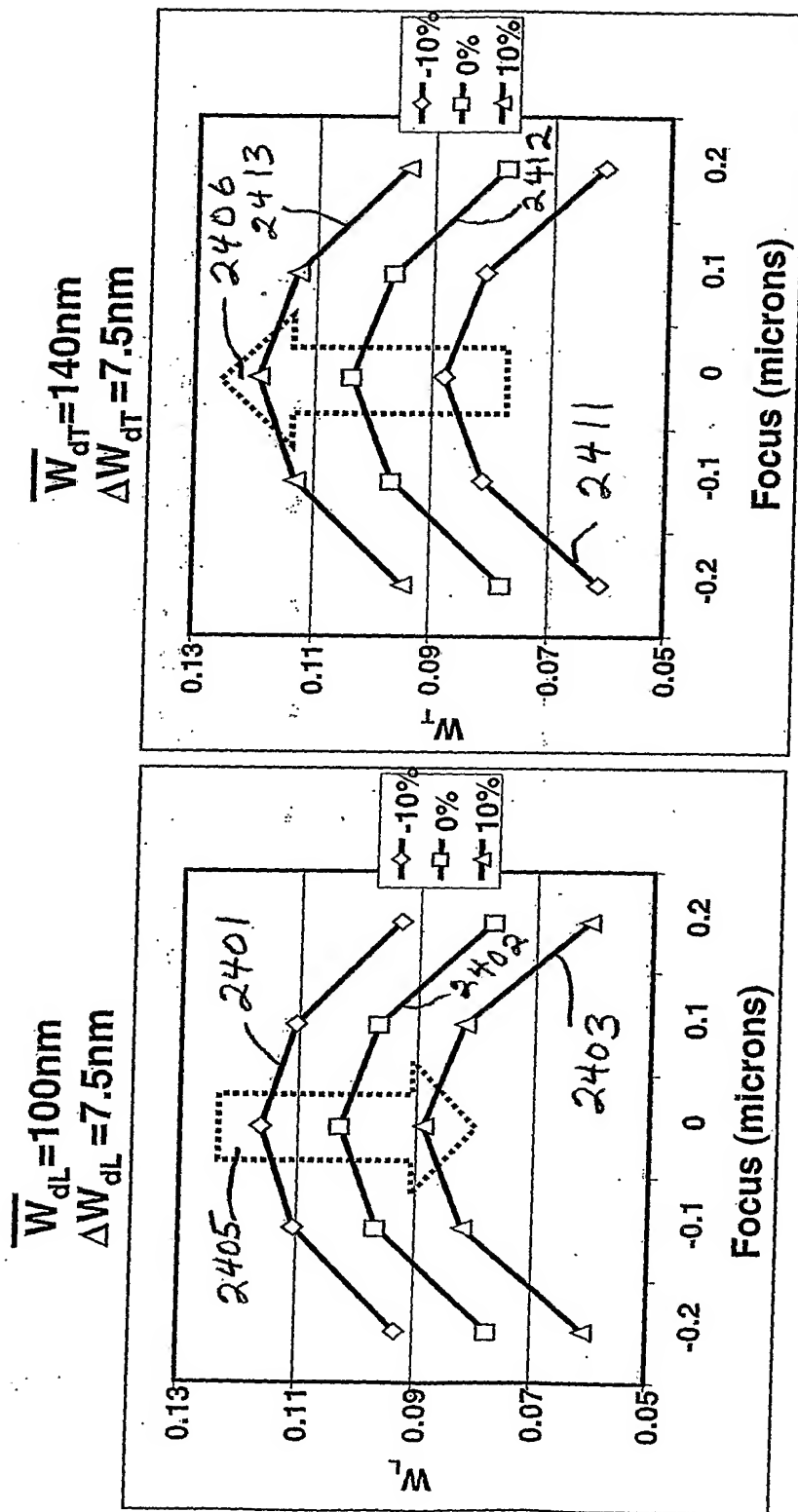


FIG. 24B

FIG. 24A

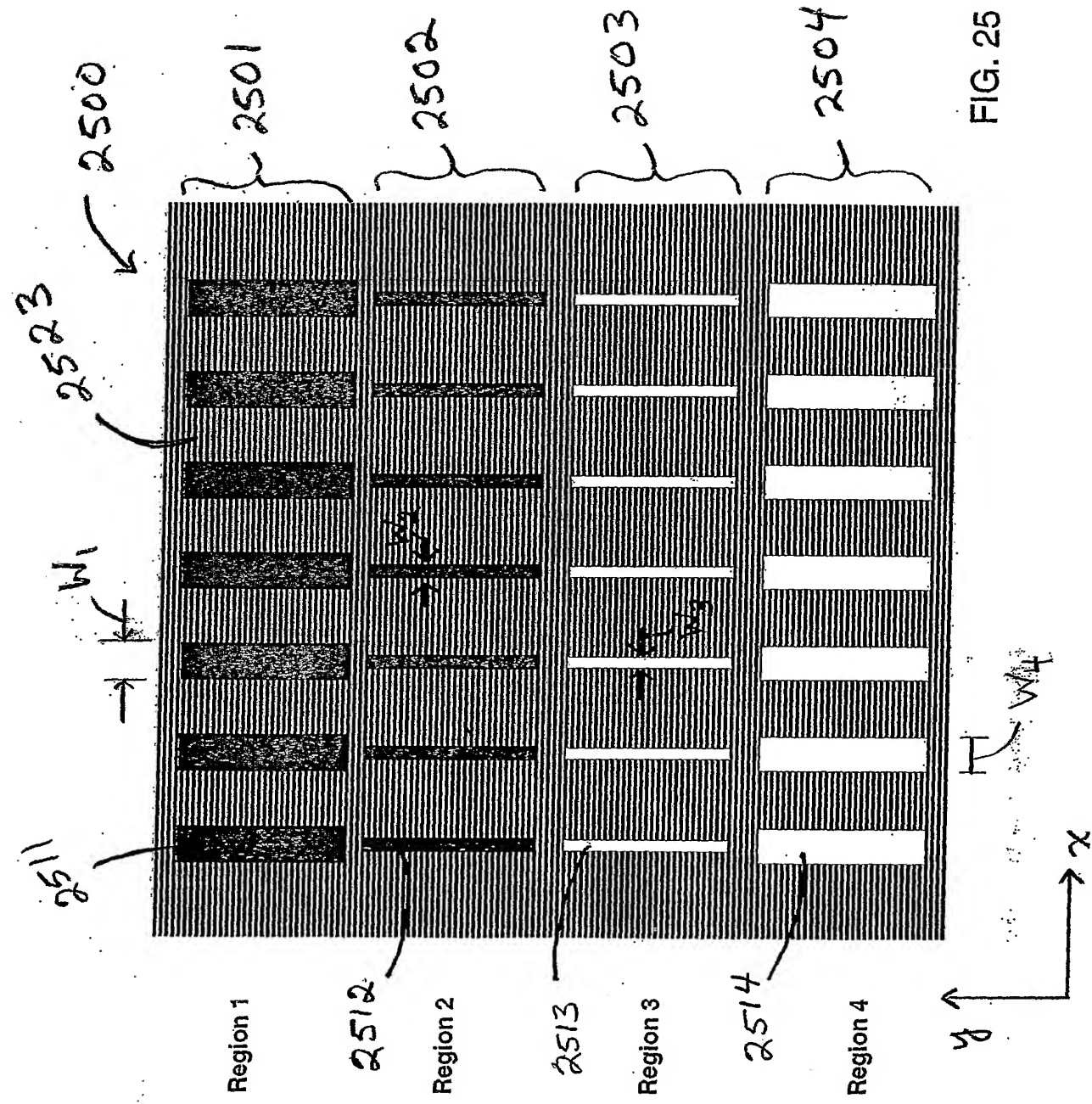


FIG. 25

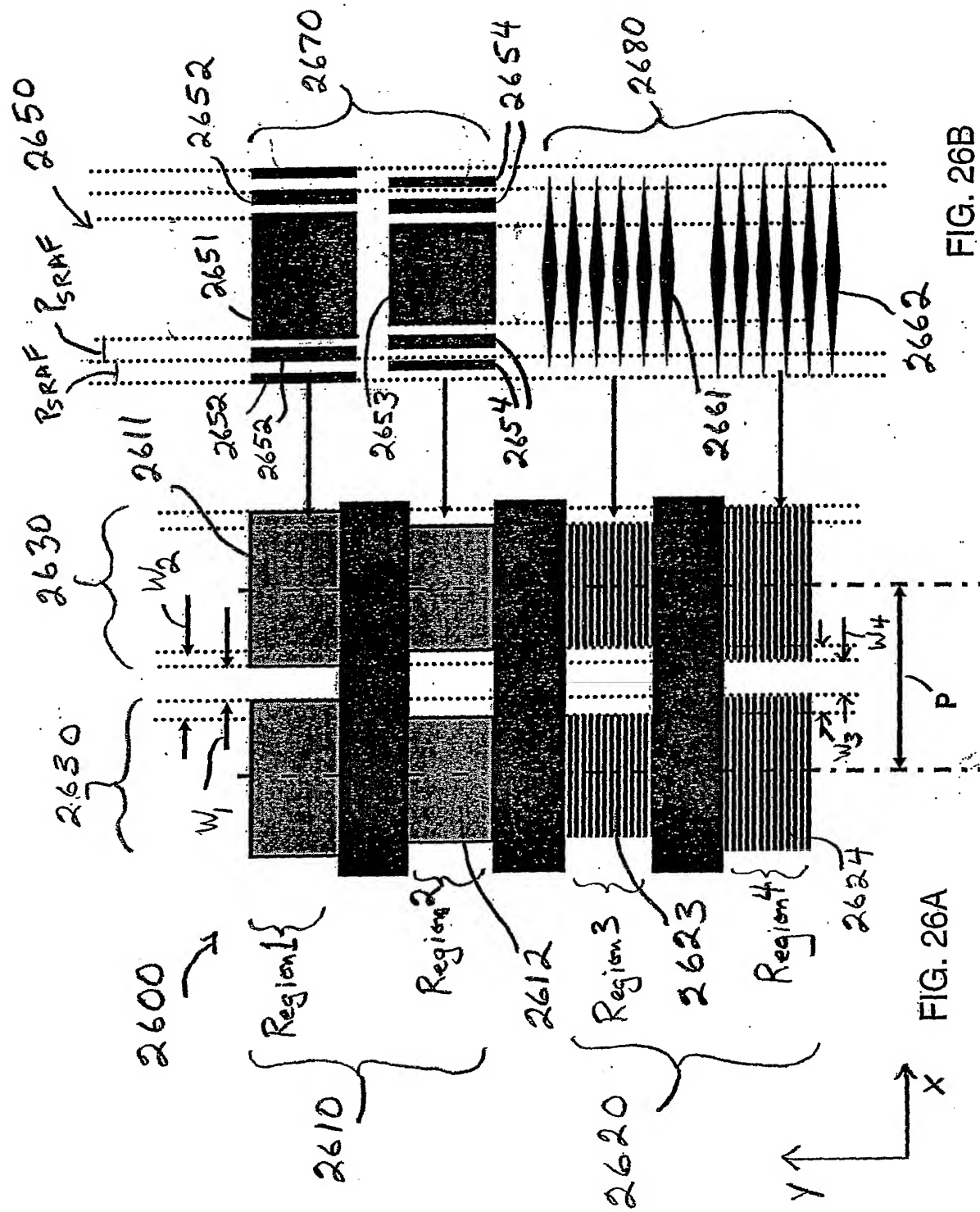


FIG. 26B

FIG. 26A

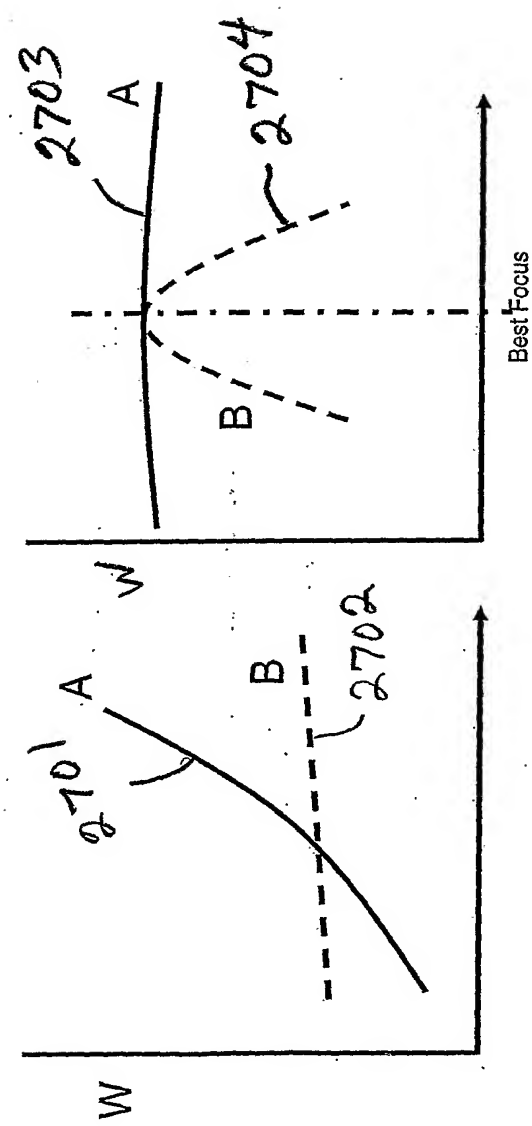
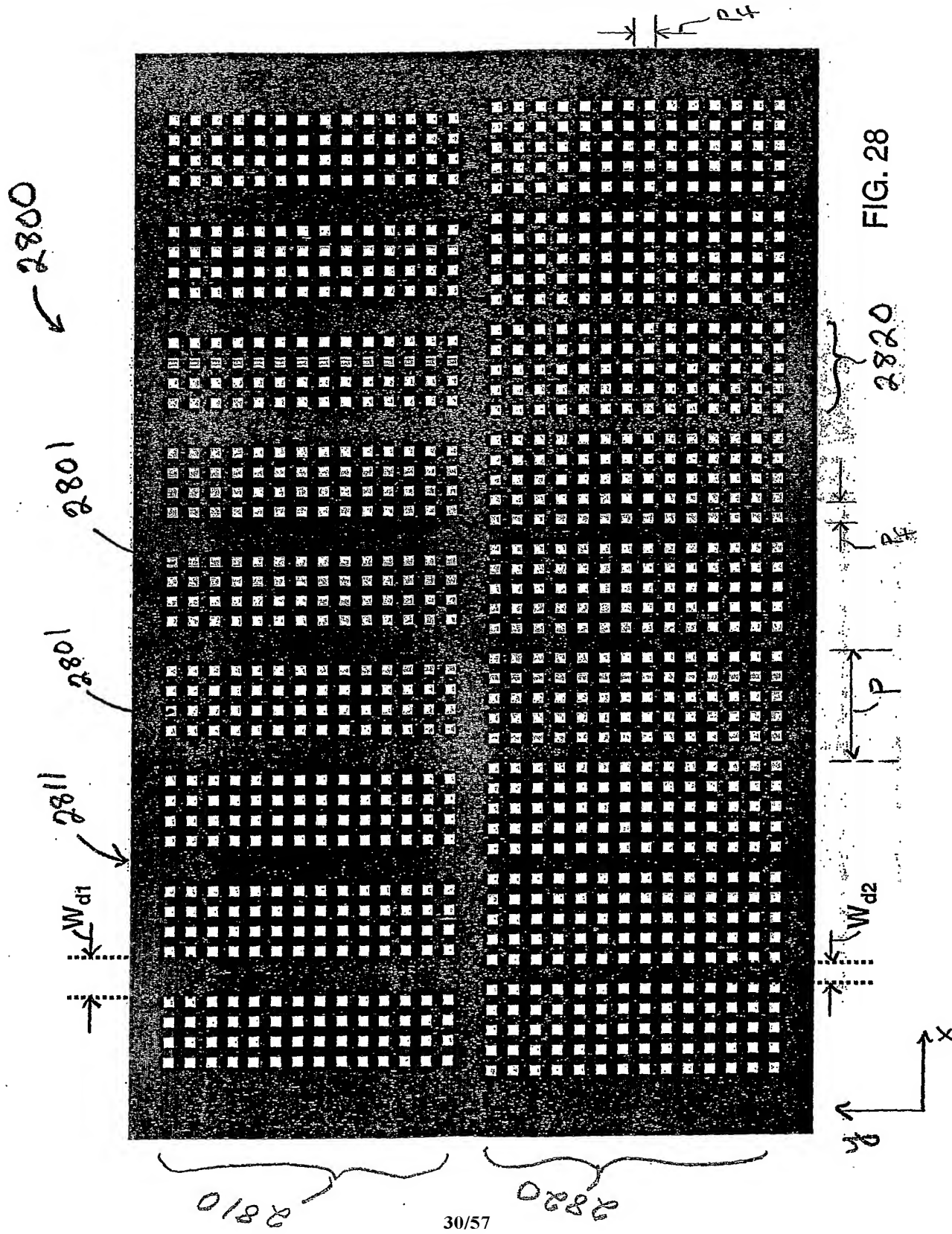


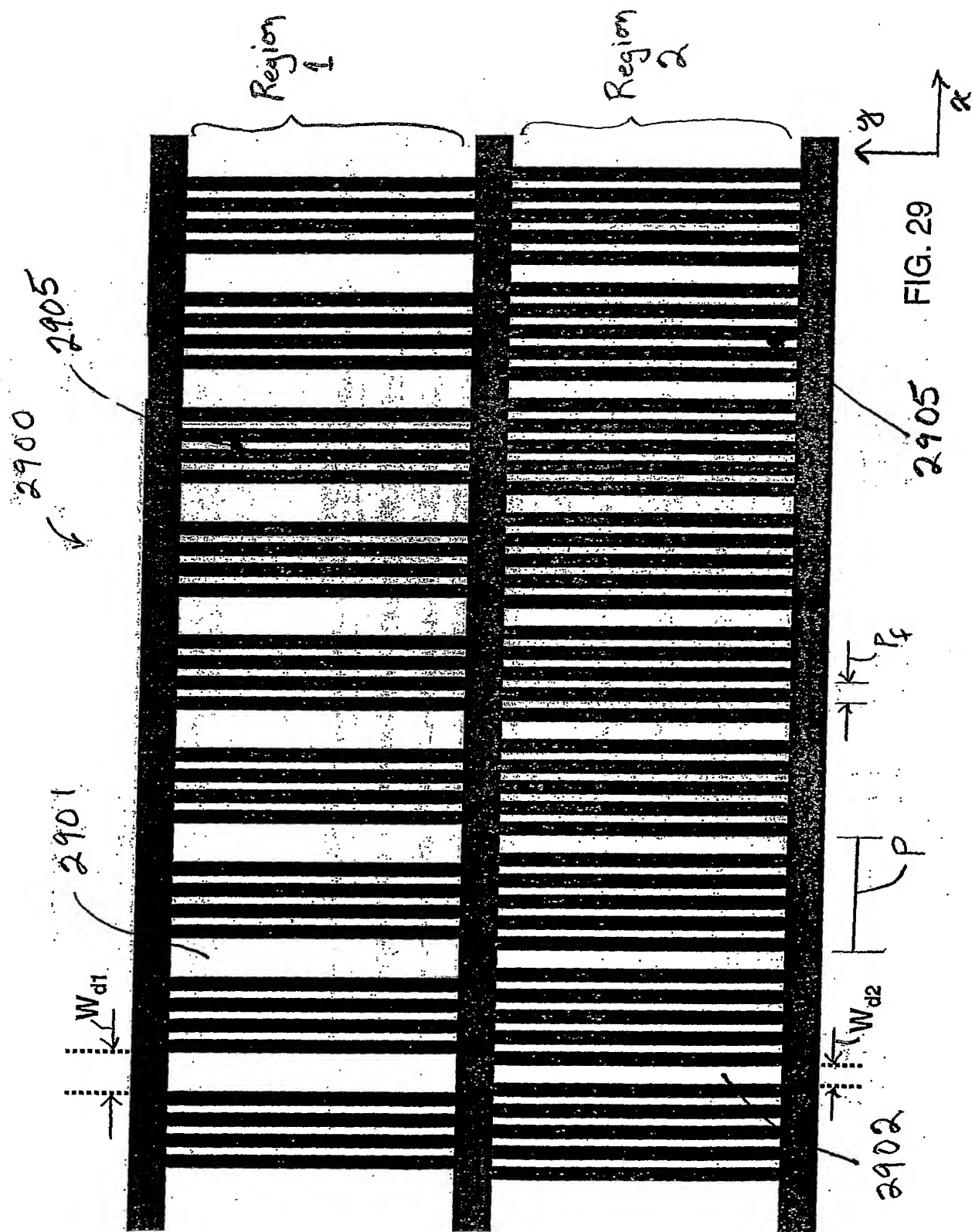
FIG. 27B

FIG. 27A

Focus

Dose





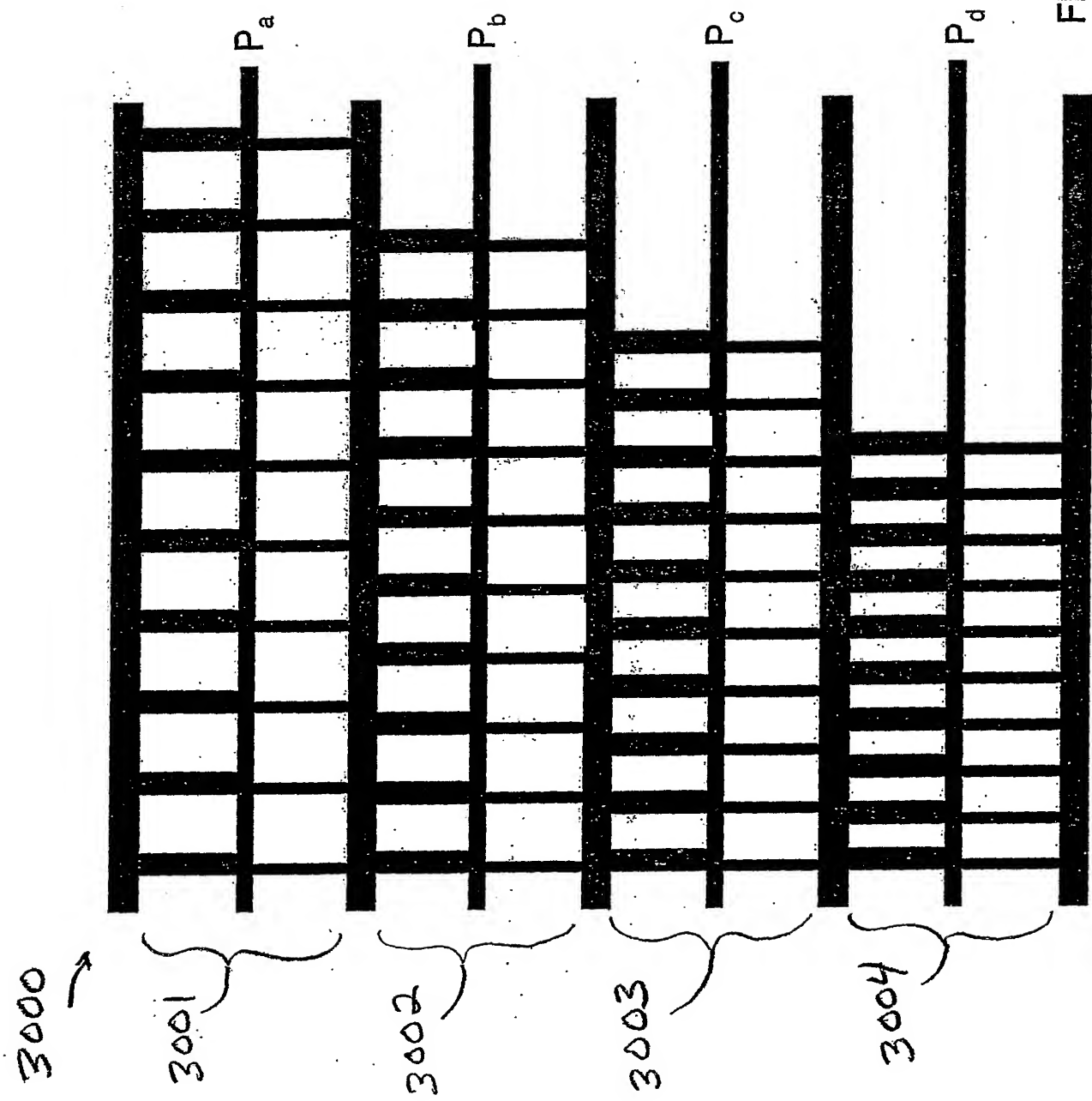
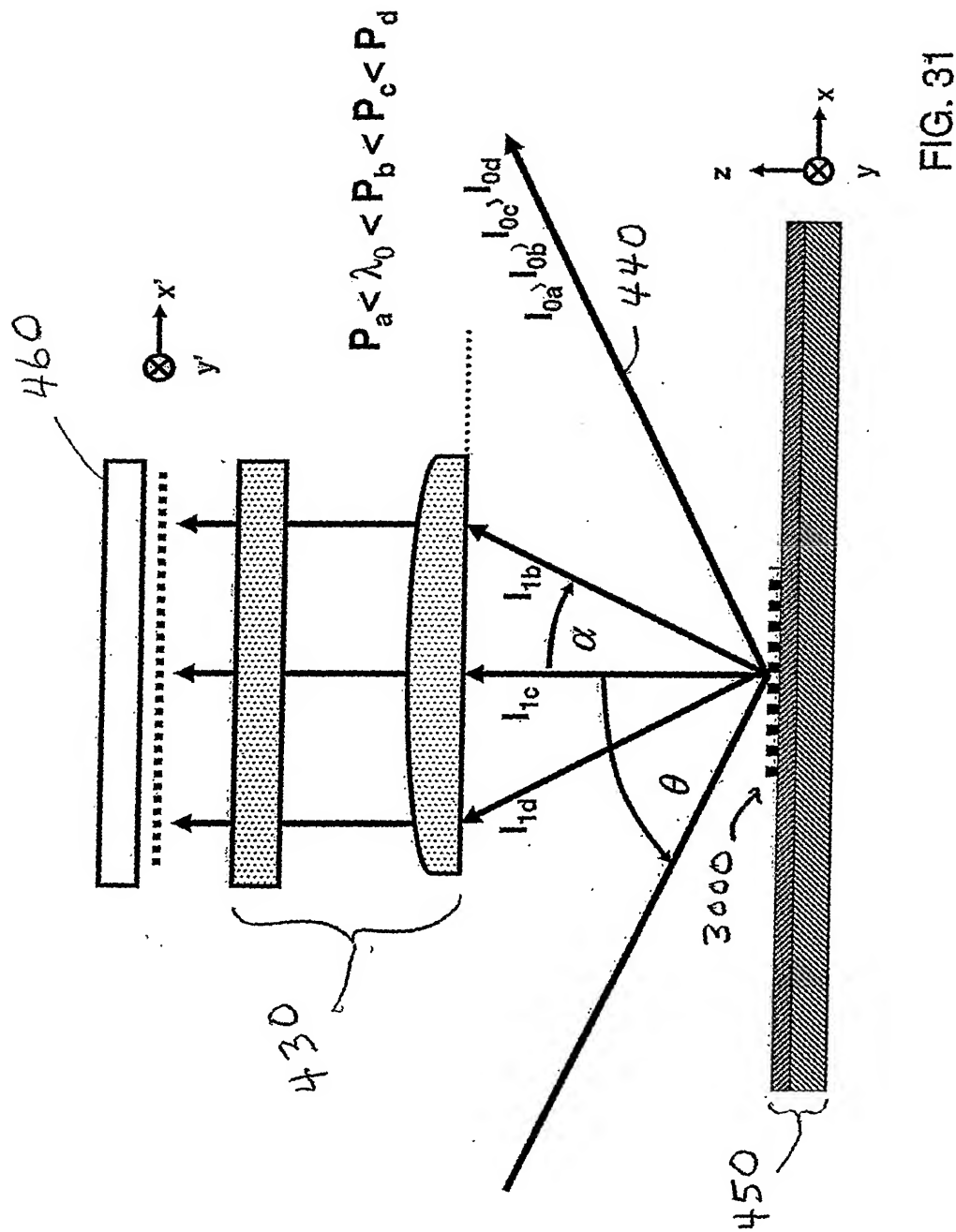


FIG. 30



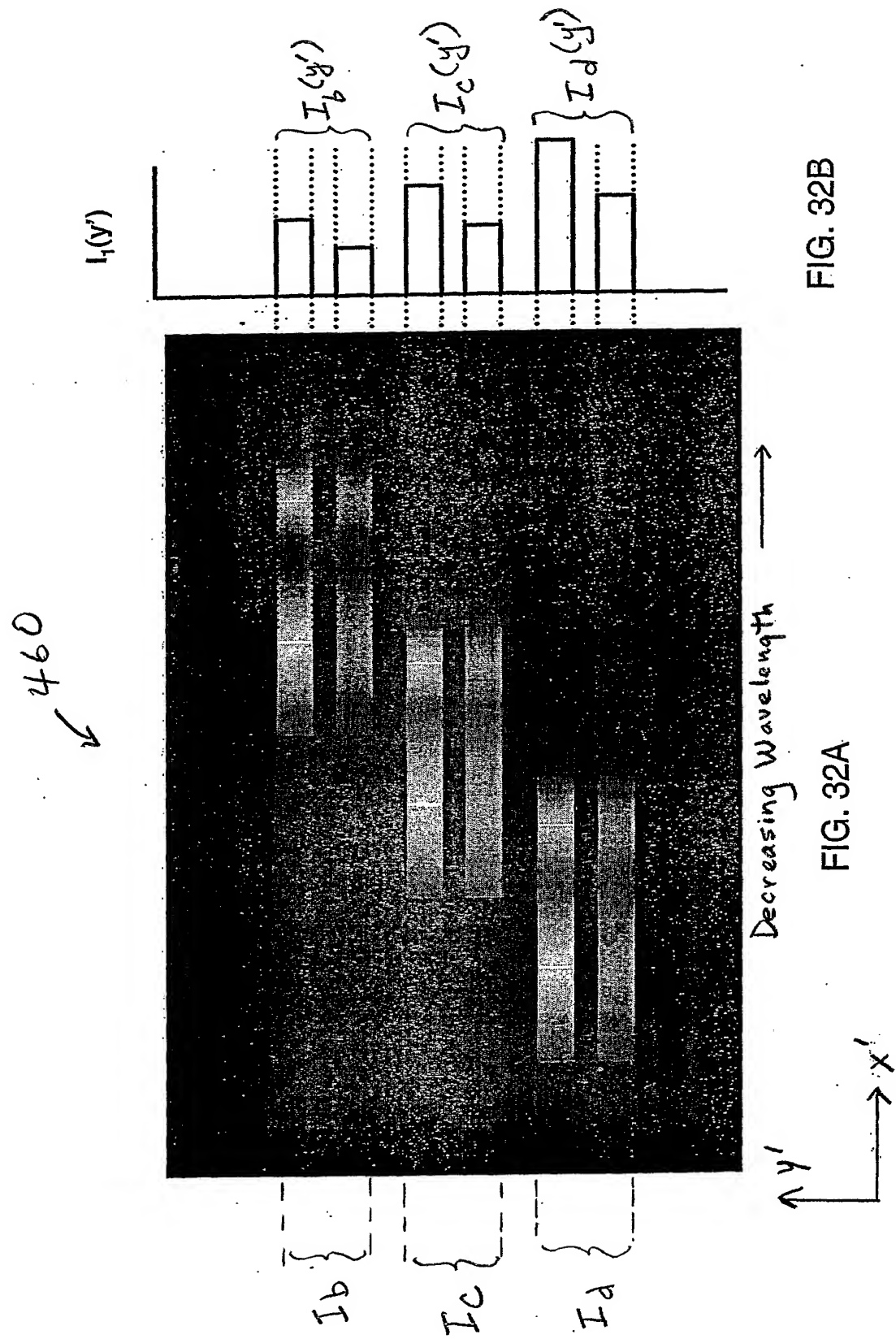


FIG. 32B

FIG. 32A

460

FIG. 33A

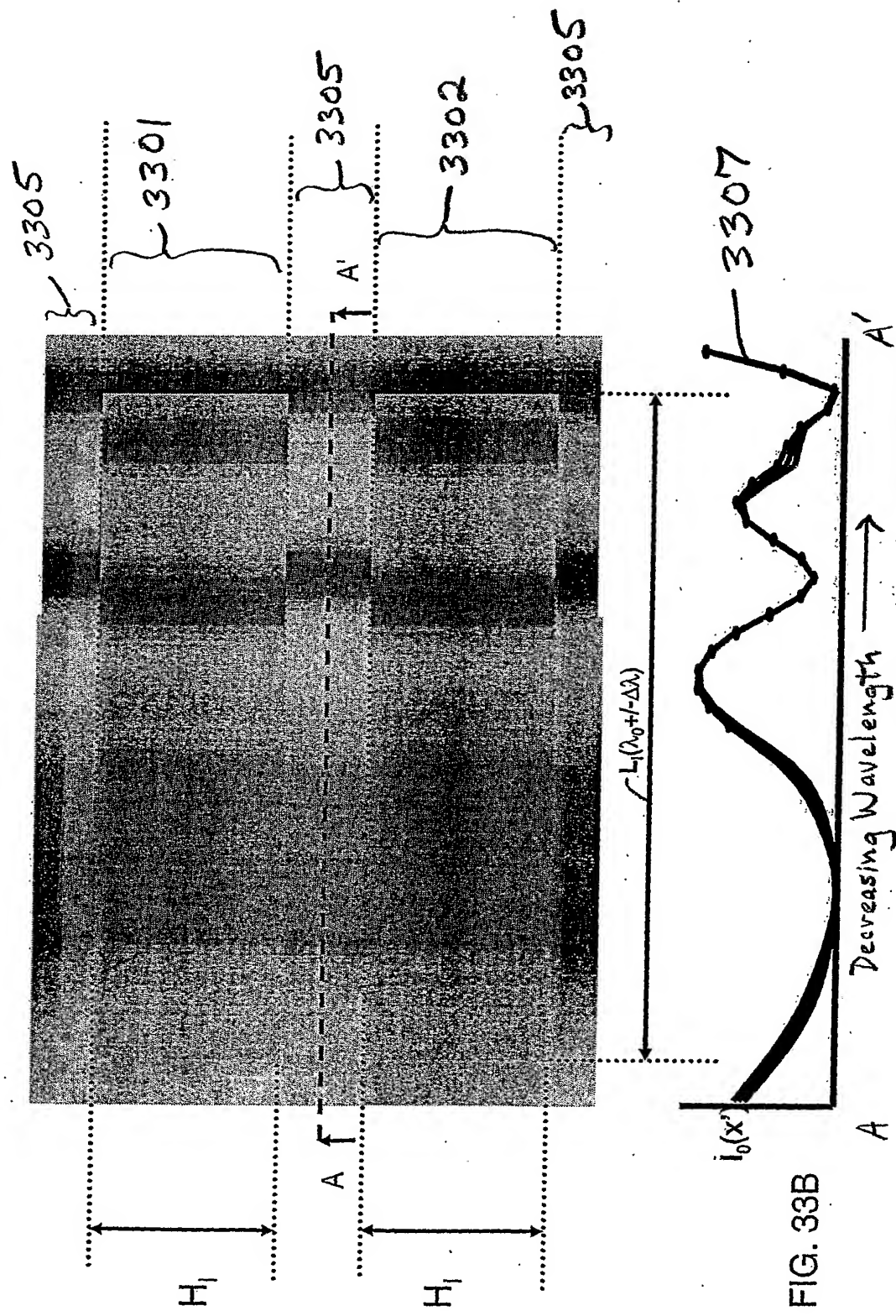
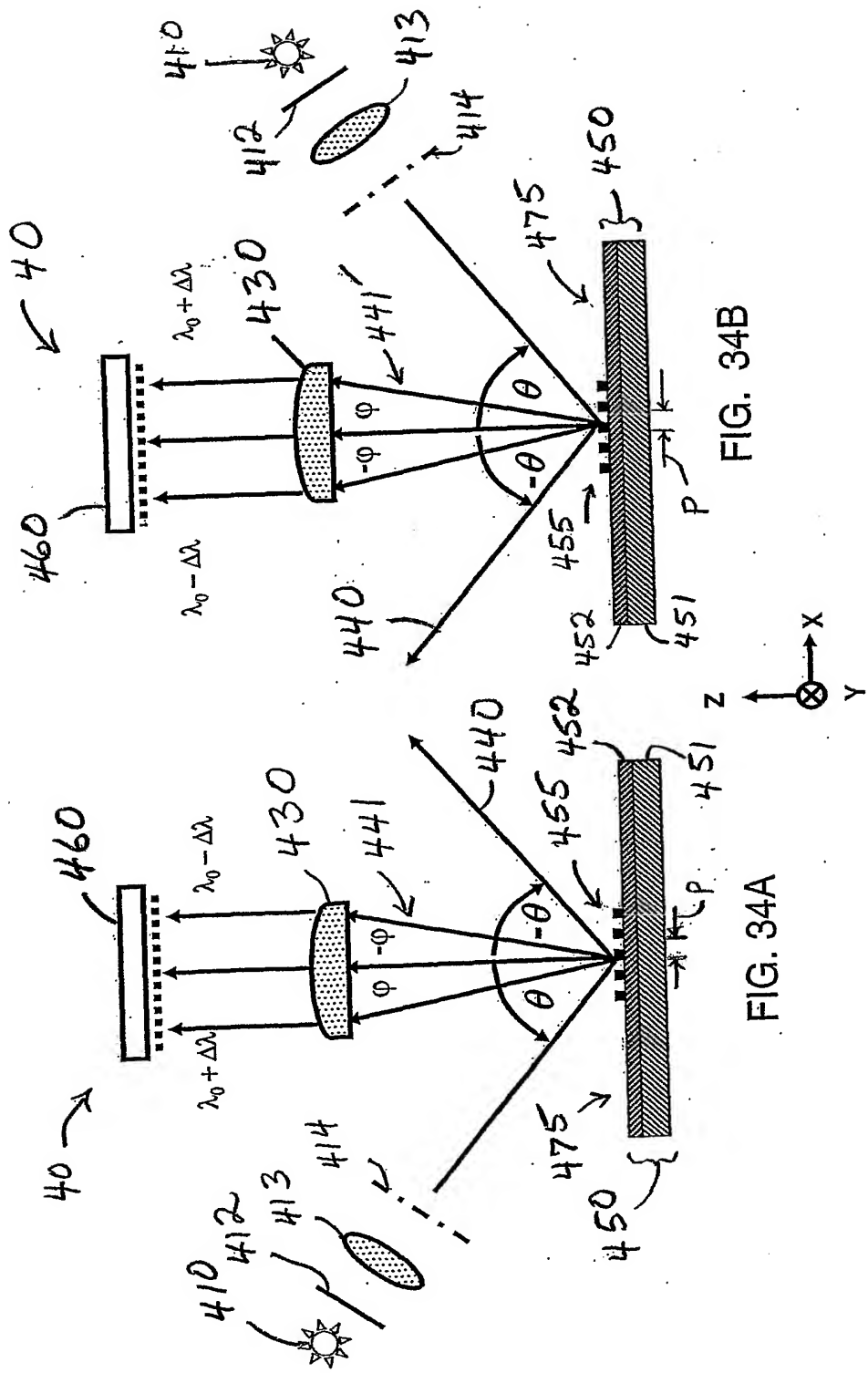
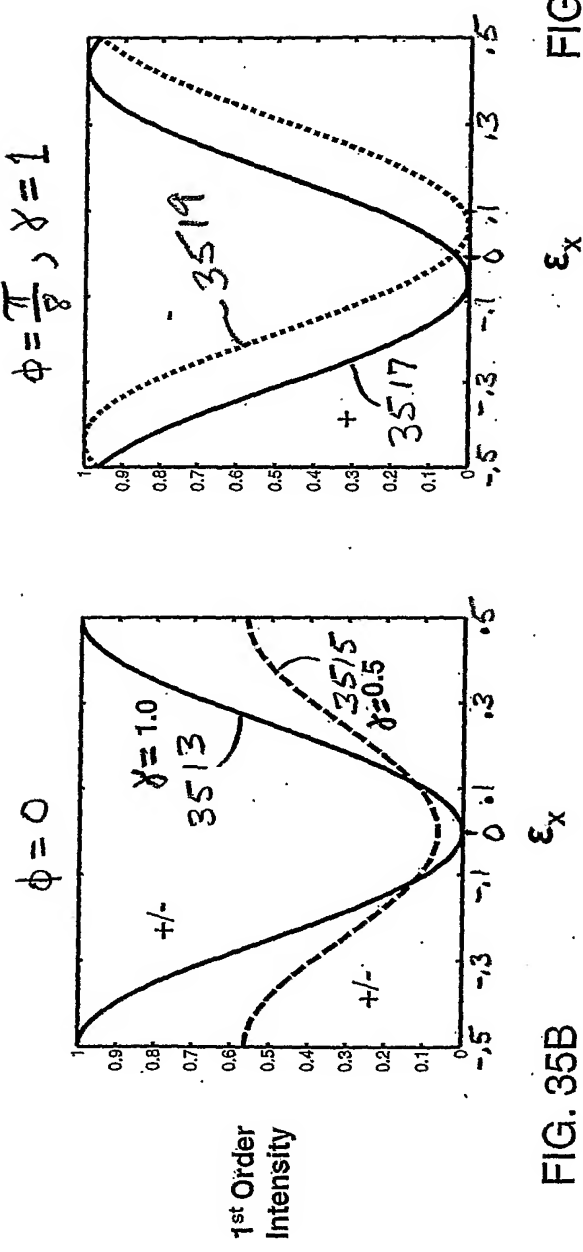
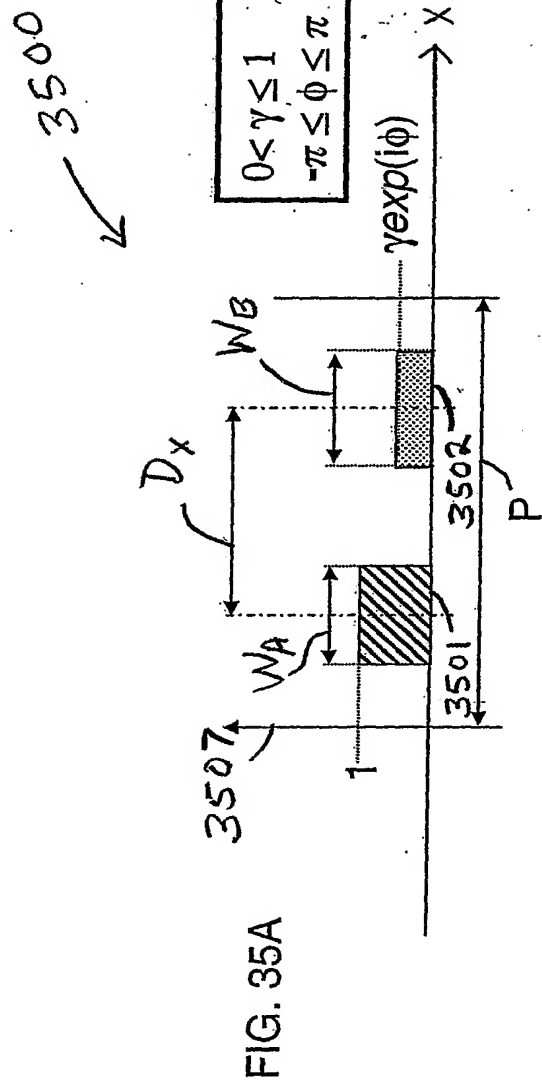


FIG. 33B

 A A'





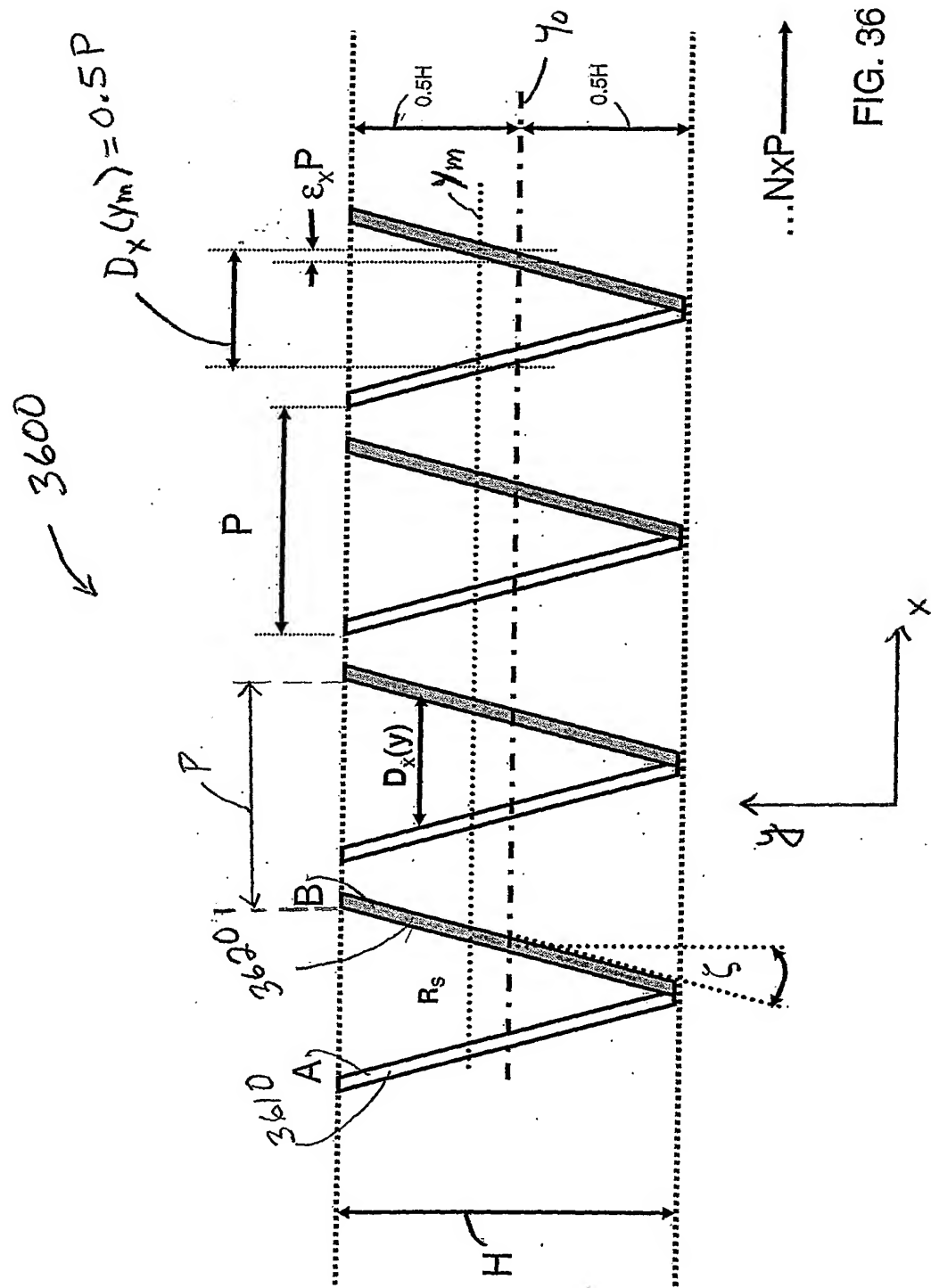
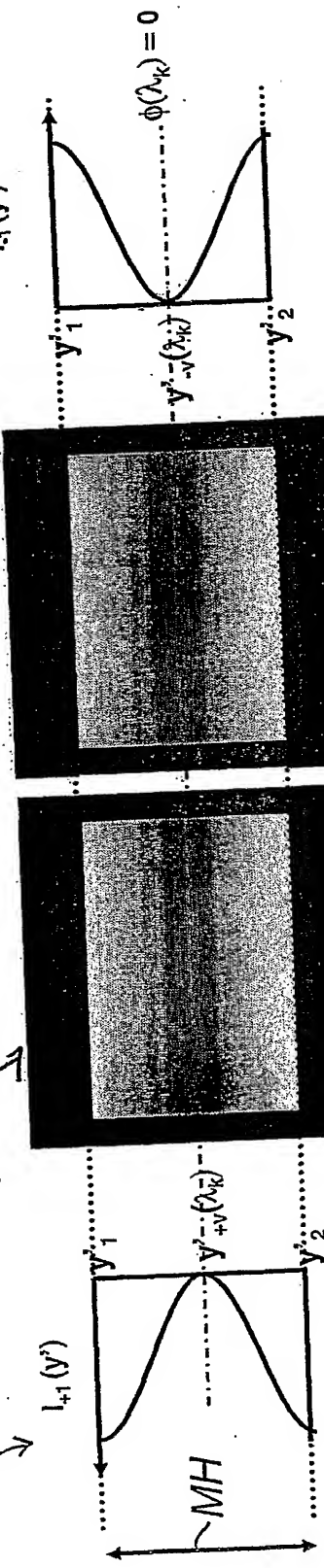


FIG. 36

3702
 FIG. 37A
 3701 $I_{+1}[x'(\lambda_k), y']$
 $I_{+1}(y')$



39/57

3702
 FIG. 37B
 3712

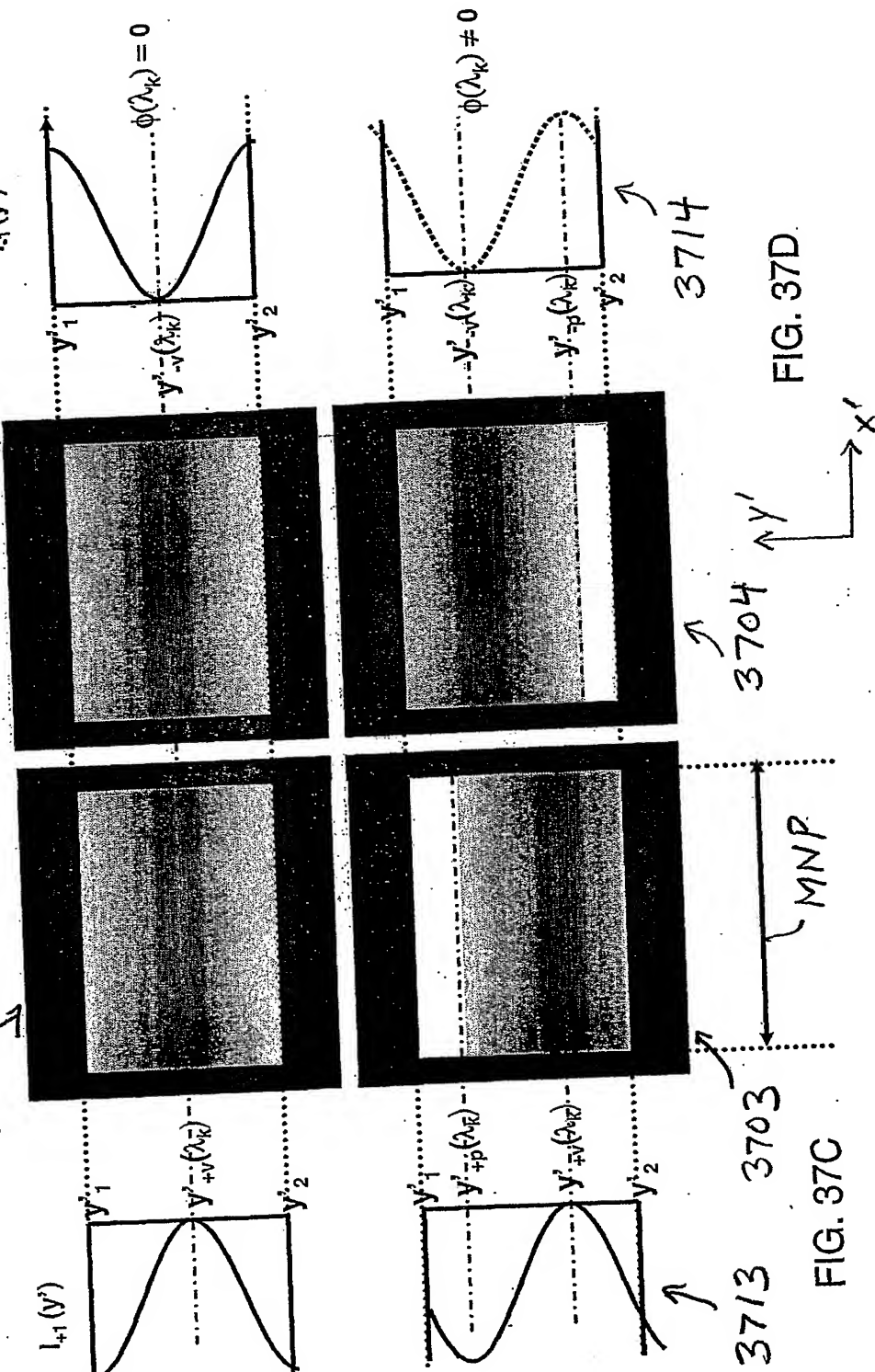


FIG. 37C

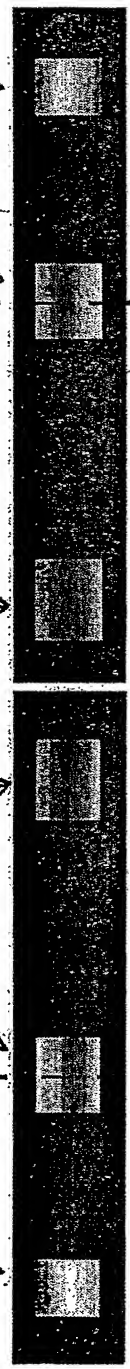
3703
 3704 $\uparrow y'$
 MNP

FIG. 37D.



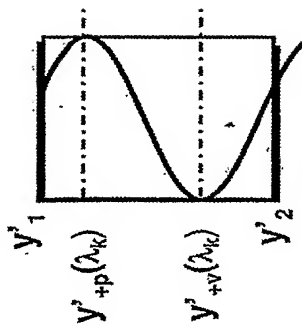
FIG. 38A. $|_{+1}(x', y')$

3803 FIG. 38C L₁(x', y')
3804 3805 3806



$$\lambda_0 + \Delta\lambda$$

144



$$\lambda_0 - \Delta\lambda$$

$$\lambda_0 + \Delta\lambda$$

114

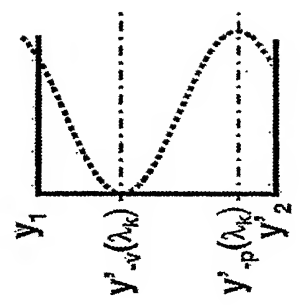
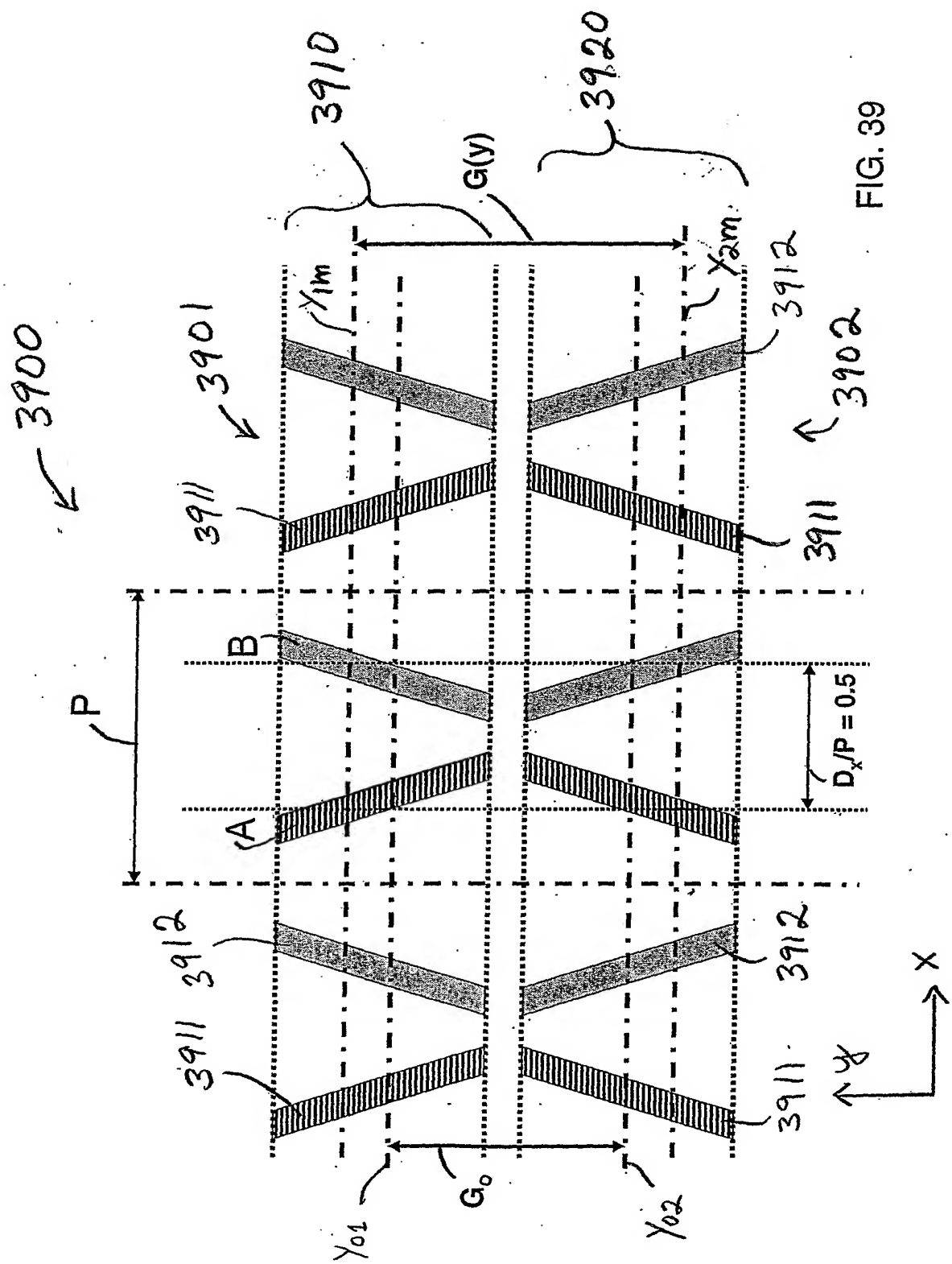


FIG. 38B

38D
FIG.
II



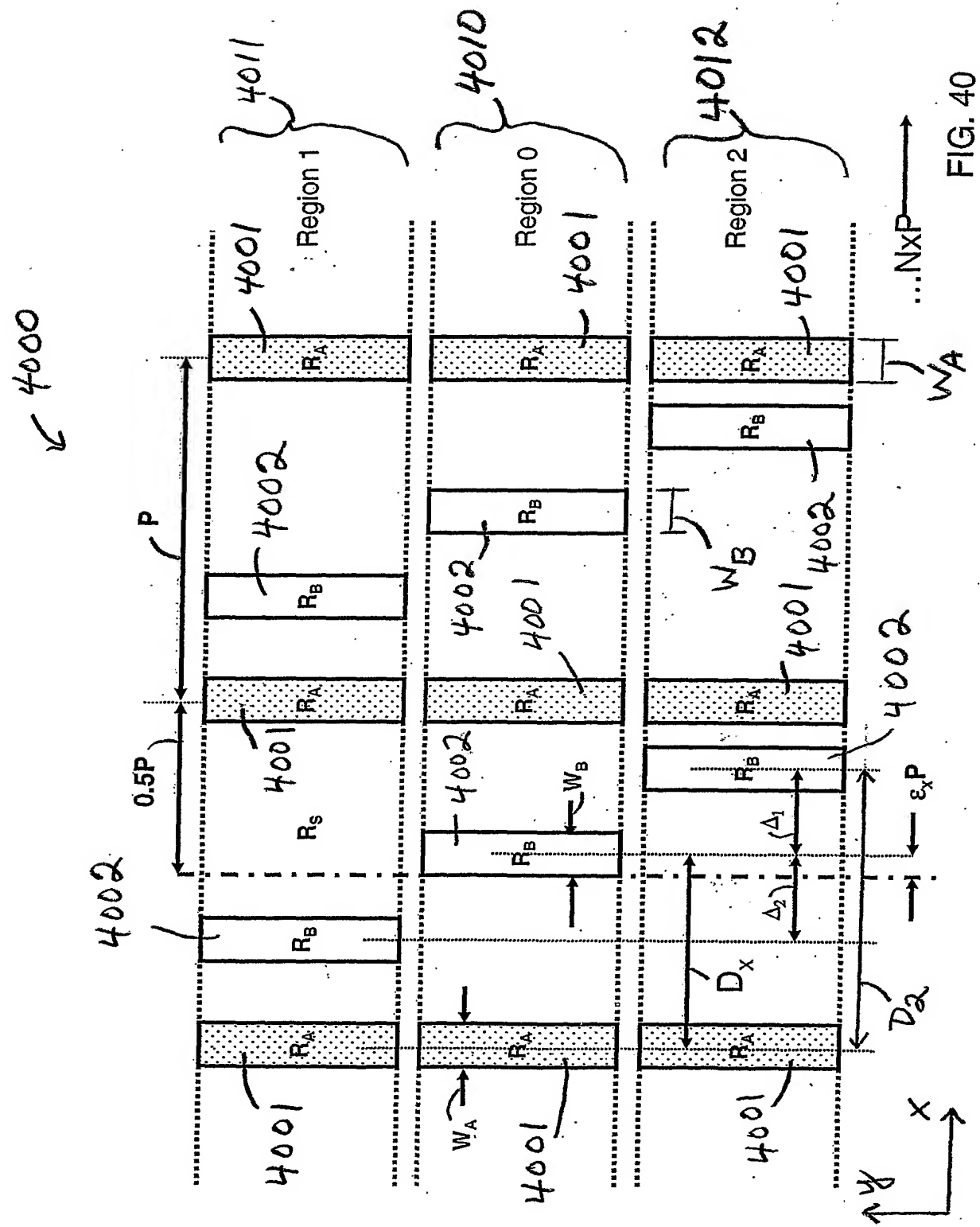
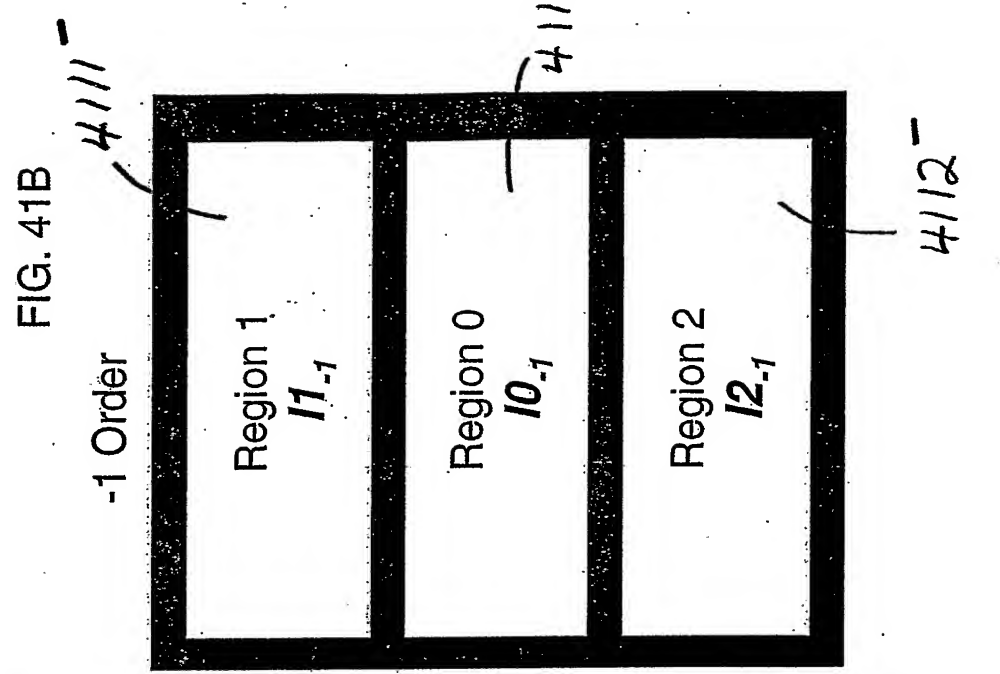
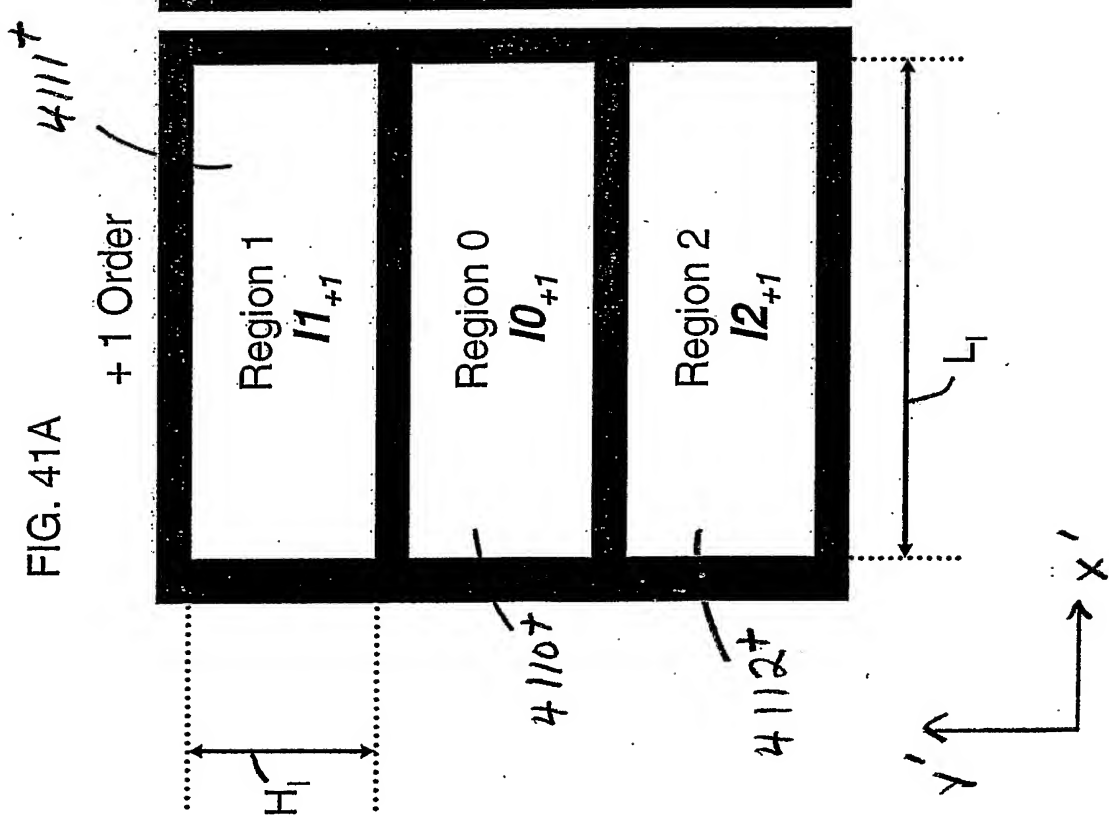


FIG. 40



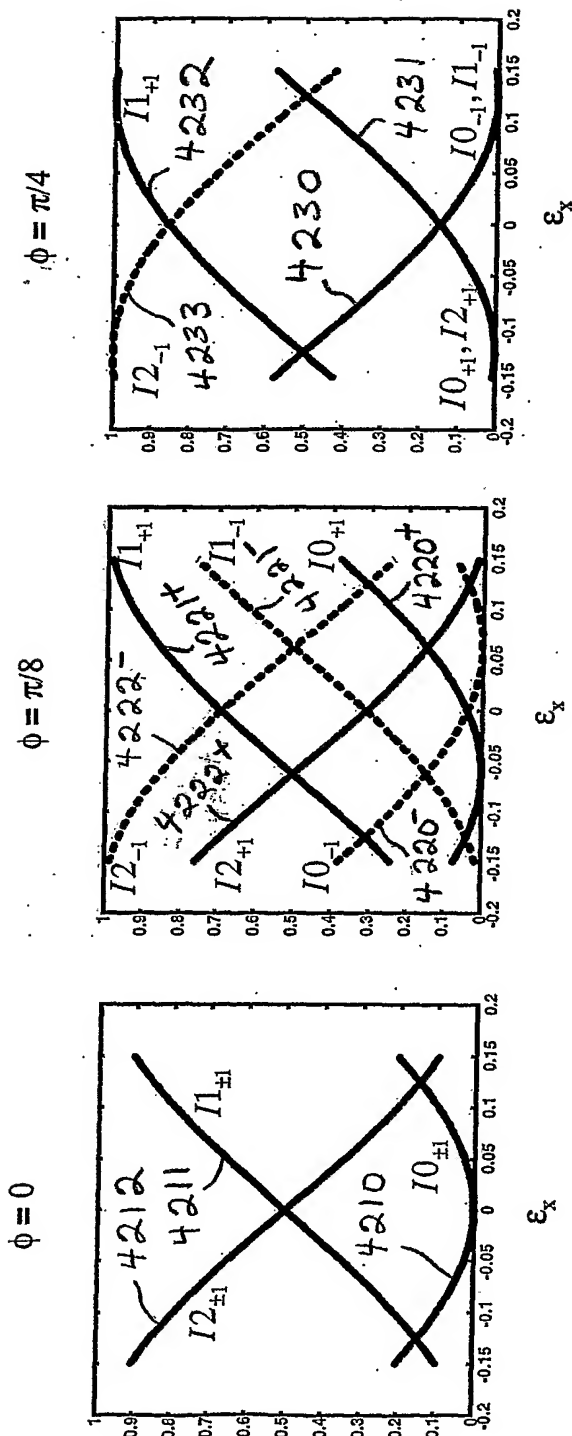


FIG. 42C

FIG. 42B

FIG. 42A

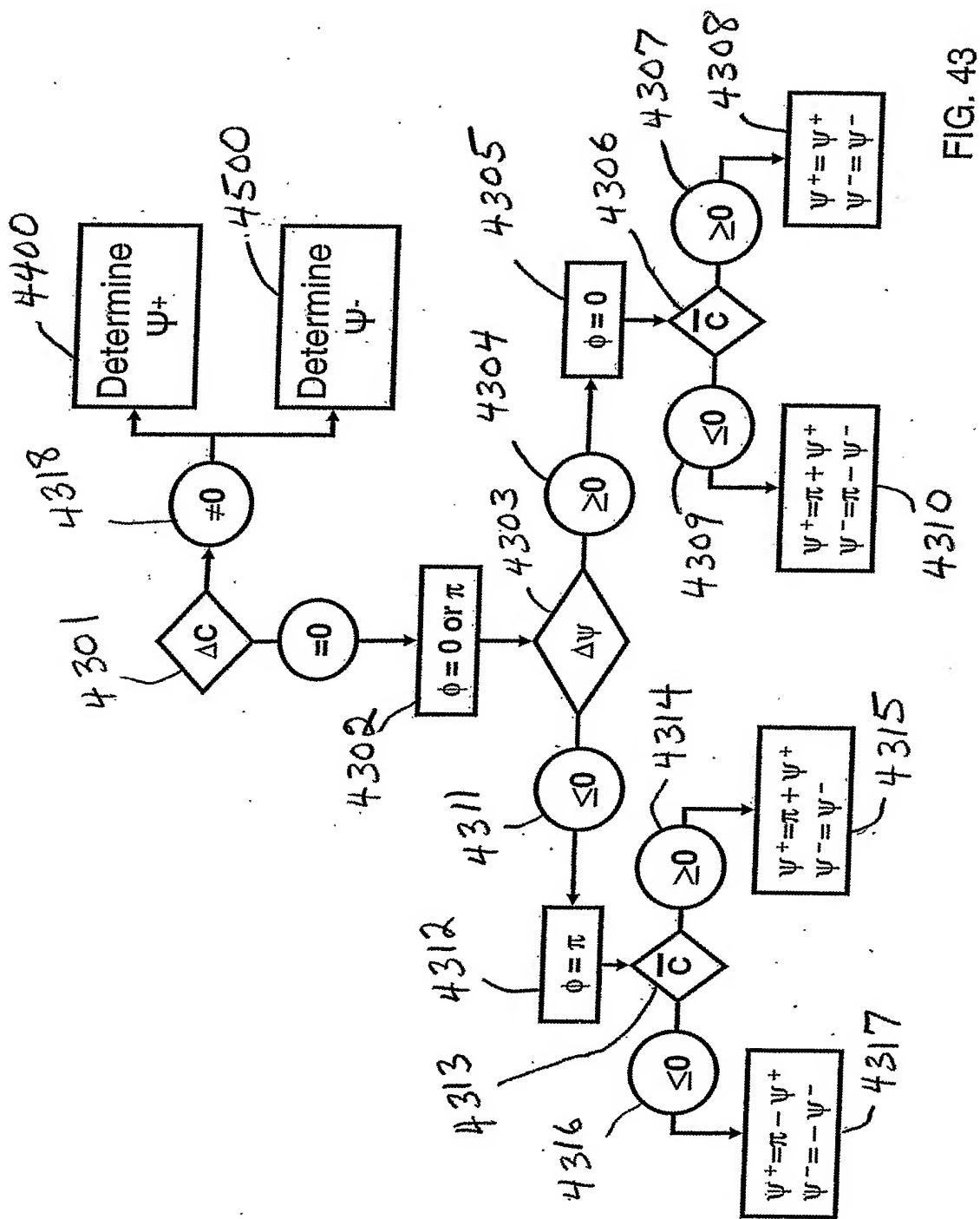


FIG. 43

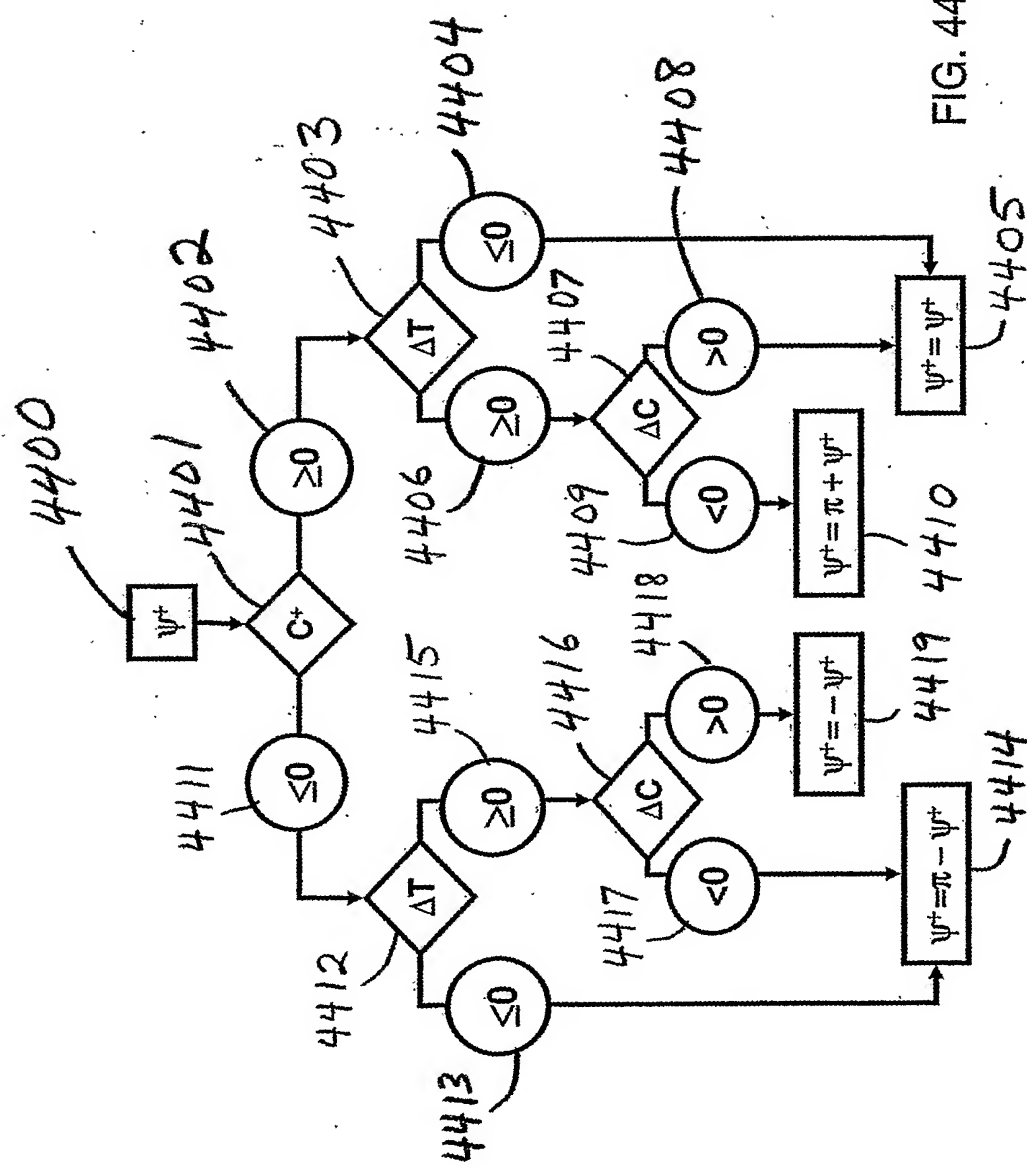
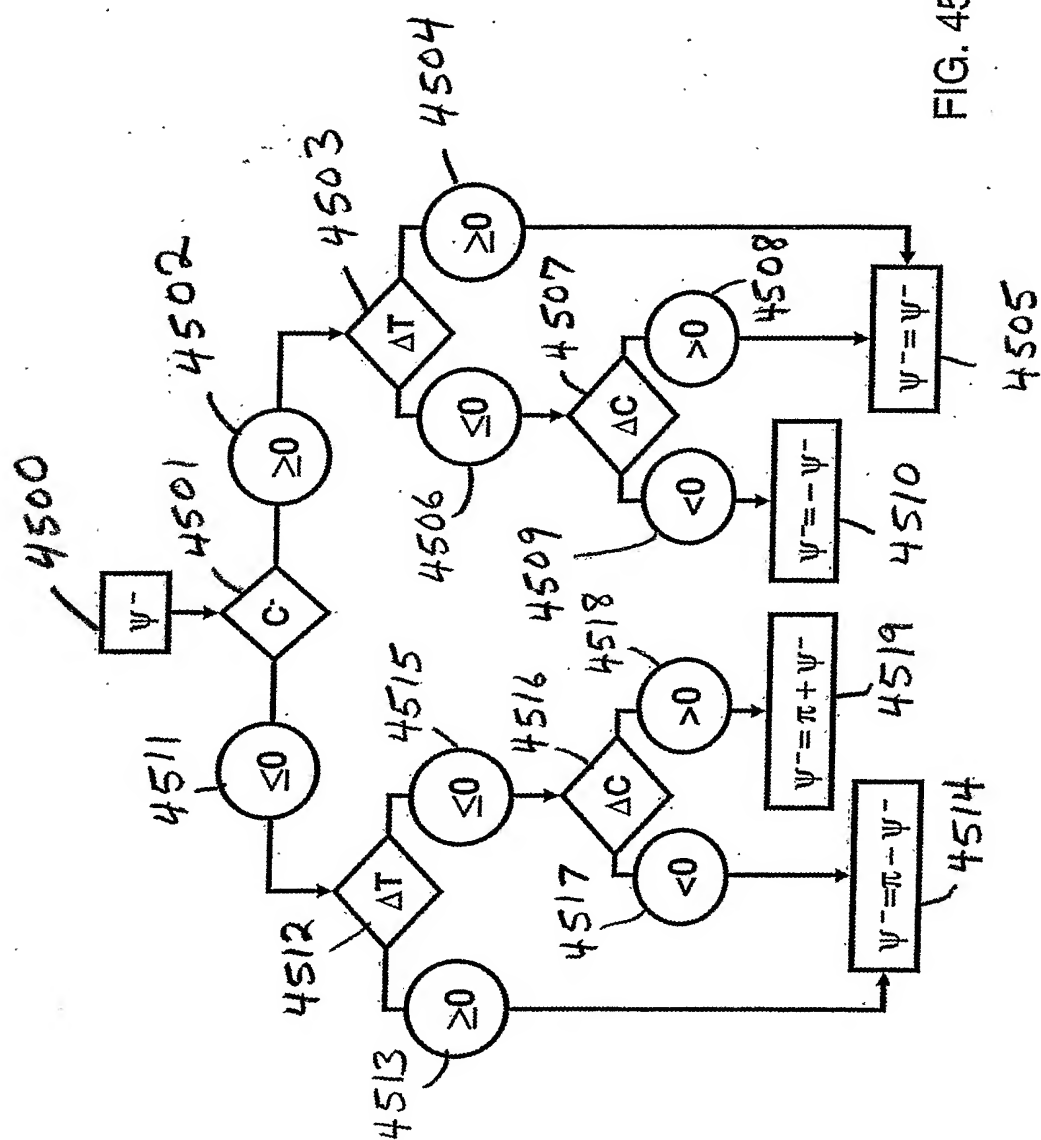


FIG. 44



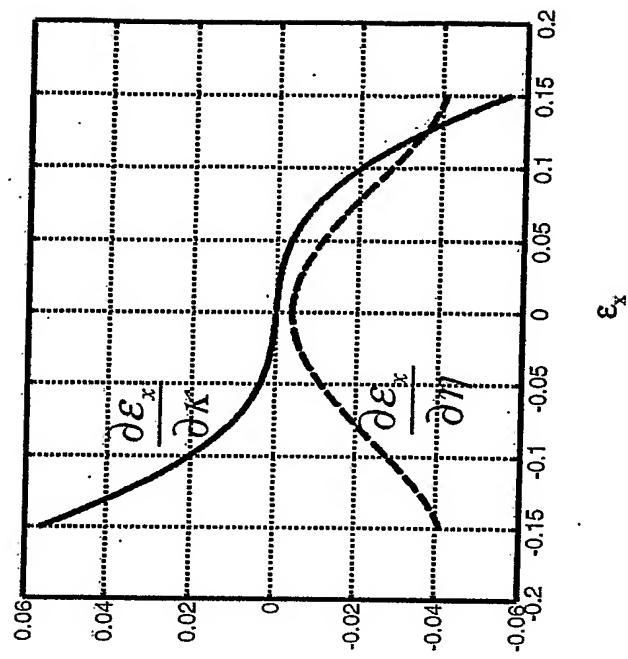


FIG. 46B

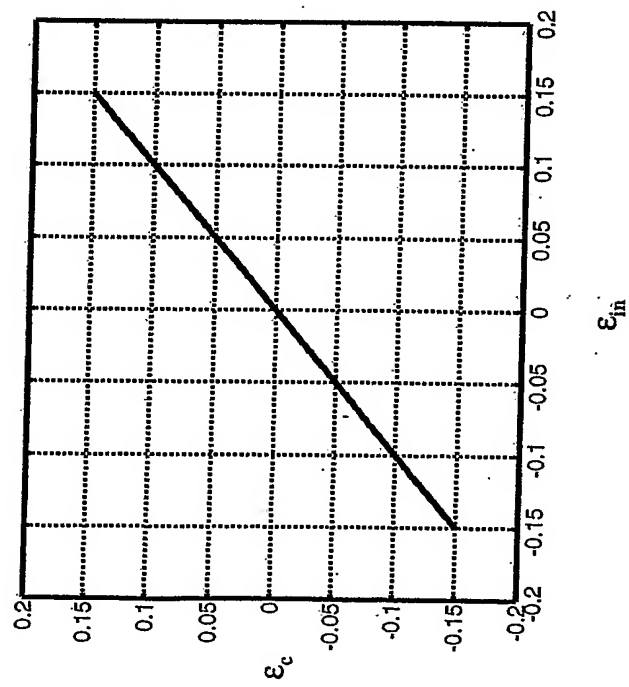


FIG. 46A

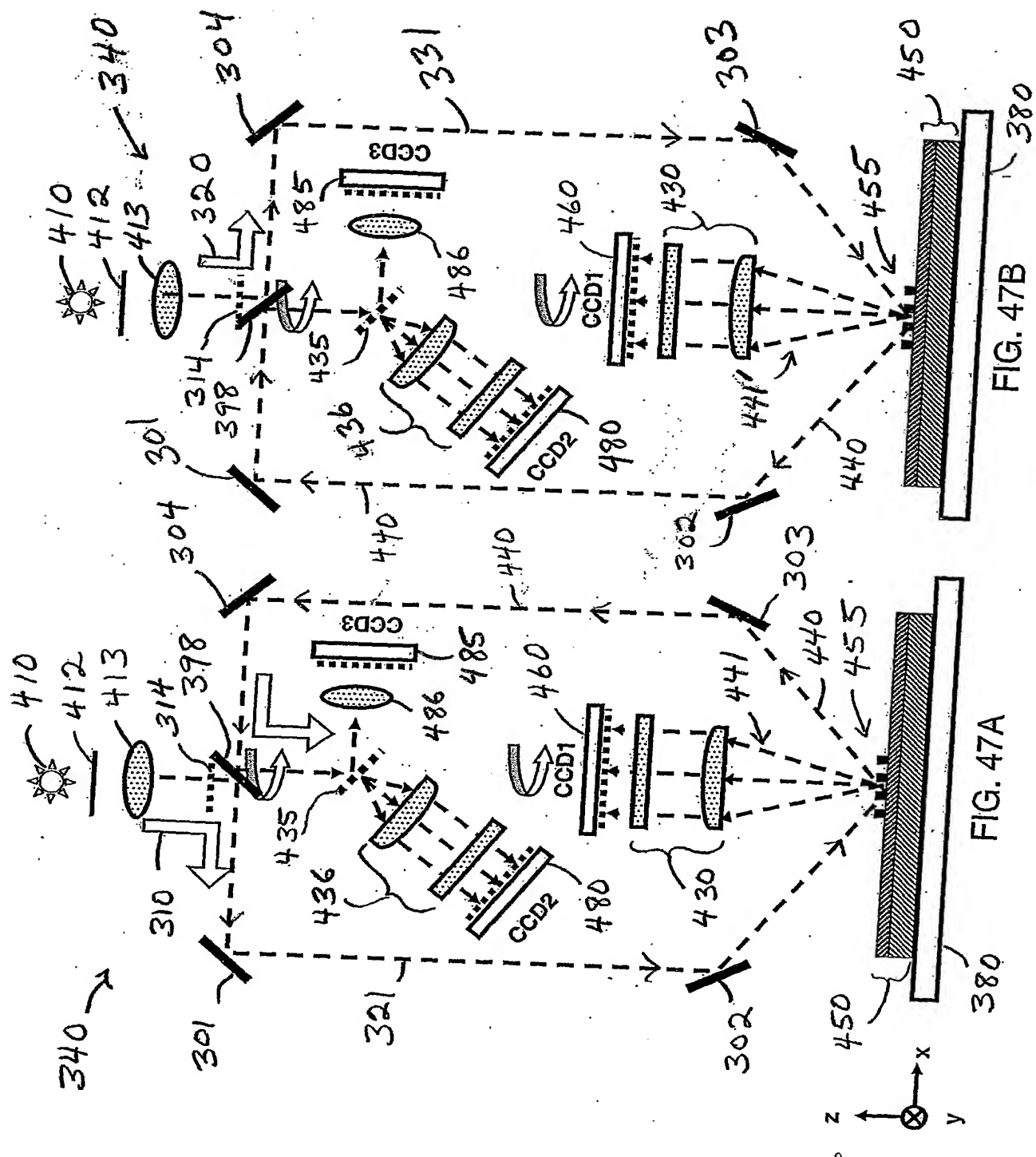
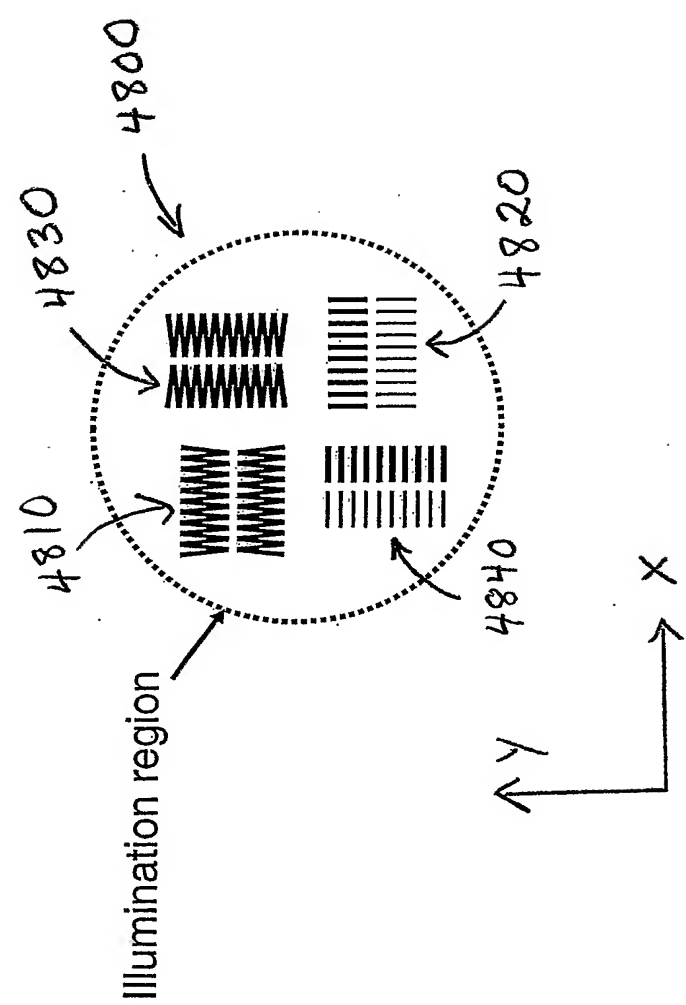
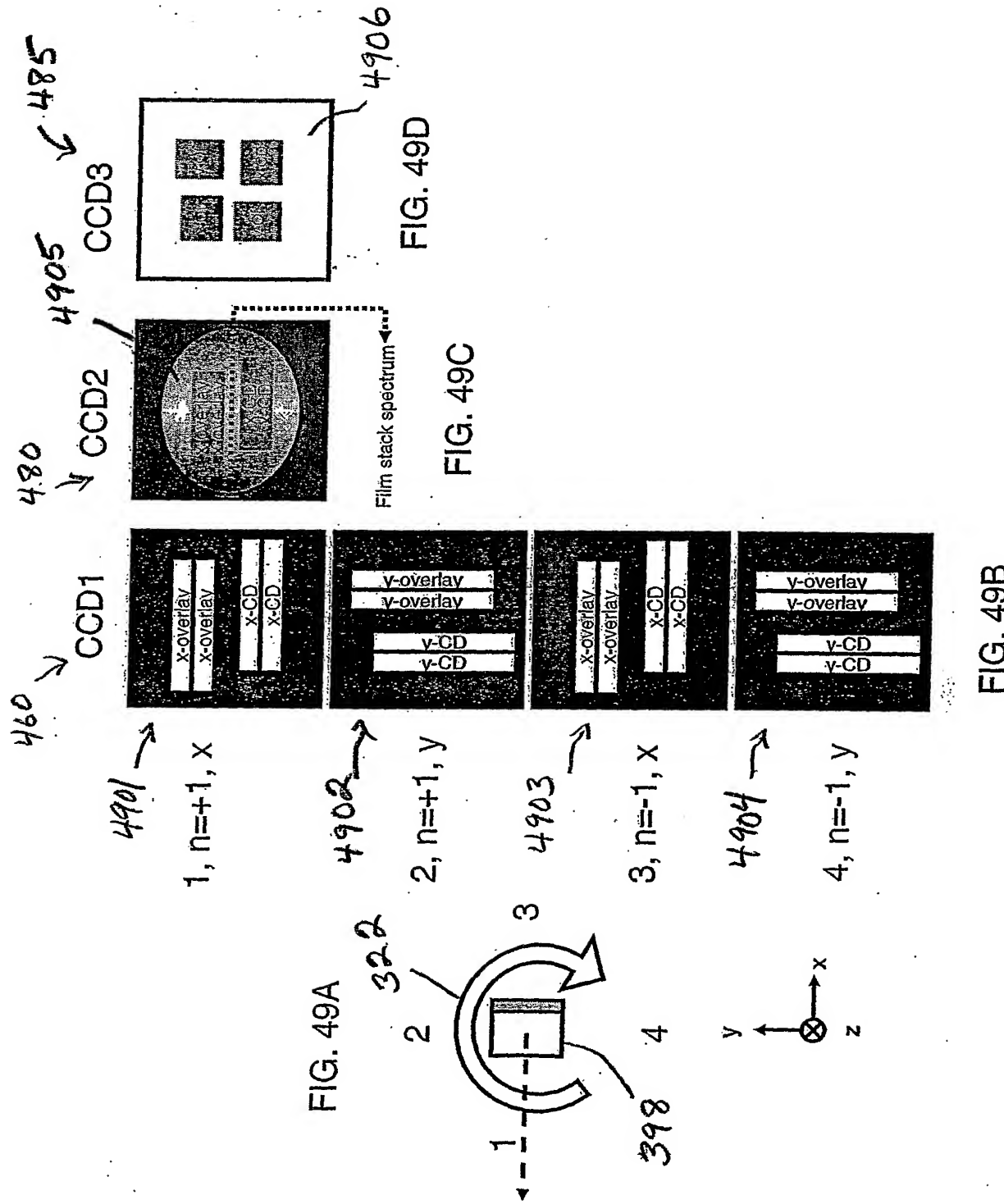
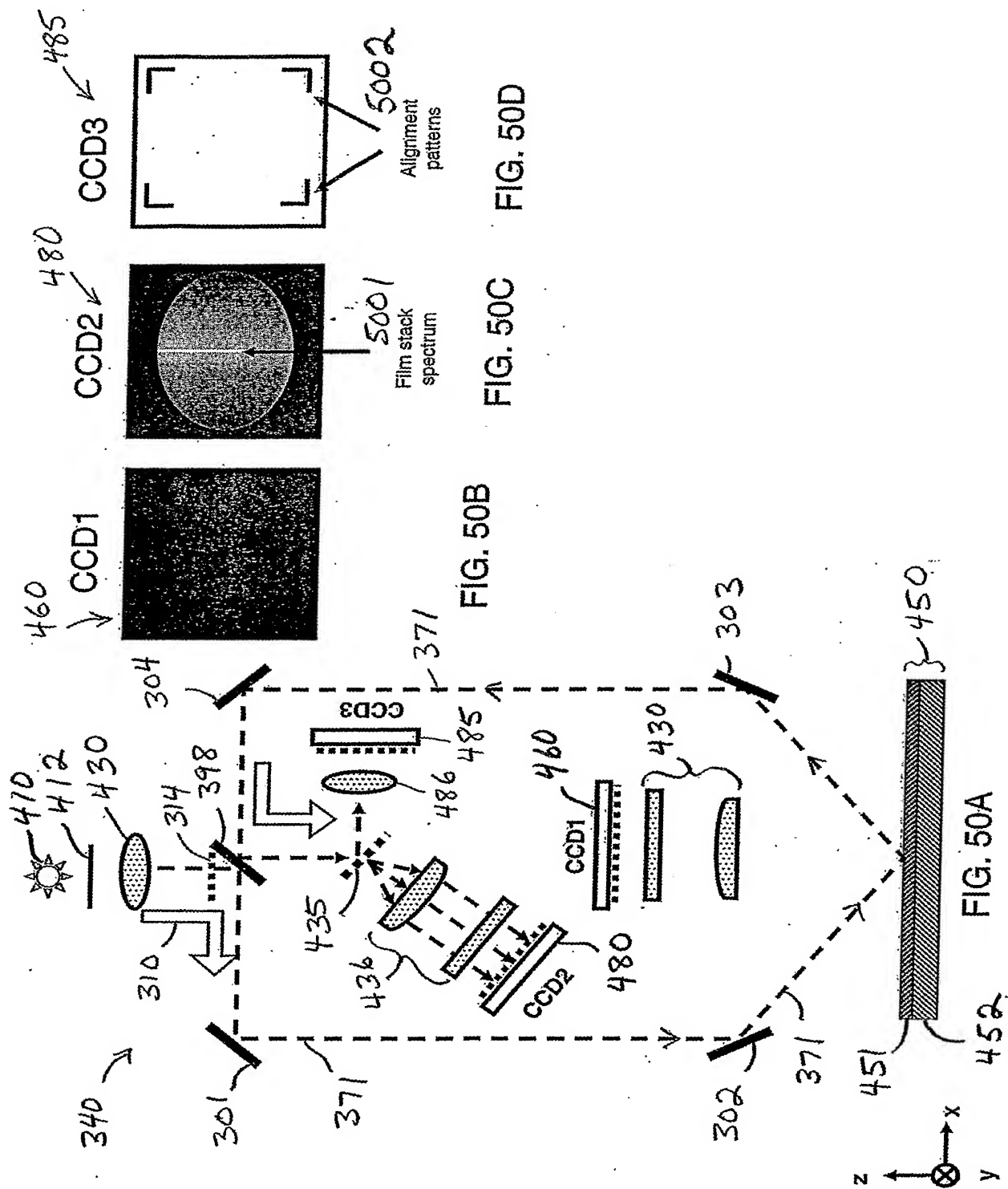
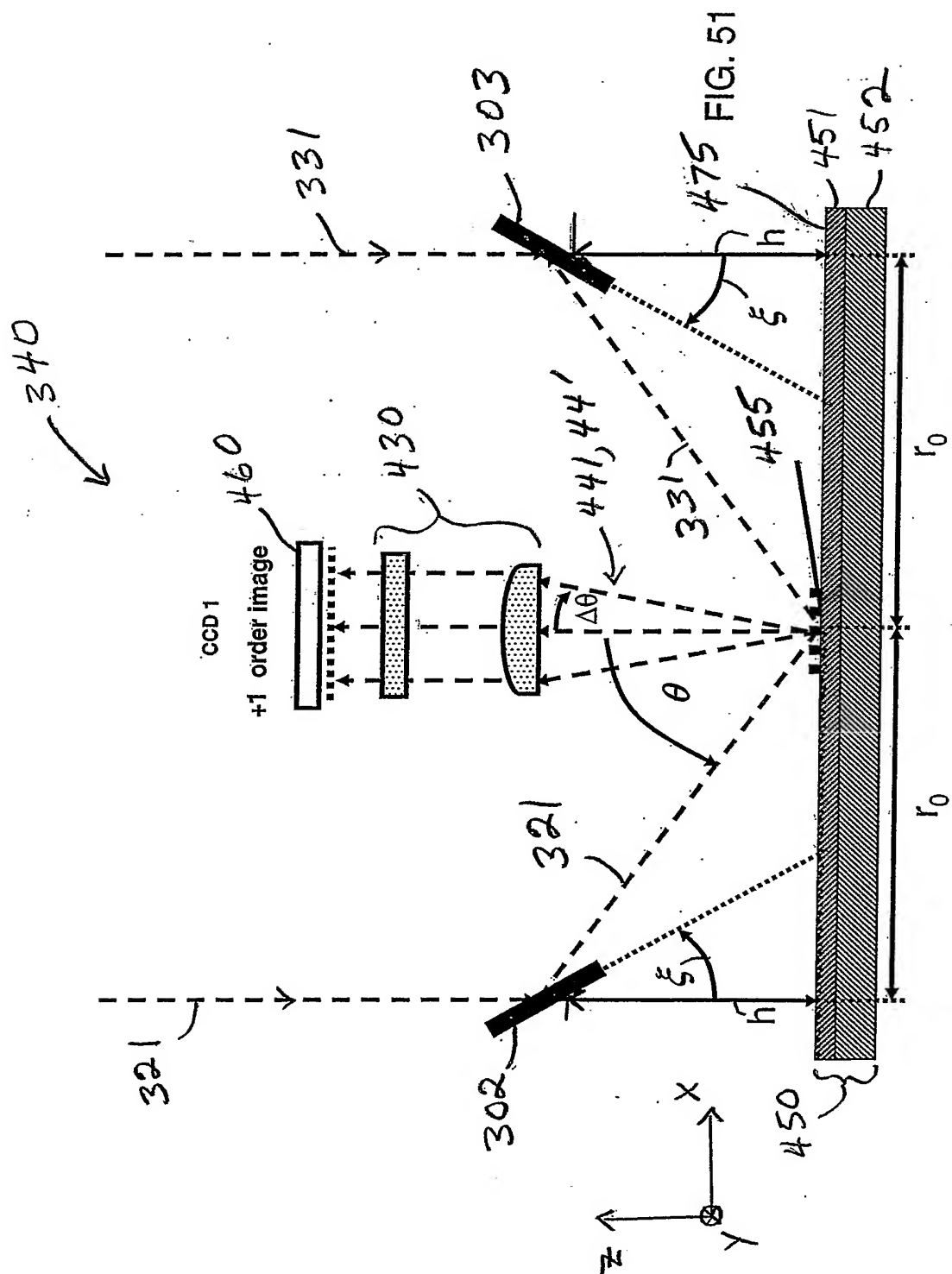


FIG. 48









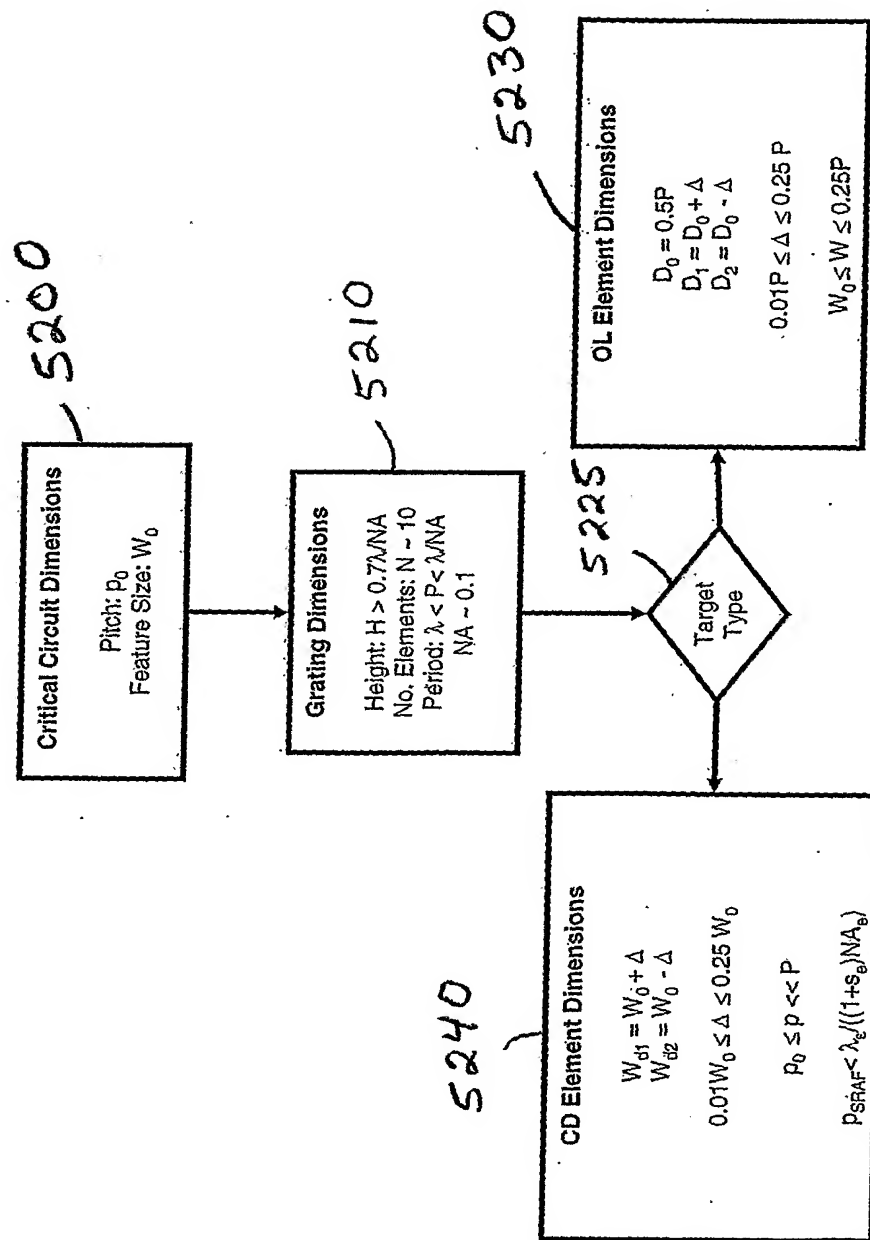


FIG. 52

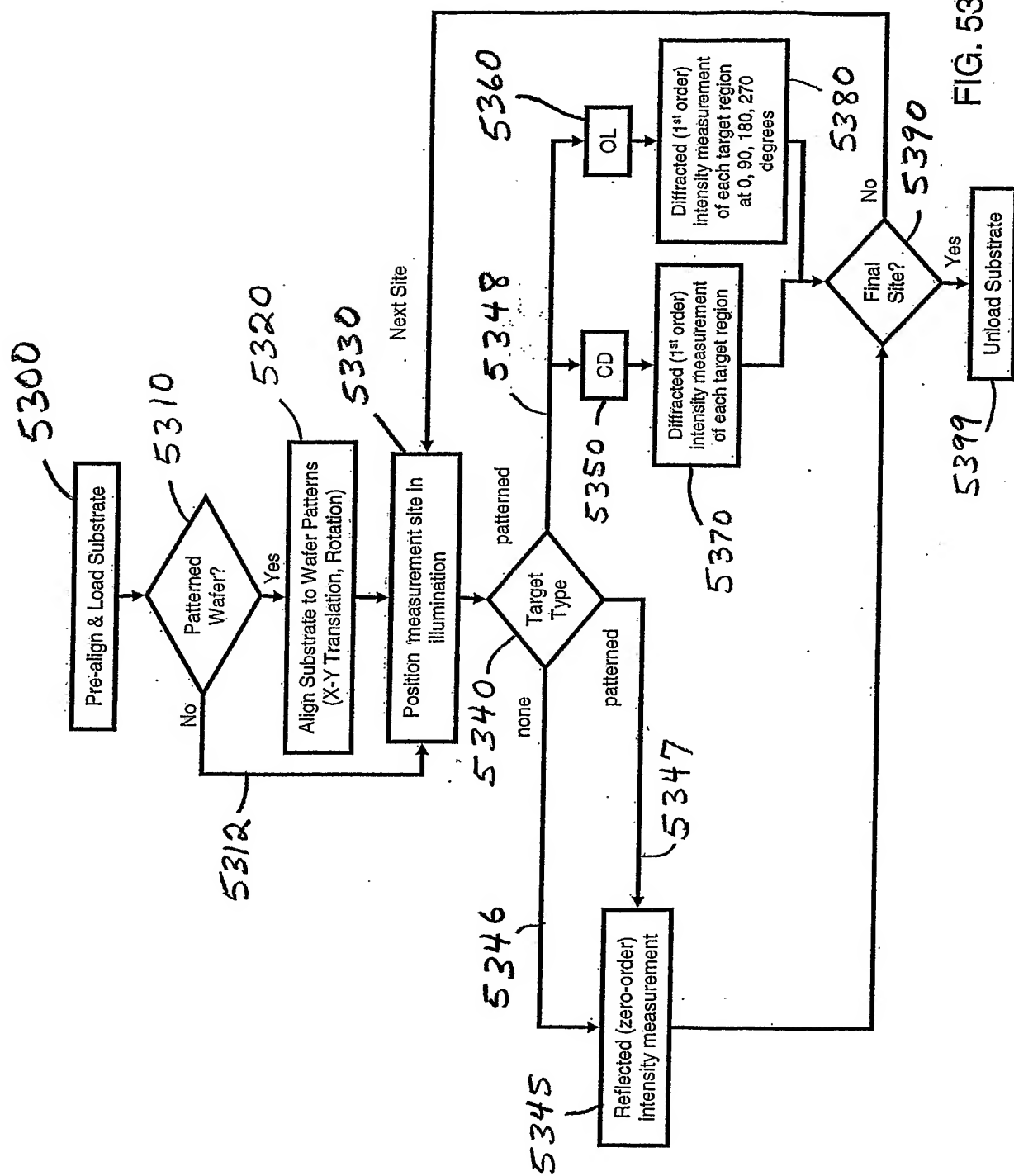
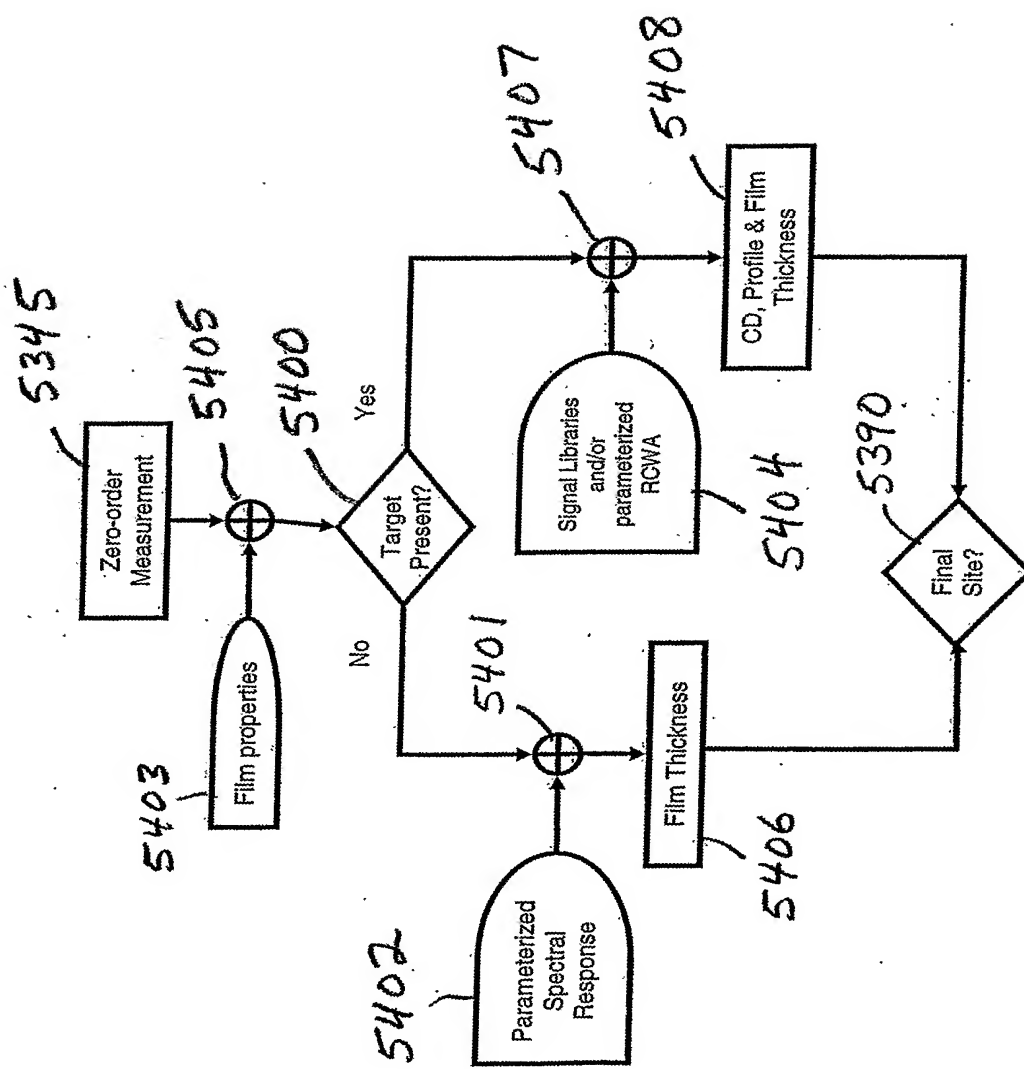


FIG. 54



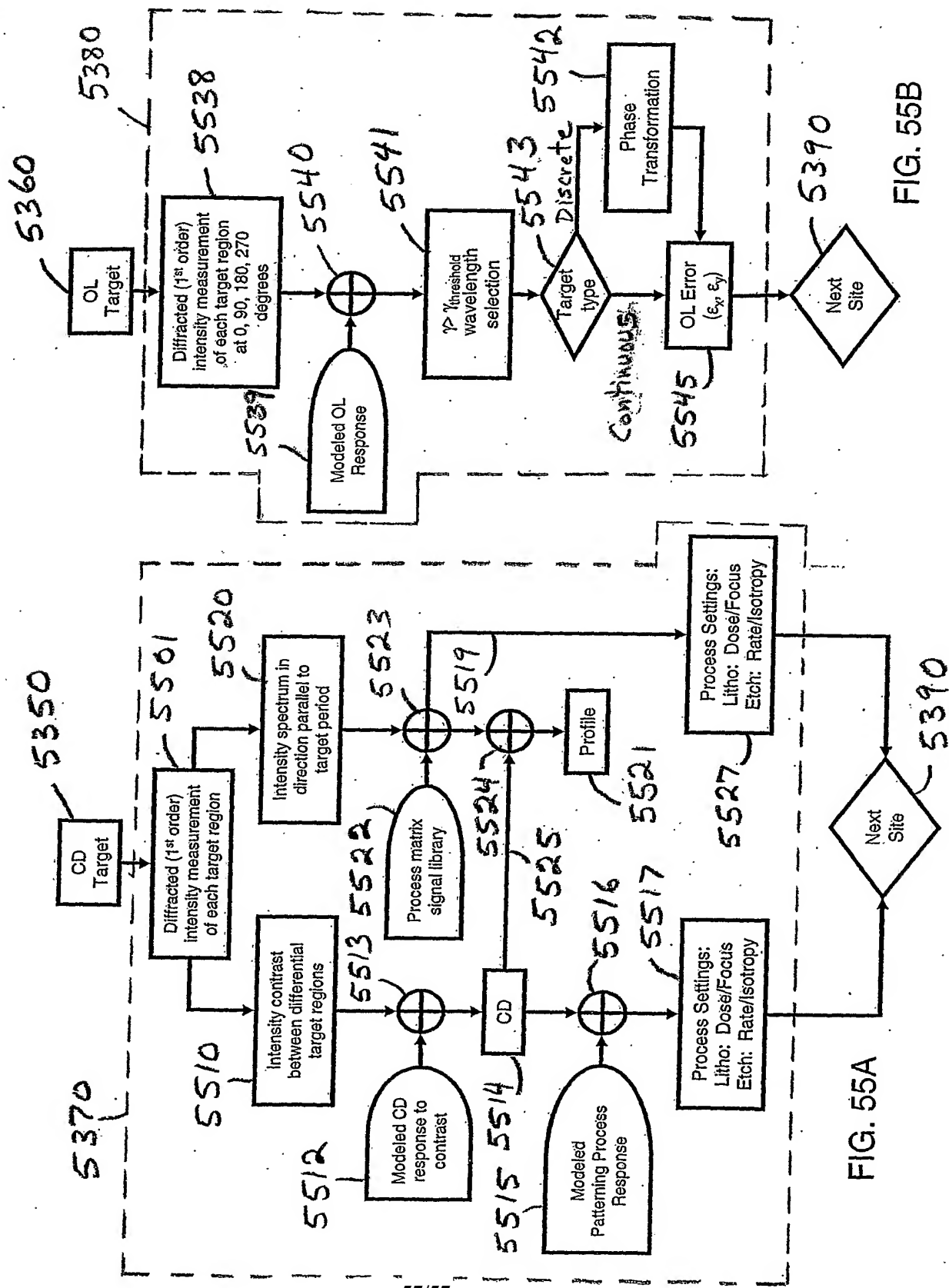


FIG. 55A

FIG. 55B